



T.C.
BAYINDIRLIK ve İSKÂN BAKANLIĞI
AFET İŞLERİ GENEL MÜDÜRLÜĞÜ
DEPREM ARAŞTIRMA DAİRESİ

**DEPREM
ARAŞTIRMA
"BÜLTENİ"**

3



Deprem Araştırma Bülteni (DAB)

Bulletin of Earthquake Research
(Bull. Earthq. Res.)



Ekim [October] / 1973
Cilt [Volume]: 1

Sayı [Issue]: 3

Bayındırlık ve İskân Bakanlığı [Ministry of Public Works and Settlement]
Afet İşleri Genel Müdürlüğü [General Directorate of Disaster Affairs]
Deprem Dairesi Başkanlığı [Directorate of Earthquake Research]

İÇİNDEKİLER [INDEX]

Sayfa [Page]

DİĞER [OTHER]

- 1969 Güney Afrika Boland Depreminde Bina Hasarlarının Onarımı
[Repair of Building Damages in the 1969 South African Boland Earthquake]
Teoman GÜZEY 5-21

DİĞER [OTHER]

- Nükleer Güç Santrallerinin Depremlere Karşı Projelendirilmesi
[Designing Nuclear Power Plants Against Earthquakes]
Onur GÖKSEL 22-37

DİĞER [OTHER]

- Depremler Sırasındaki Zemin Hareketlerinin Önemli Özellikleri
[Important Properties of Ground Movements During Earthquakes]
Ussal Z. ÇAPAN 38-53

DİĞER [OTHER]

- Mikro Bölgelendirme için Jeofizik Mühendisliği Araştırma Teknikleri
[Geophysical Engineering Research Techniques for Microzonation]
Ersen BUKET 54-82

ARAŞTIRMA [RESEARCH]

- Japonya'nın Bazı Bölgelerinde Gözlenen Deprem Zararları ve Zemin Altı Şartları [Earthquake Damages and Subsoil Conditions Observed in Some Areas of Japan]
Mehmet Emin ÖZEL 83-99



**DEPREM
ARAŞTIRMA
ENSTITÜSÜ
BÜLTENİ**

3

**DEPREM
ARASTIRMA
ENSTITUSU
BÜLTENİ**

3

**DEPREM ARAŞTIRMA
ENSTİTÜSÜ BÜLTENİ**



Üç Ayda Bir Yayınlanır
Bilim ve Meslek Dergisi



Sahibi
İmar ve İskân Bakanlığı adına
Teoman Güzey
Deprem Araştırma Enstitüsü
Enstitüsü Başkanı



Yazı İşleri Müdürü
Oktay Ergünay
Deprem Araştırma Enstitüsü
Başkan Yardımcısı



Yönetim Yeri ve Yazışma Adresi
Deprem Araştırma Enstitüsü
Başkanlığı Konur Sokak No.: 4/2
Yenişehir/ANKARA



Telefon : 18 66 29 — 12 87 82



Basıldığı Yer
Şenyuva Basım Sanayii 17 70 94



İlânlar pazarlığa tabidir.

Deprem Araştırma Enstitüsü Bülteni

YIL : 1

SAYI : 3

EKİM 1973

Bu Sayıda

1969 Güney Afrika Boland Depre-
minde Bina hasarlarının Onarımı

C. J. Thomson 5

Nükleer Güç Santrallarının
Depremlere Karşı Projelendirilmesi

Kiyoshi Muto 22

Depremler Sırasındaki Zemin Ha-
reketlerinin Önemli Özellikleri

Prof. G. W. Housner 38

Mikro Bölgelendirme İçin Jecfizik
Mühendisliği Araştırma Teknikleri

V. J. Murphy 54

Japonyanın Bazı Bölgelerinde Göz-
lenen Deprem Zararları ve Zemin
Altı Şartları

Tokyo Üniversitesi Dep-
rem Araştırma Enstitü-
sü Zemin Altı Araştırmacı-
ları Grubu 33

1969 Güney Afrika Boland Depreminde Bina Hasarlarının Onarımı^(*)

Yazar : Çeviren :
C. J. Thomson (***) Teoman GÜZEY (***)

SYNOPSIS

On the 29 th September 1965 at 10.00 p.m. the Western Cape in South Africa Was severely shaken by an earthquake which caused damage estimated at R 15 million (\$ 18 million). This paper provides a general description of the damage caused to masonry structures near the epicentre describes repair techniques and methods of surveying the damage and specifying the repair details.

Ö Z E T

29. Eylül 1969 günü saat 10.00 da Güney Afrikanın batı kısmında tahminen 18 milyon dolarlık hasara sebep olan bir deprem olmuştur. Bu makale deprem merkezine yakın bölgelerde kargir binalarda meydana gelen hasarları, onların inceleme ve tesbit metodları ile özel onarım metodlarını izah etmektedir.

G İ R İ S

Depremin merkezi Cape Town sehrinden 100 km. uzaklıkta Ceres'in kuzey batısındaki sıra dağlar üzerinde bulunmaktaydı. Deprem olduğunda önce Worcester fayının hareket ettiği düşünülmüştü. Sonradan Price Enstitüsü Worcester fayına çok yakın yeni bir küçük fayın teşekkül ettiğini tesbit etmiştir. Depremin Magnitüdü Richter skalasına göre 6,5 - 6,8 dir. Episantr civarındaki hasarın durumuna göre şiddetin Mo-

(*) Makalenin orijinali, V. nci Dünya Deprem Mühendisliği konferansı notları Cilt I. Sayfa 106 da yayımlanmıştır.

(**) Minham Shand ve Ortakları Müşavirlik Firması — Güney Afrika

(***) İmar ve İskân Bakanlığı Deprem Araştırma Enstitüsü

difiye Mercalli skalasına göre MM VII ile MM VIII arasında olduğu tahmin edilmiştir. Depremin akabİNde 1inci ay 72 replik (aftershock) kaydedilmiş ve bu replikler azalan bir tempo ile uzun süre devam etmiştir. 14 Nisan 1970 tarihinde magnitüdü 6,5 olan bir replik daha kaydedilmiş ve bu mevcut hasarın artmasına sebep olduğu gibi hasar görmüş yapıların onarılması gerektiği düşüncesini kuvvetlendirmiştir.

HASARIN ETÜD VE TESBİTİ

Deprem, episantra yakın küçük tarım yerleşme üniteleri olan Ceres, Wolseley ve Tulbagh da şiddetli hasara sebep olmuştur. Bilhassa eski ve kötü malzeme kullanılmış yapılarda hasarın büyük olduğu görülmüştür. Hasar bölgesinde yapılan incelemede en çok hasarın görüldüğü veya tamamen yıkılan yapıların eski ve kerpiç yapılar olduğu tesbit edilmiştir. Bu yapıların bazılarının **yapılış tarihleri 1750** yılina kadar gitmektedir. Çok kötü ve büyük çatlıklar duvar birleşimlerinde olmuş ve birçok halde dış köşeler tamamen tahrip olmuştur. Birçok binalarda kalkan duvarları ve bacalar yıkılmış ve hasarın artmasına sebep olmuştur. Bu eski yapılarda ayakta kalan duvarlarda ise çok yerde sıvalar dökülmüştür.

Tamamen tahrip olan tek katlı modern teknikle inşa edilmiş yapılar çok nadir görülmüştür. Umumiyetle tuğla duvarlarda ve sıvalarда gözle görülür çatlıklar müşahade edilmiştir. Diyagonal çatlıklar genellikle pencere ve kapı üstleri ile, bunlar arasında kalan duvarlarda meydana gelmiştir. Kalkan duvarları tavan seviyesinde çatlamp ve çoğu yıkılmıştır. Bacalar ve tuğla kolonlar çok yerde çatlamp fakat durumunu muhafaza etmiştir.

Taşıyıcı sistemi çelik karkas olup, dolgu duvarları tuğla veya briket ile iyi inşa edilmiş yapılarda hasar görülmemiştir. Afet bölgesindeki mevcut çok az sayıdaki betonarme karkas yapıda çok ehemmiyetsiz hasar tesbit edilmiştir. Dösemeleri betonarme olan 2 katlı yiğma yapılarda çok az hasar olmuş, üst katlarda tek katlı yapılardakilere benzer çatlıklar görülmüştür.

Birçok yerlerde zeminde çatlaklar meydana gelmiş, beton ve asfalt kaplı yollarda genişliği 30 mm. ye varan çatlaklar teşekkül etmiştir. Vadilerde yanlarında ve nehir yataklarında gökmeler olmuştur. Fabrika ve soğuk hava depoları gibi büyük döşeme'erde yatay deplasmanlar görülmüştür. Bazı hallerde döşeme plakları arasında birbiri üzerine hareketden ötürü kırılmalar meydana gelmiştir.

ONARIM METODLARI PRENSİPLERİ

Güney Afrikada umumiyetle hasar görmüş yapılar ya kendi haline bırakılır veya birçok hallerde tahrip edilir. Bu şartlar altında sahadaki yapıların onarılması hususunda bölge sakinleri ile idarecileri ikna etmek gerekiyordu. İlk incelemeler sonunda emin ve ekonomik bir onarım konusunda çeşitli fikirlerin bulunduğu görüldü. Çok geçmeden üniform bir onarım metodunun lüzumu belirdi. 1969 yılı Ekim ayında Güney Afrika Müşavir Mühendisleri Birliği tarafından deprem hasarlarının onarımı konusunda gerekli metodları tesbit edecek bir komite kuruldu ve bu komitenin hazırlayacağı metodlar için hasarın durumunu gösteren pratik bir tesbit metodu (Survey) arastırıldı. Standart bir tek kâğıt üzerinde basit ve pratik bir şekilde hasarın durumunu gösteren bir sistem geliştirildi.

Yapının tamir edilmesine karar verilebilmesi için onarım maliyeti ile yapının yeniden yapılmaya maliyetinin çok iyi tahlimin edilmesi gerekmektedir. Duvarların desteklenmesi ve diğer koruyucu tedbirler, onarılması düşünülen yapılarda malzemenin bozulmaması için alınmıştır.

Bölge sakinlerini, yapılarının onarımının gerektiği bu suretle en az bu şiddetde bir depreme hayatlarını tehlkiye koymaksızın karşı koyabilecekleri hususunda ikna etmek gerekmıştır. Metod bütün çatlaklara sulandırılmış harç koymak, duvar yüzlerinin her iki tarafına tel kafes koyarak içine sıkı veya emsali maddeler katılmış sıva ile sıvamaktan ibarettir. Duvarlar kerpiç ve tuğla olduğuna göre 2. tip sıva şekli kabul edilmiştir.

STANDART ONARIM DETAYLARI

Ön etüdler takriben 2000 — 2500 hasarlı yapıda yapılmıştır. Bunların % 25 i onarım masraflarını kendileri ödemeyi % 40 i ayrı ayrı sigortalara veya devlet kefaleti altında bir müesseseye yaptırmayı arzu etmişlerdir.

Her tip hasara göre özel onarım sekilleri kararlaştırılmıştır. İşin aceleliği ve insan gücünün sınırlı olması dolayısıyla basit ve standart hasar tarifi ve onarım şekli tesbit edilmişdir. İlk incelemeler hasarın yeri ve tiplerinin yapılarda birbirine benzer olduğunu ortaya koymuştur.

Nihayet 10 standart onarım detayı ve 1 keşif ve etüd raporu örneği geliştirilmiştir. Etüd raporunda sadece onarım detay numarası yazılarak o elemanın onarım detayı hakkında bilgi verilmiş bulunmaktadır. Bu tip basit raporun faydası etüd yapan kişi yapıyı terketmeden her kısmın onarım detayı hakkında karar vermiş olmasıdır.

Aşağıda bu onarım detayları kısaca açıklanmış ve her tip ayrı ayrı krokilerde gösterilmiştir.

Tip I, II ve III de duvarlarda, pencere ve kapı üstlerinde hasıl olan çatlakların onarılmasında yapılacak işler gösterilmiştir.

Tip IV, V ve VI da iç ve dış duvar köşelerindeki çatlakların onarılması gösterilmiştir.

Tip VII A ve B çeşitli çelik ve ön gerilmeli çelik germe çubuklarının detaylarını göstermektedir. Çelik germe çubukları mümkün olduğu yerde tavan seviyesinde yapılmıştır. Aşağı seviyelerde bu çubuklar bir levhaya ankre edilmiştir. Okul ve Oteller gibi uzun koridorları olan yapılarda harici duvarlar esas konstrüksiyona bu bağ çubukları ile bağlanmıştır. Arada iç duvarlar varsa bu duvarları geçişte bağ çubukları duvar içine konmuş galvaniz borularından geçirilmiştir.

Tip VIII balkon duvarlarının onarımını ve çatı makaslarının yan takviyelerini göstermektedir. Kalkan duvarlardaki

çatlaklar Tip I deki gibi tamir edilmekte ve karşısından karşıya çelik çubuklarla bağlanmaktadır.

Tip IX ve X baca ve kolonların onarımını göstermektedir

Bu metodlar ayrı ayrı veya birlikte kullanılarak bütün yapılardaki hasarlar onarılabilmiştir.

14. Nisan 1970 de vukuubulan Richter skalarasına göre 6,5 magnitüdü bir deprem de örnek olarak onarım görmüş birkaç yapı bir tecrübe geçirmiştir. Bu yapılarda yapılan incelemelerde bir kısım sivalarda ve germe çubuk başlarındaki ankrat kısımındaki sivalarda kilcal çatlaklar görülmüşse de başka bir hasar meydana gelmemiştir.

S O N U Ç :

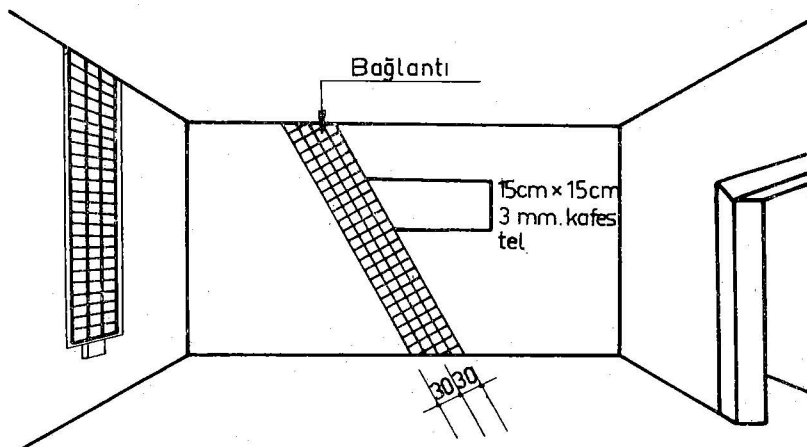
1969 yılı Aralık ayı sonunda teknik elemanlar ilk etüdleri tamamlamışlardır. 1970 Nisanında bir onarım programı hazırlanmıştır. Sınırlı yapı endüstrisi kaynaklarının bulunduğu takriben 200 mil kare sahaya yayılan bu büyük hacimdeki işin yıllarca süreceği anlaşılmıştır. Güney Afrika'nın 5 büyük inşaat firması bir konsorsium kurmuş ve (masraf + cüzi kâr) ile bu işi üzerine almıştır. 1972 yılı Haziran ayı sonunda bütün yapılar (% 10 sahipleri tarafından özel firmalara yaptırılanlar hariç) tamamlanmıştır.

Bu onarım detayları deprem hasarlarında kullanıldığı gibi yanın hasarı gören kârgir yapılarda da kullanılabilecektir. Yangında hasar gören bir yapının yenisinin yapılabileceği ücretin % 50 si ve zamanın % 30 — 40 i müddetinde onarılabileceği anlaşılmıştır.

Tarih: 10.6.1970 Etüdü Yapan:	ONARIM ETÜDÜ VAPILACAK YAPININ SAHİBİ : BARTMAN			Saha No: 17/1				
	Adres: ZULCH CADDESI №: 25 CERES İÇ ONARIMLAR			Yapı No: 1039				
Oda	Duvar Yeri	Deyay	Kapılar	Penceler	Köşeler	Diger izahat	Deyay	Tahmin
9	Kuzey		III		KB			
	Doğu			IV	KD	Däseme bel vermis, kırışıklar		
	Güney		II^2		GD	eklenecek ve lesbit edilecek		
	Batı	I_x	III_x		GB			
10	Kuzey			I	KB	IV Hasarı tavan değiştirilecek		
	Doğu	I			KD	IV		
	Güney		III_x		GD	S^2 (2 kolon sağlaması)		
	Batı				GB			
11	Kuzey	$\text{I} \vee \text{IV}$	I^2	KB	Hassır, kırıcı - degisicek			
	Doğu	I	III_x		KD			
	Güney				GD			
	Batı	I		I	GB			
İşaretler:	Ev isgal edilmemektedir Muvakkat iskan yeri mevcuttur	Evet Hayır	Durumlardaki delikler doldurulacak Catlaklar doldurulacak	Evet Hayır				

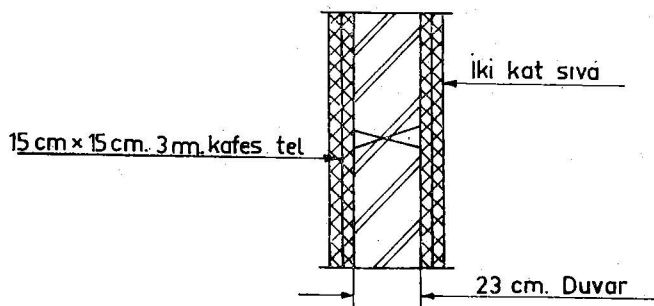
TİP-I - KÜCÜK VE DEVAMSIZ ÇATLAKLARIN ONARIMI

NOT: Bu tip onarım 1 mm. — 6 mm. genişliğindeki çatlaklara uygulanır.



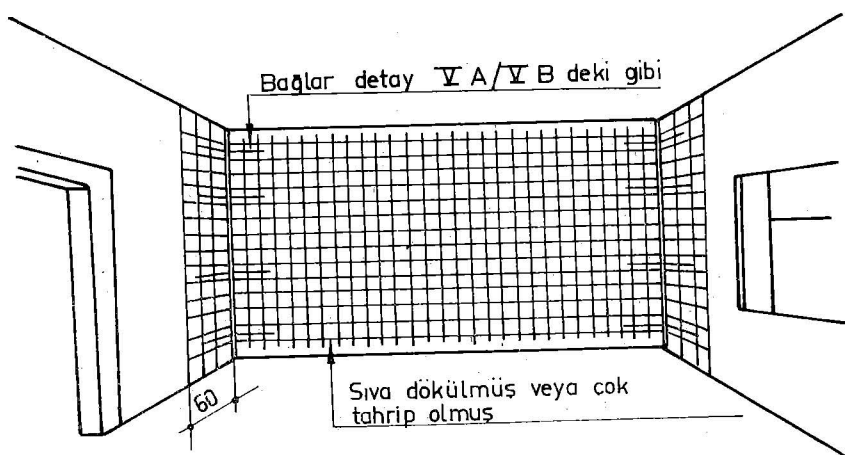
ONARIM METODU

- 1- Çatlaşın her iki tarafında 30 cm. genişlikte sıva kazınacak.
- 2- Çatlaş temizlenip mümkünse sulu harç ile doldurulacak.
- 3- 15 cm. x 15 cm. 3 mm. kafes tel 3mm. tel ile birbirine bağlanarak açılan yere konulacak.
- 4- İki kat sıva yapılacak.



TİP - II DUVARLARIN TEKRAR SIVANMASI

NOT : Bu onarım siviları tamamen veya çoğunlukta
dökülmüş duvarlarda kullanılır.



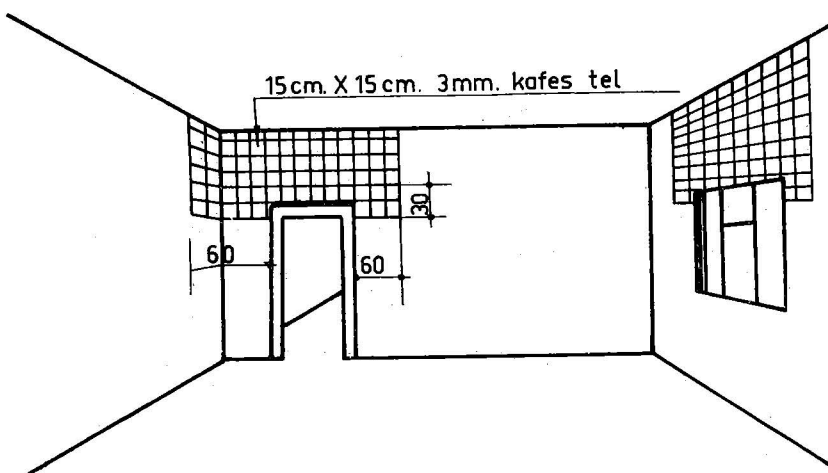
ONARIM METODU

- 1- Bütün duvar boyunca sıva kazınacak.
- 2- 15 cm X 15 cm. 3 mm. kafes tel 3 mm. tel kullanarak duvar tesbit edilecek.
- 3- İki kat sıva yapılacak.

TİP - III - PENCERE VE KAPILARIN ONARIMI

NOT: Bu onarım metodu pencere ve kapı üstlerinde hafif çatlağ olan bölgelere uygulanır.

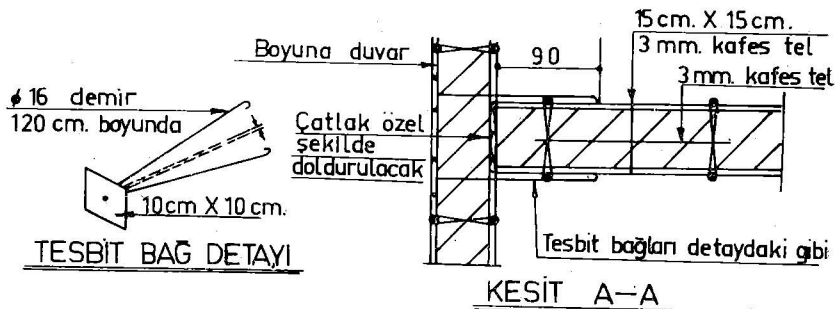
Bu tip onarım kapı ve pencere üstlerinin yeniden tuğla örülmesinde de kullanılır.



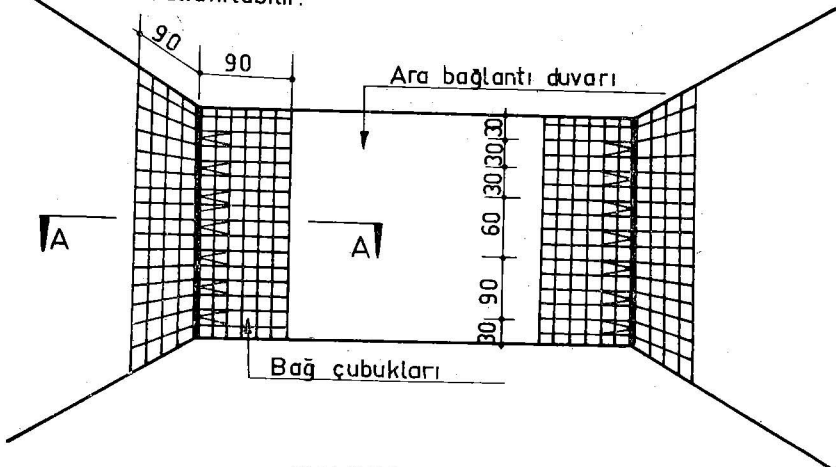
ONARIM METODU

- 1- Yukarıda gösterildiği şekilde bütün siva kazınacak.
- 2- Lüzum görülüyörsa çatlağ temizlenecek
- 3- Hazırlanan her iki yüze 15 cm x 15 cm. 3 mm. kafes tel tatbik edilecek.
- 4- İki kat siva yapılacak.
- 5- Eğer tuğla duvar fena halde təhrib olmuşsa yıkılıp yeniden örülerek, sonra yukarıdaki 3 ve 4. maddeler uygulanacak.

TİP- IV - DUVARLARIN BAĞLANMASI



NOT : Bu tip onarım duvarların birbirinden ayrıldığı köşelerde kullanılır. Aynı zamanda tip II ve V de ilave olarak kullanılabilir.

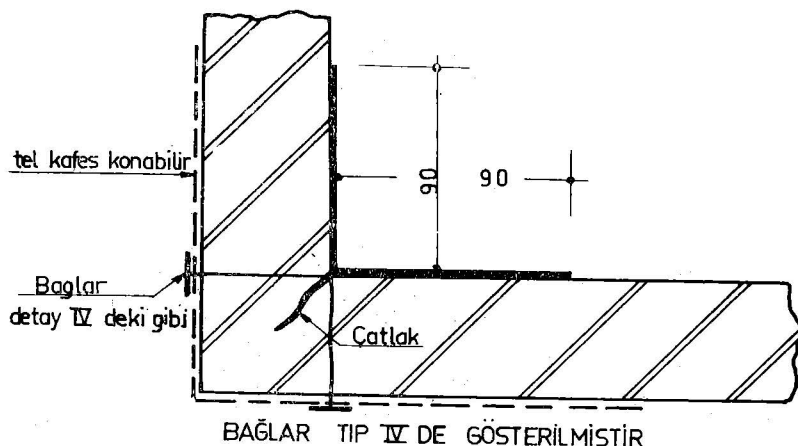


ONARIM METODU

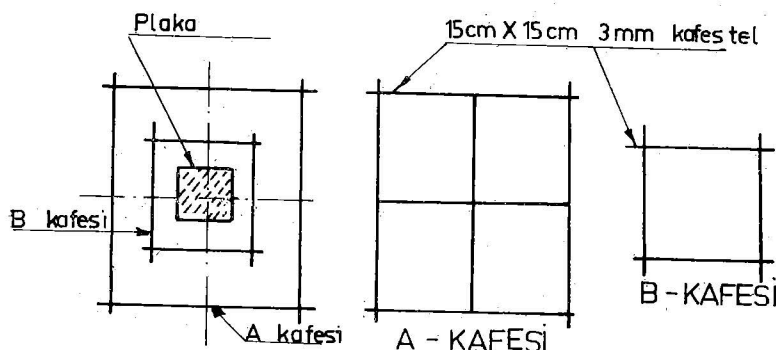
- 1- Duvar kösesinde her iki tarafa doğru 90 cm. boyunda sıva kazınacak.
- 2- Çatlaklar sulu harc ile doldurulacak.
- 3- Açıkta kalan duvar yüzlerine 15 cm X 15 cm. 3 mm. kafes tel tatbik edilecek ve 3 mm. tel ile bağlanacak.
- 4- Boyuna duvarda matkapla delik açılacak 3 mm. tel ile bağlanacak.
- 5- Pratik olan yerde delik içine plastik tüp konacak.
- 6- İki kat sıva yapılacak.

TİP - V - İÇ KÖSELER

NOT: Bu tip onarım duvar köşelerinde iç yüzde, dış tarafa gecmeyen küçük çatıtlar olduğu zaman kullanılır.

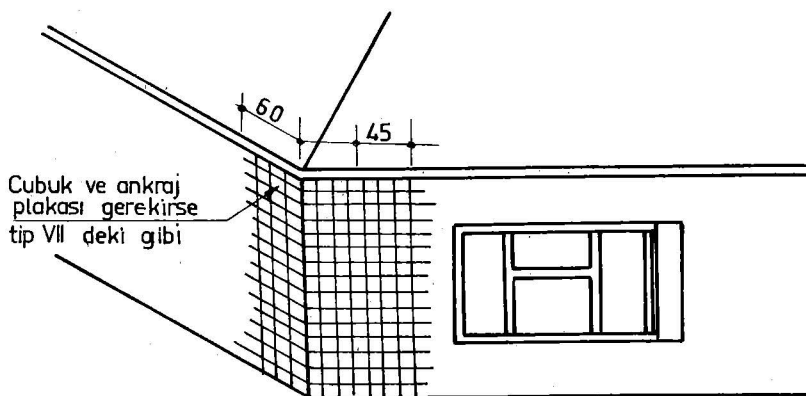
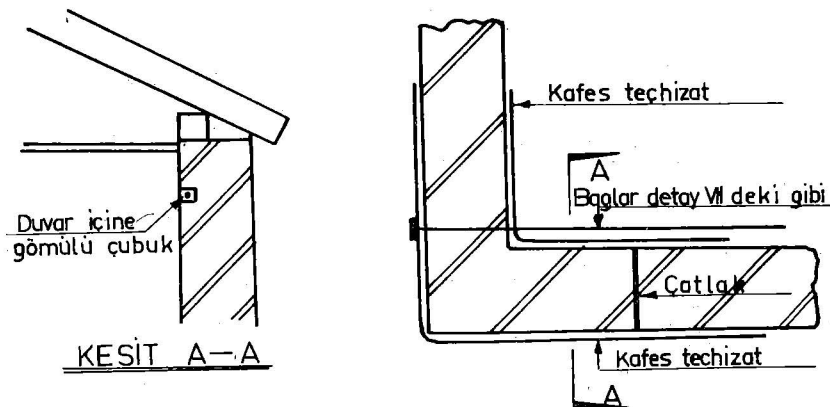


NOT: Dış yüzde kafes tel tutubik edilmemişinde A - ve B kafesleri kohacaktır A kafesi B nin üzerine gelecektir.



TİP - VI DİŞ KÖŞELER

NOT: Bu tip onarım yalnız bir dikey çatlak olan köşelerde kullanılır.

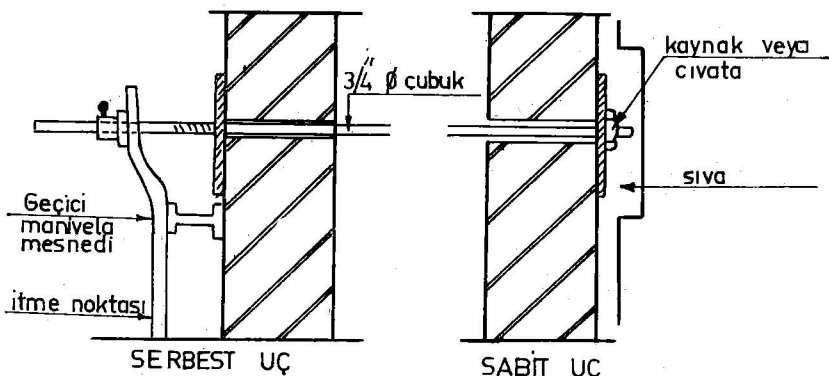
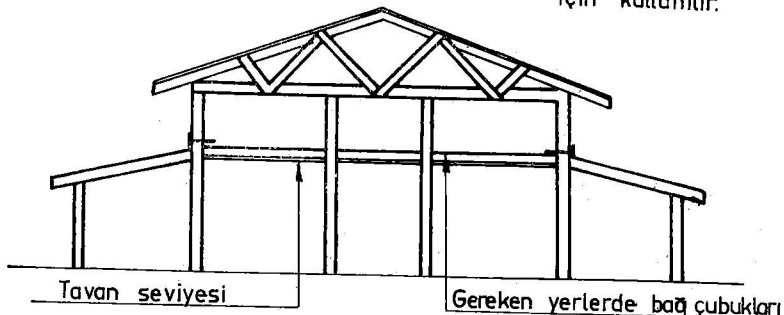


ONARIM METODU

- 1- Bütün sıva gösterdiği şekilde kazınacak.
- 2- Çatlak temizlenip sulu harç ile doldurulacak.
- 3- 15 cm. X 15 cm. 3 mm. kafes tel 3 mm. tel ile bağlanacak
- 4- İki kat sıva yapılacak.
- 5- Tip VII deki gibi bağlantı cubukları özel hallerde kullanılır.

TİP - VII A - ÇELİK BAĞLANTI ÇUBUKLARI

NOT: Bu bağlantı çubukları duvarları olduğu durumda muhafaza için kullanılır.

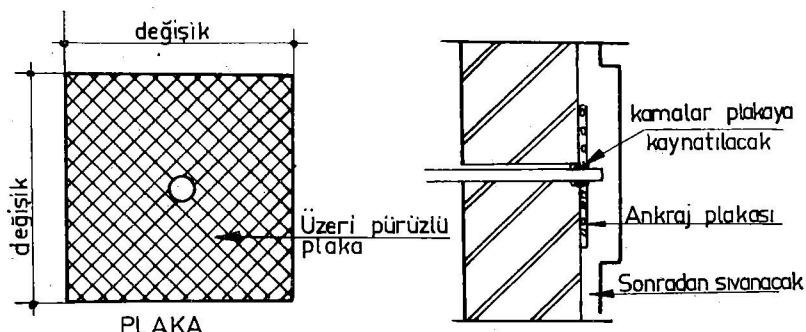
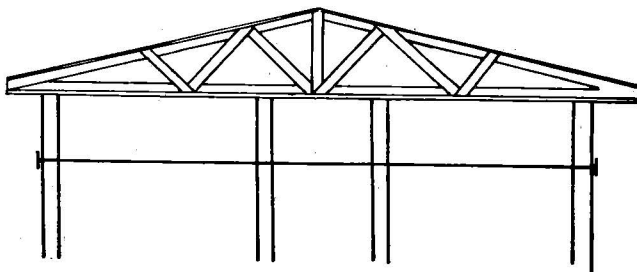


ONARIM METODU

- 1- Tavan seviyesi üzerindeki duvar tip II deki gibi en az 90 cm. yükseklikte tel kafes üzerine sıvanacak.
- 2- Duvar $1\frac{1}{4}$ " \emptyset delinecek ve $3/4$ " \emptyset çubuk geçirilecek.
- 3- Ucuna plaka kaynak edilecek veya vidalanacak,
- 4 - Çubuğu serbest ucu yavaş yavaş çekilecek neticede plakaya kaynak veya başka metotla tespit edilecek
- 5 - Koruyucu bir madde ile boyanıp üzeri sıvanacak.

TİP-VII B-ÖN GERİLMELİ BAĞLANTI ÇUBUKLARI

NOT: Bu bağlantı cubukları duvarları olduğu durumda muhafaza için kullanılır.

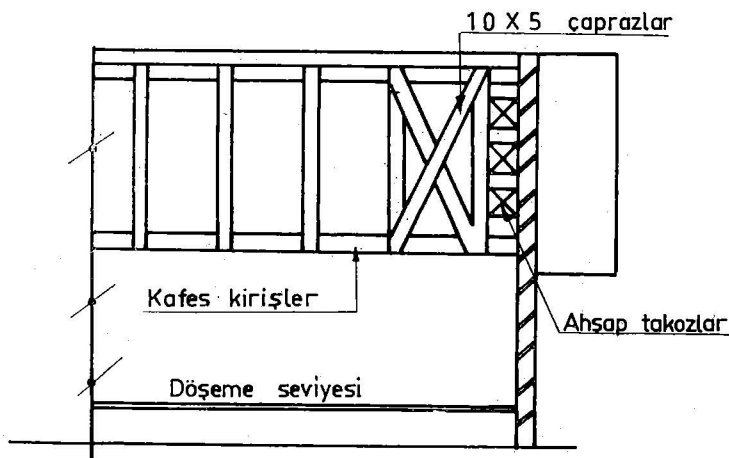
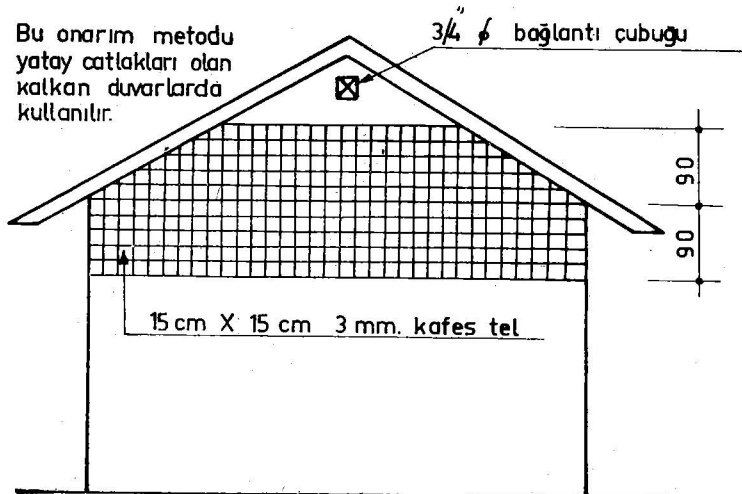


ANKRAJ DETAYLARI ONARIM METODU

- 1 - Duvarlar kafes tel ile kaplanıp sivanacak
- 2 - Duvarda $3\frac{1}{4}$ φ delik acılıp 7 mm çubuk geçirilecek.
- 3 - Çubuk çekilecek ve her iki ucuna plaka kaynatılacak.
- 4 - Koruyucu bir madde ile boyanıp üzeri sivanacak

TİP-VIII- KALKAN DUVARLARIN ONARIMI

NOT: Bu onarım metodu
yatay çatlıklarla olan
kalkan duvarlarda
kullanılır.



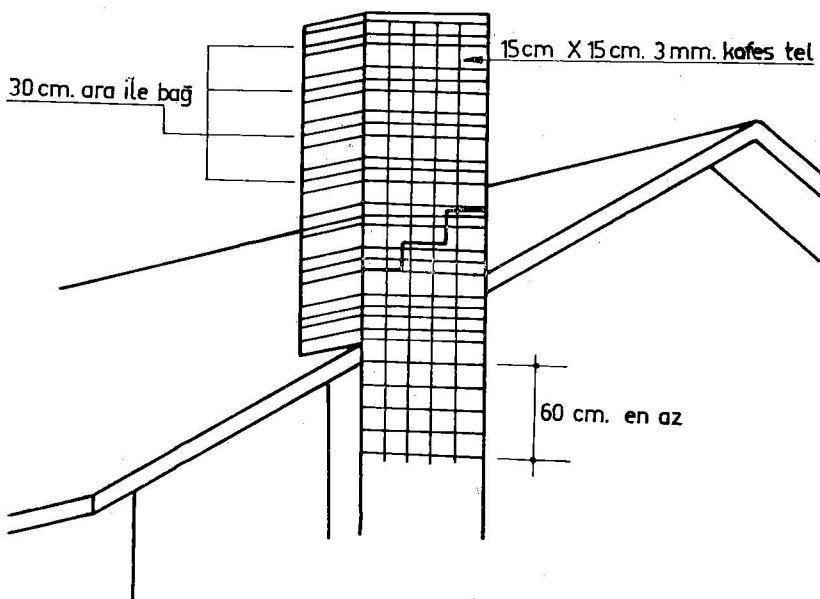
1- Çatlığın alt ve üstünden 90 cm. yükseklikle sıva kazınacak.
ve çatlık temizlenecek.

2- 15 cm. X 15 cm. 3 mm. kafes tel her iki tarafa tıbbik edilip
3 mm. tel ile bağlanacak.

3- İki kat sıva yapılacak.

4- 1 1/2 φ delik delinip tip VII deki gibi cubuklar çekilecek.

TİP - IX - BACALARIN ONARIMI

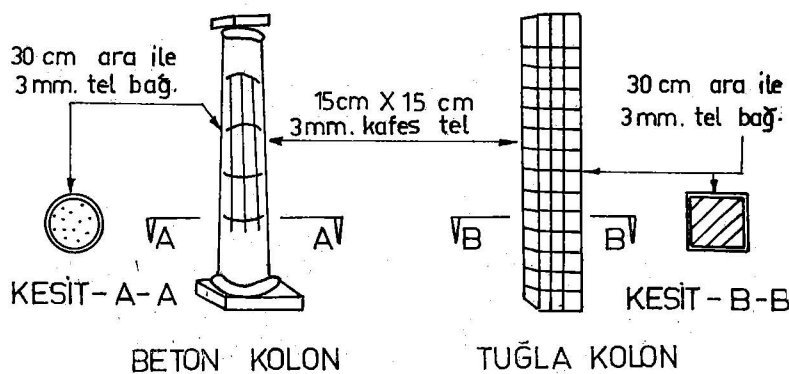


ONARIM METODU

- 1 - Bütün sıva kazınacak.
- 2 - Baca kontrol edilecek. Stabilitesinin bozuk olduğundan şüphe edilirse tamamen yıkılıp yeniden örülerek.
- 3 - 15 cm. X 15 cm. 3 mm. kafes tel ile tavandan en az 60 cm. aşağıya kadar sarılacak 3 mm. tel ile 30 cm. ara ile bağlanacak.
- 4 - İki kat sıva yapılacak.

TİP-X-KOLONLARIN ONARIMI

NOT: Bu tip onarım az catlak kolonlara veya takviye edilmesi arzu edilen kolonlara uygulanır.



ONARIM METODU

- 1- Sıvalar tamamen kazınacak.
- 2- Etrafına kafes tel sarılıp iyice tesbit edilecek.
- 3- 30 cm. ara ile 3 mm. tel ile bağlanacak.
- 4- İki kat siva yapılacak.

Nükleer Güç Santrallarının Depremlere Karşı Projelendirilmesi^(*)

Yazan :
Kiyoshi Muto **

Çeviren :
Onur Göksel ***

1. GİRİŞ :

Yakın zamanda, sismisitesi yüksek olan Japonya ve Kaliforniya gibi bölgelerde nükleer güç santralları kurulmuştur. Bilindiği gibi nükleer güç santralları yapı, bina, tehzizat, boru sistemi ve radyo aktif materyel ihtiva edebilen diğer kısımlardan meydana gelmiştir. Dolayısıyle depreme karşı mukavemet yapı hesabında en önemli faktörlerden biridir. Depreme karşı projelendirme için, bütün kısımlar radyoaktivite emniyet önemi bakımından iki veya üç sınıfa ayrılmış ve her sınıf için dinamik veya statik analiz tatbik edilmiştir.

Japonya'da bu uygulama, ilk olarak 1957 yılında, Ticari maksathâ Japon nükleer santrali olan Tokai nükleer güç santralının (Calder Hall - tipi) depreme karşı hesabında denemistiştir. Şimdiki sınıflandırma metodu 1964 yılında ikinci ticari maksathâ Japon nükleer santrali olan Tsuruga nükleer güç santralının (BWR tipi) depreme karşı hesabında kullanılmıştır.

Amerika Birleşik Devletleri'nde, Profesör G. W. Housner (1960 2 WCEE) sınıflandırma yaklaşımını takdim etmiş ve 1963 de AEC (Atom Enerjisi Komisyonu) «Nükleer Reaktörler ve Deprem»i (TID — 7024) talimat olarak yayımlamıştır.

(*) Bu makale Deprem Mühendisliği 5. Dünya Konferansında sunulmuştur.

(**) Profesör Emeritus, Tokyo Üniversitesi, Kojima Şirketi faal başkanı, Muto Yapı Mekaniği Enstitüsü başkanı.

(***) Türkiye Elektrik Kurumu Nükleer Enerji Dairesi Başkanlığı.

1968 de Tokyo'daki IAEA (Milletlerarası Atom Enerjisi Komisyonu) konferansında yirmi iki etüd takdim edilmiş ve bunlar «Nükleer İmkânların Denenmesi ve Depreme karşı Projelendirme» de birleştirilmiştir. Buradaki talimatlar dünyada sismik bölgelerde kurulacak nükleer güç santrallarının depreme karşı projelendirilmesinde kullanılmaktadır.

Yazarın etüdü «Nükleer Güç Santrallarının Depreme Karşı Dizaynı» (Washington'da ANS kış toplantısında (1968) takdim edilen), 1971 Berlin'de Emirt'in ilk konferansında Hisada ve diğerleri tarafından takdim edilen «Filozofi ve Nükleer Güç Santrallarında Depreme karşı Dizaynda Pratik» gibi talimatlarla ilgilidir.

Bu konferansta nükleer güç santrallarının depreme karşı dizaynı konusunda çok fazla etüd takdim edildiğinden, yazar burada Japonya'daki nükleer güç santrallarının deprem problemlerinden bahsedecektir. Yazının ilk yarısında, yer seçimi problemi ve depreme karşı hesap yaklaşımı izah edilecektir. Daha sonraki kısım yazarın Shimane nükleer güç reaktörünün depreme karşı dizaynı ile inşaat bittikten sonra yapılmış cebrî titresim deneyi ve simulasyon analizini göstermektedir.

2. Yer Seçimi Problemleri :

1 — Toprakaltı Tabakalarının Durumu : Genellikle reaktör bina temelinin anakaya üzerine oturtulması istenir. Nükleer güç santralları üzerindeki titresim deneyleri, sert yapıya sahip olan nükleer santralların sönüm (damping) bakımından sert kaya yerine yumuşak kaya üzerine oturtulmasının daha avantajlı olduğunu göstermektedir. Mamafî yer seçiminde daha ileri araştırmalar gerekmektedir.

Anakaya üzerinde kalın bir dolgu tabakası var ise kılıf ve kazık temel gereklidir. Meselâ Tokai Nükleer Güç Santrali toprak tabakasının onyedi metre altındaki kaya tarafından desteklenmiştir.

2 — Sismisite : Nükleer güç santrallarının yer seçiminde bölge sismisitesi önemli bir faktördür. Sismik hareketin mümkün olduğu kadar düşük olduğu yerlerin bulunması arzu edilir. Yerin sismik tarihi zemin durumu, sismo - tektonik çalışmalar, v.s. gözüne alınarak, depreme karşı projelenmeye sırasında kullanılacak depremler ve şiddetleri tayin edilir.

3 — Faylar : Yer yakınındaki alanda aktif fay olup olmadığıının dikkate alınması gereklidir. Nükleer güç santrallarının dizaynında yerin böyle faya yakınlığı gözüne alınmalıdır.

4 — Tsunamiler : Tsunami zararlarının önlenmesi için, santral deniz seviyesinin üstünde veya su seddi ile korunarak kiyida kurulabilir.

5 — Heyelan : Yerin ve çevrenin topografyası dikkatlice incelenmelidir. Yer münhanileri arızalı ise, yağmur veya deprem yüzünden santralın kaymasını önlemek için gerekli tedbirlerin alınması gereklidir.

3. Depreme Karşı Projelendirmede Yaklaşım :

1 — Depreme Karşı Dizayn için Santral Kısımlarının Sınıflandırılması :

Bütün nükleer güç santralları zarara uğramasından meydana gelecek tehlikeye göre genellikle üç sınıfa ayrılırlar.

A Sınıfı : Fonksiyonunu kaybettiği zaman ciddi nükleer kazaya sebebiyet veren ve çevreyi radyasyon tehlikesinden koruyan kısımları ihtiva eder.

Bu sınıftaki reaktör kabı ve reaktör durdurma sistemi gibi emniyet için gerekli olan kısımlar özel olarak As. Sınıf şeklinde sınıflandırılır.

B) Sınıfı : Bu sınıf, A. sınıfına girmeyen yüksek radyoaktif madde ihtiva eden bütün kısımları kapsar.

C) Sınıfı : Bu sınıf diğer bütün kısımları ihtiva eder.

2 — Projelendirme Sırasında Gözönüne Alınan Depremler :

Nükleer Güç Reaktörlerinin depreme karşı dizayını, Japonya Yapı Nizamnamesi'nce belirlenen sayılarla sismik kat sayıların çarpımı ile statik analize dayanır. İlâve olarak, iki değişik şiddetli depreme göre dinamik analiz gereklidir. (bilhassa A ve As sınıfları). Yazار bu depremleri tecrübe mahiyetinde A depremi ve As depremi olarak belirlemektedir. Genellikle, As deprem şiddeti A deprem şiddetinin 1,5 mislidir.

3 — Yapı ve Binalara Etki Eden Deprem Kuvvetleri :

A) Sınıfı : Tatbiik edilecek yatay deprem kuvveti :

i) Yapı Yönetmeliği tarafından tayin edilmiş faktör üç ile statik sismik katsayı (C_o) in çarpılmasından elde edilen yatay deprem kuvvetinden yani ($3C_o$) dan,

ii) A - depremine göre dinamik analizden elde edilen yatay deprem kuvvetinden fazladır,

Düşey deprem kuvveti, yapının tabanındaki yatay sismik katsayıının 0,5'i kadardır. Yön aşağıya veya yukarıya doğru düşünülebilir ve yatay deprem kuvvetiyle birleştirildiğinde en şiddetli durumun meydana geldiği öngörlülür.

As Sınıfı elemanları, As - depremine göre daha ileri bir matematiksel deney gerektirir.

B) Sınıfı : Yatay deprem kuvveti, yapı Yönetmeliği tarafından tayin edilmiş faktör 1,5 ile, statik sismik katsayı (C_o) in çarpılmasından elde edilen yatay deprem kuvveti olarak hesabedilir. ($1,5C_o$)

C) Sınıfı : Yatay deprem kuvveti Yapı Yönetmeliği tarafından tayin edilen statik sismik katsayı kullanarak bulunur.

4 — Teçhizat, Boru Sistemi ve Ölçü Aletlerine Etki Eden Deprem Kuvvetleri :

A) Sınıfı :

(i) Teçhizat ve yapının titresim karakteristikleri gözö-

nüne alınarak, A - depremine göre dinamik analizle dizayn deprem kuvveti tayin edilir.

(ii) Bu kuvvet Reaktörün kurulacağı yerin ivmesinin 1,2 katından daha az olamaz, Bu ivme, (a) Yapının dinamik analizinden bulunan ivmeden veya (b) Yapı Yönetmeliği tarafından tayin edilmiş statik sismik katsayısının 3 ile çarpılmasından elde edilen ivmeden daha büyütür.

(iii) A Sınıfı yapıların düşey sismik katsayılarından elde edilen düşey deprem kuvveti aşağı ve yukarı yönlerde tatbik edilebilir.

As Sınıfı elemanlarının mukavemeti, fonksiyonlarını devam ettirebilmesi için As - depremine göre matematiksel olarak denenmelidir.

B) Sınıfı : Dizayn deprem kuvveti, B sınıfı binaların kuruluş yerindeki sismik katsayısının 1,2 misli alınarak tayin edilir.

Düşey deprem kuvveti tatbik etmeye gerek yoktur.

C) Sınıfı : Dizayn deprem kuvveti, C sınıfı binaların kuruluş yerindeki sismik katsayısının 1,2 misli alınarak tayin edilir. Bu kuvvet lüzumlu olduğu takdirde tatbik edilir.

4. Shimane Nükleer Güç Reaktörünün Depreme Karşı Dizaynı :

1 — Reaktör Binası :

Chugoku Elektrik Güç Şirketinin Shimane Nükleer Güç Santrali kaynar sulı reaktör tipine sahiptir. (460 WWe, GE tipi) Şekil 2 (a) da görüldüğü gibi reaktör binası temel dibinden 60 m. yükseğe kadar yükselmektedir. Temelden (BMT, beşinci (yakit tazeleme) kata kadar betonarme ve çelik çatı kafeslerinden (ST) meydanı gelmiştir. Temel hasırı (yaklaşık olarak 42 X 42m) sert kaya üzerine inşa edilmiştir ve taflı binalardan tamamen bağımsızdır. Binanın merkezinde, beton gamma korunaklı duvarı (GSW), ampul şeklinde çelik birincil

kap (PCV) ve betonarme korunak duvarı (SW) ile gevrlili reaktör basınç kabı (RPV) bulunmaktadır. PCV Aş Sınıfı ve diğerleride A Sınıfı elemanlarıdır.

2 — Titreşim Karakteristikleri :

(i) Titreşim Deneyi :

1972 Ağustosunda yapı tamamlandıktan hemen sonra, santralin kesin titreşim karakteristiklerini okuyabilmek için cebri titreşim deneyleri yapılmıştır. Yakıt tazeleme katına maksimum təhrirk gücü 3 ton olan bir vibratör yerleştirilmiştir. [Şekil 2 (a) ya bakınız.] Yapı ve təhizatın titreşimi, yeni korrelasyon tekniğini uygulayan yeni ölçü sistemine (MIK) göre ölçülmüştür.

Titreşim testinin rezonans eğri örnekleri şəkil 3. de göstərilmiştir. Apsis, vibratörün frekansı (f) cinsinden ifade edilmişdir. Ordinat ise genlik A bürü f^2 , (A/f^2) cinsinden ifade edilmişdir. A , 20 kg. m. lük dengelenmemiş moment cinsine çevrilmiştir.

(ii) Titreşim Modeli :

Teorik bakımdan santralin, titreşim karakteristiğini açıklayabilmek içün, deney sonuçları, titreşim modeli kullanarak kompüter analizi ile simüle edilmişdir.

Şəkil 2 (b) de göstərilen çox - yiğimli (multi - lumped) eləstik kütle sistemi, titreşim modeli olaraq kabul edilmişdir. Dahilə viskoz söñüm teorisine görə, her yapı elemanına deyisik söñüm katsayıları verilmişdir. Matematik modelin birləşimləri şu şəkildədir.

Bina Duvarı ve Korunak Duvarı : Reaktör binasının asıl mukavemet eden elemanları, korunak duvarı ve üç bina duvarı olarak öngörülmüştür. W_1 ve W_3 (harici duvarlar) ve W_2 (geri duvar) şəkil 2 (a) da göstərilmiştir. Kütleler her kat hizasında yoğunlaştırılmış ve sertlikler, kesme ve büükülme deformasyonları gözönüne alınarak hesap edilmişdir. Bina duvar-

ları ile korunak duvarı arasındaki yatay sertliklerde (stiffness) gözüne alınmıştır.

Temel hasırı (mat) : Hasır üç temel elemanına ayrılmıştır :

F_1 , F_2 ve F_3 [Şekil 2 (b) de gösterildiği gibi]. F_1 ve F_3 , W_1 ve W_3 duvarlarını, F_2 ise W_2 , Sw, PCV, GSW, RPV duvarlarını destekler. Bu üç temel hasırın aynı yatay harekete fakat bağımsız dönüs hareketine sahib olduğu öngörmektedir. F_1 , F_2 ve F_3 ün yatay ve dönüslü (rotasyonel) sertlikleri, F_1 ve F_2 ile F_2 ve F_3 arasındaki dönüslü sertlikler gibi toprak tabakasının ve hasırın elastik deformasyonları gözüne alınarak hesab edilmiştir.

Tehizat : Sertlikler, her elemanın bükülme ve kesme deformasyonlarına dayanılarak hesap edilmiştir. Kesme kulağının (lug) ve iki stabilizatörün yatay yayları da hesaba dahil edilmiştir. [Şekil 2 (b)]. Hafif su ve RPV nin içindeki çekirdek yapının titreşiminde yalnız kütle etkisi vardır.

(iii) Hareket denklemi :

Analiz için hareket denklemi aşağıdaki gibi ifade edilir

$$[M] \{ \ddot{X} \} + [C] \{ \dot{X} \} + [K] \{ X \} = \{ P \}$$

Burada,

[M] : Kütle matriksi

[C] : Sönüüm matriksi

[K] : Sertlik matriksi

{P} : Kuvvet vektörü

{ \ddot{X} } { X } { \dot{X} } ise ivme, hız ve deplasman vektörleridir.

[C] ise aşağıdaki şekilde verilmektedir.

$$[C] = (r_s \cdot K_s + r_c \cdot K_c + r_{st} \cdot K_{st})$$

Burada,

r : dahili viskoz söñüm katsayısı, s, c ve st alt indisleri ise sıra ile toprak (zemin), beton ve çeliği ifade etmektedir.

(iv) Analizi ve deneyi yapılmış rezonans eğrilerinin karşılaştırılması :

Tablo 1 de gösterilen young modülü E ve dahili viskoz söñüm katsayısı r gibi fiziki sabiteleri denklemde yerine koymarak, vibratörün f frekansına göre rezonans eğrileri hesap edilebilir. [Şekil 3], RF, 5 F ve RPV deki analiz edilmiş ve test edilmiş rezonans eğrilerini göstermektedir.

Şekil 3 iki setin rezonans eğrileri arasında yakın bir ilgi olduğunu göstermektedir. Sonuç olarak, matematiksel titresim modeli nükleer güç santrallarının tam bir simülasyonunu sağladığını belirtmektedir.

Tablo 1. Simülasyon için Fiziksel Sabitler

Malzeme	Eleman	E (t/cm ²)	r (san.)
Toprak	Temel	550	0.00064
Beton	W, SW, GSW *	520	0.012
Çelik	Kafes	2100	0.00032
	RPV, PCV, GSW *	2100	0.0016

* Simülasyon analizinde GSW beton ve çelikten meydana gelmiş bir yapı olarak gözönüne alınır. Ancak dizayn analizinde, reaktör çalışırken beton yüksek radyasyon ısısına maruz kaldığından beton sertliği ihmali edilir.

(v) Sönümlü tabii Modlar :

Sönümlü serbest titresim denkleminin çözümünden elde edilmiş, birinci, ikinci, üçüncü ve dördüncü sökümlü tabii modları, sökümlü tabii peryodları, konvansiyonel modal söküm faktörleri ve faz araları ile beraber gösterilmiştir. (Şekil 4. e bakınız)

Her modun karakteristiği, dahili viskoz söküm teorisine göre aşağıdaki gibi açıklanabilir.

a) **Birinci mod.** : Şekil 2 (a) da gösterilen betonarme bina (RC) ve çelik çatı kafesi (ST) aynı yönde titresirler. ST titresimi etkili olduğundan söküm modal faktörü yaklaşık olarak % 2 dir.

b) **İkinci Mod.** : RC ve ST karşıt yönlerde titresirler RC nin söküm karakteristiğine dayanarak modal söküm faktörü yaklaşık olarak % 5 tır.

c) Üçüncü mod. : Bu mod RPV nin birinci moduna tekabül eder. Yaklaşık olarak % 5 olan modal sönüüm faktörü öncelikle RPV nin sönüüm karekteristiğinden meydana gelmiştir.

d) Dördüncü mod. : RC nin ikinci moduna tekabül eder. Modal sönüüm faktörü birinci, ikinci ve üçüncü modlara nazarın daha büyüktür. (% 9).

3 — Depreme Karşı Dizayn :

(i) Deprem hareketi :

Düşük magnitüdü titresimlerde yapılan titresim deneyleri, Shimane nükleer güç reaktörünün titresim karakteristiğini açıkladığından, uygun bir depreme karşı dizayn büyük titresimler için, de geçerlidir. Dolayısıyla, Tablo 2 de gösterilen fiziksel sabiteleri kullanarak, deprem hareket analizi yapılır.

Beton ve çelik için E (Young modülü) konvansiyonel yapı dizaynındaki yüksek gerilim değerlerine dayanır. Toprak için E, elâstik dalga hızı V_p (primer dalga) ve V_s (sekonder dalga) gözüne alınarak tayin edilir. Dahili viskoz sönüüm teorisine göre, toprak, beton ve çelik için r katsayıları, sönüüm faktörlerinden bulunur (toprak - % 10, beton - % 5, çelik - % 2). Sönüüm faktör değerleri 1967 IAEA konferansında verilen etüdlere göre seçilmiştir.

Depreme karşı dizayn için deprem dalgaları 1968 Shimane (kurulus yerinde), ve 1940 El centro'da kaydedilmiştir. Her dalganın maksimum ivme şiddetleri, A sınıfı elemanları için 0,2 g de sabit tutulmuştur.

Maksimum hareket ivmesi Şekil 5 de gösterilmiştir. Ana titresim elemanlarındaki maksimum yatay deplasman ve ivmeler aşağıdaki gibidir :

- a) RF nin üstü : 3,5 cm, 1,8 g.
- b) Birinci kat : 1,6 cm, 0,6 g.
- c) PCV nin üstü : 1,2 cm, 0,5 g.
- d) RPV nin üstü : 1,4 cm, 0,8 g.

Tablo 2. Dizayn için Fiziksnel Sabiteler.

Malzeme	Eleman	r (san.)	E (t/cm ²)
Toprak	Temel	0.010	220
Beton	W, SW	0.005	210
Çelik	Kafes	0.002	2100
	RPV, PCV, GSW	0.001	2100

(ii) Dizayn kesme kuvveti :

Dizayn kesme kuvveti a) dinamik analizden b) Yapı Yönetmeliğinde gösterilen A Sınıfı elemanları sismik katsayıların üç katı ile yapılan statik analizden elde edilen değerlerin en büyüğü olarak belirlenmelidir. Japon kanunları bölgeleme faktörü olarak 0,8 istediginden, 0,48 değeri kullanılır ($3C_0 \times 0,8 = 0,48$). Şekil 6. da statik sismik katsayılar gösterilmektedir.

Dinamik ve statik analizin kesme kuvvetleri şekil 6. da mukayese edilmiştir. Çoğu kısımlar için, statik analiz değerleri dinamik analiz değerlerinden daha büyüktür.

5 — SONUÇ :

1 — Nükleer güç santrallarının kuruluş yeri, bölgede toprak altı tabakasının, sismisitenin, flay ve tsunamilerin tehlikeleri incelendikten sonra seçilmelidir.

2 — Nükleer güç santrallarında binalar, yapılar, teçhizat ve boru sistemi zedelenmelerinden doğacak tehlike durumuna göre sınıflandırılırlar. A Sınıfı ve As Sınıfı için bilhassa dinamik analiz gereklidir.

3 — Nükleer güç santrallarının ideal titresim modelleri her kısmı ayrı ayrı olduğu gibi, katlar, stabilizatörler ve toprak ile beraber gözönüne alınır.

4 — Shimane nükleer güç santralının cebri titresim testi ve simulasyon analizi sonuçları, titresim modelinin her kısmı için ayrı sönum katsayıları tanıma mecburiyetini göstermektedir.

5 — Shimane nükleer güç santralının üst yapısının fiziksel sabitleri, yapı ana kaya üzerinde olduğundan, cebri titresim testiyle tam olarak denenebilir.

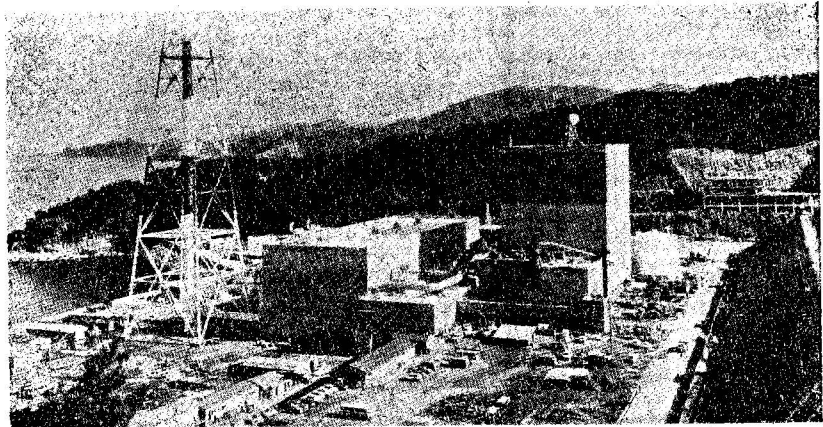
- (i) Beton binanın deneysel E'si dizayn değerinden daha büyük, çelik kafesin deneysel E, si yaklaşık olarak dizayn değerine esittir.
- (ii) Beton binanın ve çelik kafeslerin deneysel r'leri dizayn değerlerinden küçüktür.

Teşekkür :

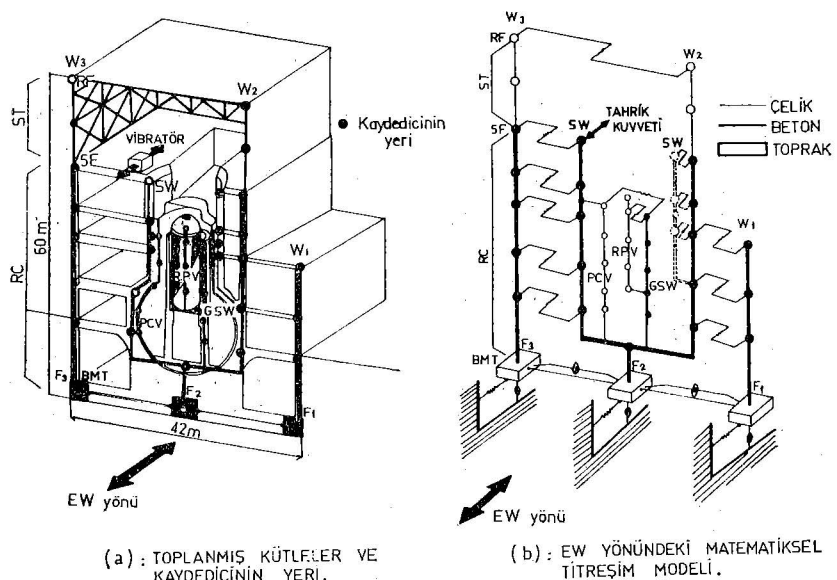
Yazar, Shimane nükleer güç santralının cebri titresim deneşlerindeki yardımlarından dolayı Dr. T. Hisada ve Kajima Konstrüksiyon Teknolojisi Enstitüsü'ndeki personele teşekkürlerini sunar. Aynı zamanda bu deney fırsatını veren Chugoku Elektrik Güç Şirketine de teşekkür eder.

R E F E R A N S L A R :

- 1 — K. Muto, et al., «Special Requirements for the Design of Nuclear Power Stations to Withstand Earthquakes,» Proceedings of the Institute of Mechanical Engineers, Vol. 177, No. 7, 1963.
- 2 — G. W. Housner, «Design of Nuclear Power Reactors Against Earthquakes,» Proceedings of the 2WCEE, Vol. 1, 1960
- 3 — (IAEA), «Aseismic Design and Testing of Nuclear Facilities,» Technical Reports Series No. 88, IAEA, Vienna, 1968
- 4 — K. Muto and T. Hisada, «Earthquake - Resistant Design for Nuclear Power Plants,» Paper for ANS winter meeting held in Washington D. C., 1968
- 5 — T. Hisada, et. al. «Philosophy and Practice of the Aseismic Design of Nuclear Power Plants - Summary of the Guidelines in Japon,» paper for the First International Conference on SMIRT. Berlin, 1971
- 6 — K. Muto, et. al. «Comparative Forced Vibration Test of Two BWR — type Reactor Buildings,» paper for the Second International Conference on SMIRT, Berlin, 1973
- 7 — The Co value is 0.2 up to 16 meters above the bottom surface of the basement, and increases 0.01 for every four meters above the 16 — meter level. «Earthquake Resistant Regulations A. World List,» compiled by IAEA, 1963
- 8 — K. Muto, et. al., «A New Measuring Method of Vibration Using Correlation Technique,» paper for the 5 WCEE, Roma, 1973
- 9 — Estimates based on K. Muto and K. Omatsuza, «The Earthquake Response Analysis for a BWR Nuclear Power Plant Using Recorded Data,» paper for the First International Conference on SMIRT, Berlin, 1971



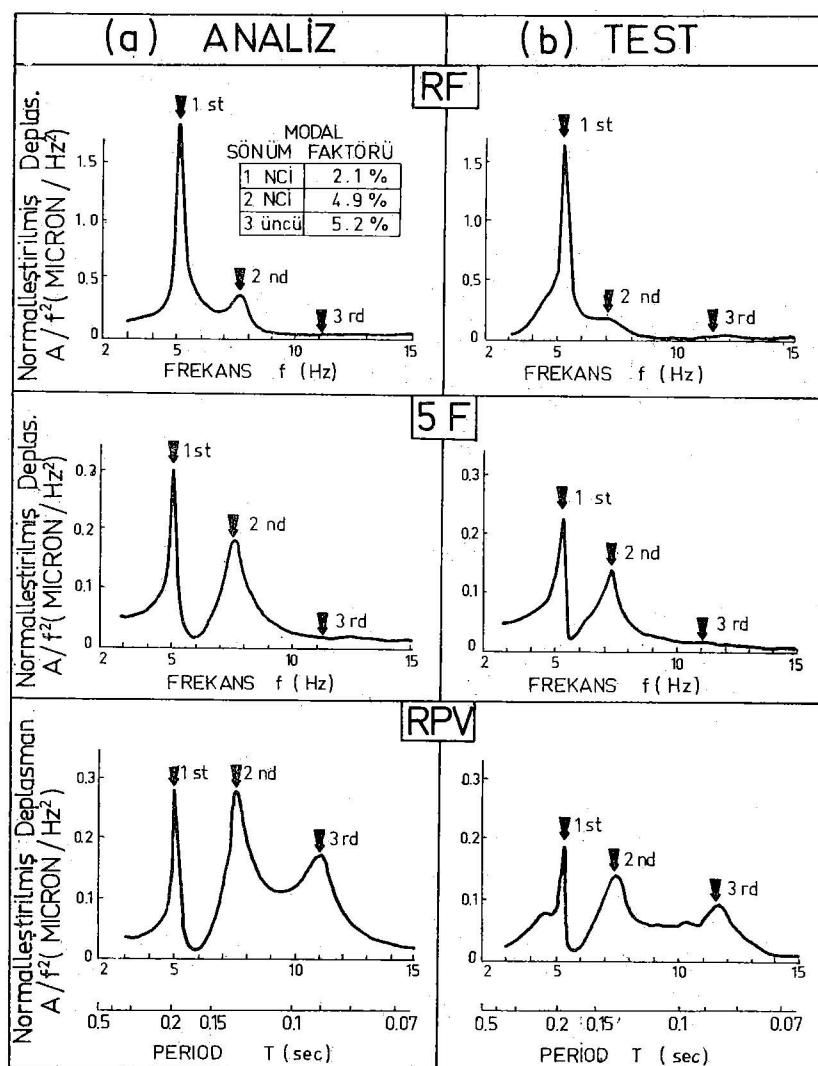
Sekil 1 — SHİMANE NÜKLEER GÜÇ SANTRALI.



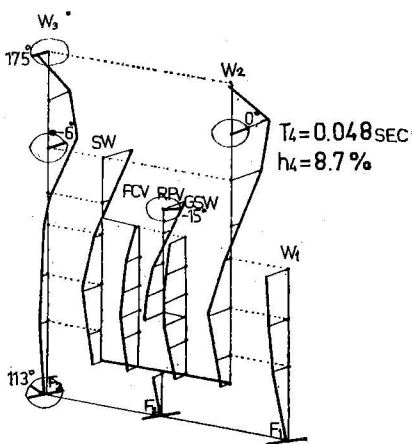
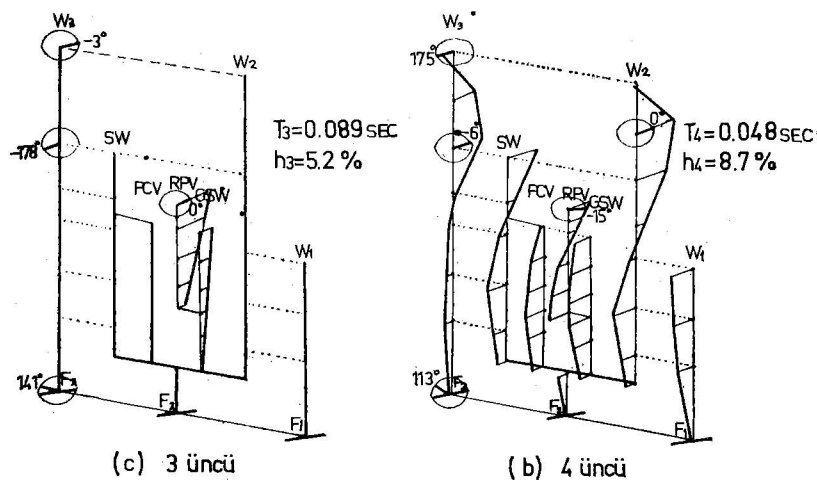
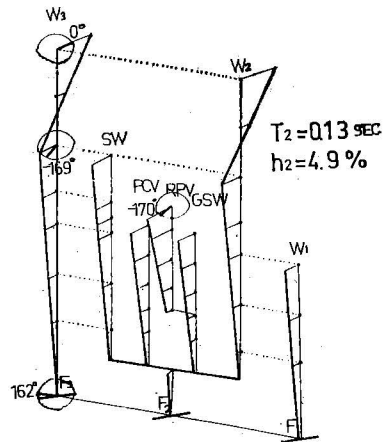
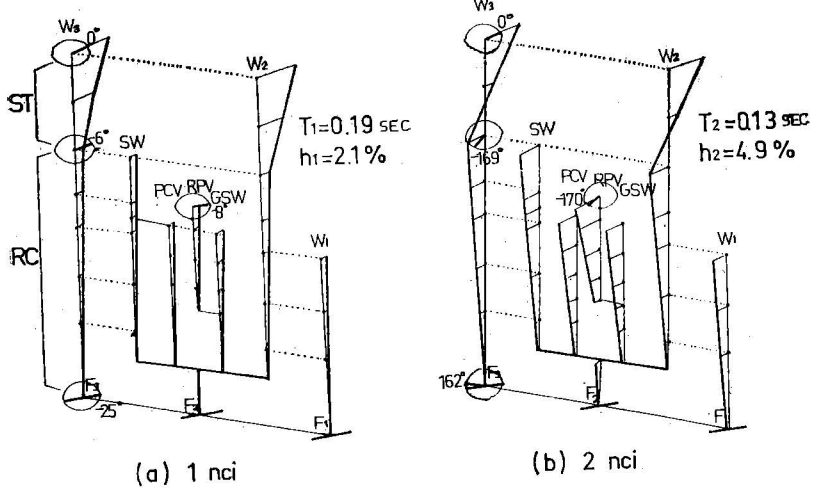
(a) : TOPLANMIS KÜTLFLER VE
KAYDEDİCİNİN YERİ.

(b) : EW YÖNÜNDEKİ MATEMATİKSEL
TİTREŞİM MODELİ.

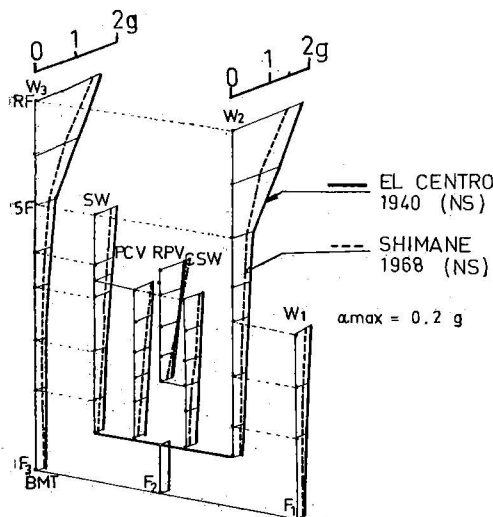
SEKİL . 2 : SANTRALIN VE TİTREŞİM MODELİNİN ŞEMASI.



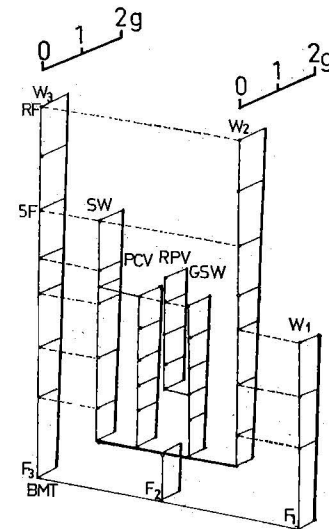
Şekil : 3 ANALİZ VE TEST SONUÇLARINDAN ELDE EDİLEN REZONANS EĞRİLERİNİN KARŞILAŞTIRILMASI



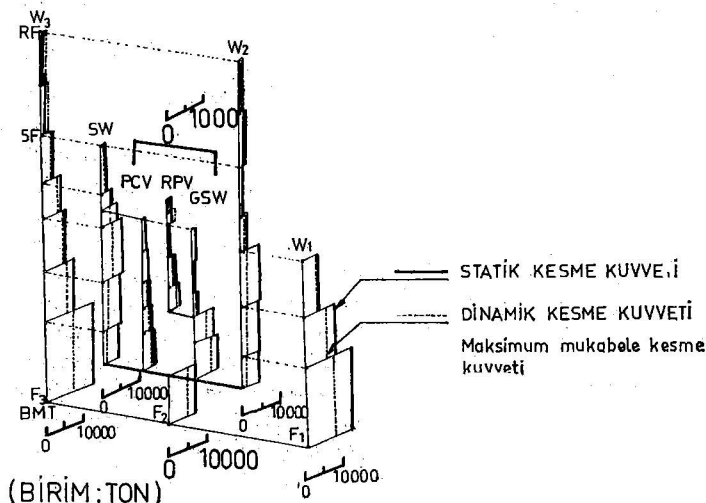
Şekil= 4 SÖNÜMLÜ TABİİ TİTREŞİM MODLARI



SEKİL:5 MAKİÜM MUKABELE İVMESİ



SEKİL:6 STATİK SİSMİK KATSAYI



SEKİL:7 STATİK VE DİNAMİK KESME KUVVETLERİNİN KARŞILAŞTIRILMASI.

Depremler Sırasında Zemin Hareketlerinin Önemli Özellikleri*

Yazar :
Prof. G. W. Housner **

Çeviren :
Ussal Z. Çapan ***

ÖZET :

Depremler sırasında meydana gelecek zemin hareketlerinin karakterlerinin bilinmesi Deprem Mühendisliğinin temel ve en önemli sorunudur. Zemin hareketleri, hem deprem dalgalarını meydana getiren fayın tipine hem de deprem dalgalarının katettiği jeolojik formasyonların cinsine bağlıdır. Zemin hareketine ait şiddetin karakteri, devam süresi, frekansı ve fayla ilgili bütün kantitelerin uzada dağılış birimlerinin saptanması gereklidir. Zemin hareketleriyle ilgili çalışmalarında, farklı şiddetlerdeki depremlerin çok çeşitli jeolojik karakterlere sahip zeminlerde neler meydana getireceğinin bulunmasına öncelik verilmelidir.

SYNOPSIS

Knowledge of the nature of earthquake ground motions that can be expected is of fundamental importance for earthquake engineering. Ground motions are affected by the type of faulting that generates the seismic waves, and by the geology traversed by the seismic waves. The nature of the amplitude, duration, and frequency content of the ground motion, and the spatial distribution of these quantities about the fault need to be better defined. Greater effort should be directed to studying ground motions produced by earthquakes of different magnitudes in a variety of geologic settings.

* 5. Dünya Deprem Mühendisliği Konferansı, Roma 1973

** California Teknoloji Enstitüsü, Pasadena, Kalifornia,

*** Hacettepe Üniversitesi, Yer Bilimleri Enstitüsü

GİRİŞ :

Deprem Mühendisliği, yapılarda hasar meydana getirecek şiddetetteki zemin titresimlerinin karakterleri hakkında tam ve doğru bilgiler elde etmeyi gerektirir ve böylece şiddetin pratik önem taşımadığı, kaynaktan çok uzak mesafelerdeki zemin titresimleri ile uğraşan Sismoloji bilimininden ayrılmış olur.

Deprem Mühendisliğinde zemin titresimleri hem pratik hemde bilimsel açıdan incelenir. Bilimsel açıdan inceleme : Sismik dalganın nasıl doğduğunu, içerisinde geçtiği zeminin ne şekilde etkilediğini ve b'na, köprü v.b. gibi yapıtları etkileyebilecek şiddetetteki zemin titresimlerinin karakterlerinin ne olduğunu öğrenmeyi hedef olarak almıştır. Bilimsel inceleme, pratik değerinin ne olabileceğini hiç araştırmadan, zemin titresimleri hakkında bilgi toplamayı amaçlar. Öte yandan, pratik açıdan inceleme, zemin titresimlerinin bir takım uygulamalara hedef etmesi amacıyla yapılır.

Deprem mühendisliğinde, şüphesiz pratik açıdan inceleme öncelik taşımaktadır. Bununla beraber çok yakında doğabilecek pratikteki problemleri çözümlemeye eldeki verilere göre bilimsel inceleme yolununmu yoksa pratik inceleme yolunun mu öncelik taşıdığını anlaşılması çok güç hatta imkansızdır. Sonuç olarak, araştırmayı bilimsel yola ağırlık vererek yürütmek, zamanla toplanacak bilgilerin daha sonra pratikte kullanılmak üzere işe yarayacağını beklemek en uygun yol olacaktır. Dolayısıyle deprem mühendisliğinin, depremler sırasındaki zemin hareketlerini hem bilimsel hemde pratik açıdan ele alması zorunlu olmaktadır.

Geçtiğimiz on yıl içinde yıkıcı zemin hareketleri hakkındaki bilgiler çok genişlemiş olmasına rağmen, daha öğrenilecek pek çok şey bulunmaktadır. Zemin titresimi problemi çok karmaşık bir problemdir ve depremlerin ne zaman meydana gelecekleri hakkında bilgiler henüz mükemmel olmaktan uzaktır. Konu, pratik açıdan ele alınınca, depremler sırasındaki zemin titresimlerinde üç temel problem olduğu görülecektir. Bunlar; Çeşitli magnitüdlerdeki depremlerin nerede ve ne zaman meydana gelebileceğini tahmin etmek, bir deprem mey-

dana geldiği anda bu depremin odak mekanizmasının karakterini kestirebilmek ve arz kabuğundan, yapının bulunduğu yerdeki zemin tabakalarına kadar yayılan deprem dalgalarının ne şekilde yayıldıklarının pratik analizlerini yapabilmek. Bu problemlerin çözümüne, olması beklenen zemin titreşimleri hakkında daha güvenilir tahminlerde bulunabilmek için ihtiyaç vardır. Bu gün igin, olması muhtemel zemin titreşimleri için en güvenilir tahminler, benzer koşullar altında kaydedilen zemin titreşimlerinin analizlerinden elde edilen sonuçlara dayanan tahminlerdir.

SİSMİK TARİHÇE ve JEOLOJİK DELİLLER :

Odak Mekanizması : Bilgilerimizdeki son gelişmeler, kuvvetli zemin titreşimlerine ait özelliklerin, sarsıntıyı meydana getiren fayın odak mekanizması ile büyük ölçüde ilgili olduğunu ortaya koymuştur. Bir deprem meydana geldiği zaman bunun etkileri, sismik dalgaları meydana getiren, faylanmanın tipi ve şekliyle ilgili olabilmektedir.

Aşağıdaki dört faylanma tipi, yıkıcı zemin titreşimlerinin incelenmesi sırasında ele alınması gerekenlerdir.

a) Düşük açılı, sıkıştırıcı (Compressive), bindirme faylanması (under thrust faulting) :

Deniz gibi yayılması (Kitaların kayması) teorisine göre, okyanusların altında bulunan bazı kabuk plakaları, yakınlardaki kıtasal plakalara doğru hareket etmekte ve bu plakaların altına dalmaktadır. Güney Amerika'nın batı kıyısı, Aleutian adaları, Alaskanın kuzey kıyıları ve Japonya'nın doğu kıyısı boyunca olduğu gibi. Bütün bu bölgelerde, deniz dibi plakasının kıtasal plakaya doğru hareketinden doğan sıkıştırıcı (Compressive) kuvvetler. Şekil - 1 de gösterildiği gibi bindirme fayları boyunca makaslama gerilmesi yenilmelerine (shearing, stress failure) yol açmaktadır.

1964 Alaska depremi, 1960 şili depremi bu tip düşük açılı bindirme faylanmasına örnek olarak gösterilebilir.

b) Sıkıştırıcı Bindirme Faylanması :

Bu tip faylanması sıkıştırıcı kuvvetler Şekil — 2 de gösterildiği gibi, eğimli bir fay boyunca makaslama gerilmesi ne sebep olmakta ve tavan bloku fay düzlemi boyunca yukarı doğru hareket etmektedir. 1971 San Fernando depremi bu tip bir faylanması nedeniyle meydana gelen depremlere örnektir.

c) Ekstensional Faylanması :

Eğimli bir fay üzerindeki kayma, yer kabuğunda ekstensional strain birikimi olan yerlerde de meydana gelebilmektedir. Bu tip depremlerde, fayın üst kısmında bulunan kayaçlar deprem sırasında, Şekil — 3 te gösterildiği gibi fay boyunca aşağı dalmak suretiyle yer değiştirirler.

Bu şekilde oluşan depremlere, Amerika'da Nevada Eyaleinde Dixie vadisindeki (1954) depremler, örnek olarak gösterebilir.

d) Doğrultu Atımlı Faylanması :

Kaliforniya'daki ünlü 1906 San Fransisco depremi San Andreas fayı üzerindeki doğrultu atımlı hareketlerin meydana getirdiği depremlere örnektir. Şekil — 4 de gösterildiği gibi, fayın iki kanadındaki relativ yerdeğiştirmeler, aşağı yukarı düşey konumda olan bir fay düzlemine dik yönde meydana gelmiştir.

Yukarıda sözü edilen tipteki faylanması ait ideal örnekler her zaman meydana gelmezler. Coğu durumlarda fay üzerindeki yerdeğiştirme, kompresif veya Extensiyonal faylanması hallerinde, sadece yukarı doğru veya fay boyunca aşağı doğru olmaz. Doğrultu atımlı faylanması ise relativ yerdeğiştirme her zaman mutlaka yataydır.

Coğu hallerde fay üzerindeki yerdeğiştirme fay izinin yüzeyine hem paralel hemde dik olan iki bilesene sahiptir. Ayrica fay boyunca kaymanın her zaman bir düzlem üzerinde olması gerekmekz. Kayma, düzgün olmayan bir yüzey üzerinde olabileceği gibi çatal faylanmaların (branch faulting) meydana gelmeside olagandır.

Geometrik farklılıklar nedeniyle, sarsıntıya sebep olan fay çevresindeki zemin yüzeyinin titresimini farklı şekillerdeki faylanmalara bağlı olarak önemli derece de farklılıklar gösterebilir. Fay atımları nedeniyle meydana gelen sismik dalgaların karakterleri aşağıdaki hususlara bağlı olacaktır.

a) Faylanma sırasında stress düşmeleri :

Fay hareketi sırasında kayaçlarda, faya dik yöndeki stress, S_1 başlangıç değerinden S_2 gibi daha düşük bir stress değerine doğru değişecek ve stress düşmesinin büyüklüğü ($S_1 - S_2$), meydana gelecek sismik dalgaların amplitüdleri üzerinde etkili olacaktır.

b) Toplam Fay Atımı :

Düşük mağnitüdteki bir depremin, fay boyunca küçük relatif yerdeğiştirmelere sebep olmasına karşı büyük mağnitüdlerdeki bir deprem fay boyunca büyük ve kalıcı yerdeğiştirmeler meydana getirecektir.

Büyük yerdeğiştirmeler, faylanma hareketinin daha uzun süreli ve uzun periyotlu dalgaların amplitüdlerinin daha büyük olduğuna delil olmaktadır.

c) Kayma Alanının Büyüklüğü :

Büyük mağnitüdü bir deprem, fay düzlemi boyunca oldukça geniş bir alanda büyük atımların meydana gelmesi ile oluşabilmektedir. Örneğin, 1964 Alaska depremi (Mağnitüd 8,4) 450 mil uzunlukta ve 20 - 30 mil genişlikte bir fay zonu üzerindeki kaymalar nedeniyle meydana gelmiştir. Bu deprem daha küçük bir alandaki fay hareketleri ile meydana gelen ve daha düşük mağnitüdü olan (6,5) 1971 San Fernando depremi ile karşılaştırılabilir. Bu depremde hareket, yaklaşık olarak uzunluğu 12 ve genişliği 12 mil olan bir fay üzerinde meydana gelmiştir. Bu iki depremdeki kayan fay alanları arasındaki büyük fark, meydana gelen zemin titresimleri arasında da önemli farklara sebep olacak niteliktedir.

d) Kayma Olayının Gelişmesi :

Deprem sırasında fay düzlemi tizerinde belli bir noktada (hiposantr) kayma veya kırılma meydana gelir ve hareket bu noktadan itibaren gelişir. Bu olay sırasında fayın iki yanındaki kayaçlar belli bir zaman süresi içerisinde biribirlerine göre relativ olarak yerdeğiştirirler ve yerdeğiştirme miktarı fay üzerindeki farklı noktalarda farklı farklıdır. Fay düzlemi üzerindeki çeşitli noktalardaki kayma olayı ve kaymanın ilerlemesi belli bir düzgünlik derecesine uygun olarak gelişir veya belli bir nokta da enerjinin serbest kalması ile meydana gelen hareket zamanla göre çok düzensiz olabilir. Açıkça anlaşılmaktadır ki eğer zemin titresimi kayma alanının relativ olarak düzgün bir şekilde ilerlemesiyle meydana gelmişse ve fay düzleminin bütün noktaları üzerinde düzgün bir kayma varsa bu tip zemin titresiminin karakteri, düzgün olmayan ilerleme ve kayma sınırının oldukça düzensiz ilerlemesi ile oluşan zemin titresiminin karakterinden çok farklı olacaktır.

Uzak mesafelerdeki kayıtlara göre büyük mağnitüdünlü olarak görülen bazı depremlerin, yakın civarda yapılan ölçmeler neticesinde aslında sık aralıklı ve hareketin düzenli olarak ilerlemediği bir çok küçük mağnitüdünlü depremler olduğu ortaya çıkmıştır.

e) Fayın Biçimi :

Küçük mağnitüdünlü, örneğin mağnitüdü 6'dan az olan, depremlerde faya ait kayma alanının genellikle bütün yönlerde yaklaşık olarak eşit boyutlara sahip olduğu tahmin edilmektedir. Bununla beraber bazı küçük mağnitüdünlü depremlerde, kayma alanının uzunluğu diğer boyutlara oranla çok daha fazla olabilmektedir. Örneğin, 5,6 mağnitüdünlü 1966 Parkfield depreminde, hareketin 20 mil uzunlığında ve 1 - 2 mil derinlikteki bir fay alanı üzerinde meydana geldiği tahmin edilmiştir. (Doğrultu atımlı fay.) Büyük mağnitüdünlü depremlerin, uzunluğu genişliğinden çok daha büyük olan fay alanları üzerinde meydana gelmesi beklenir. Kayma alanın boyutları, zemin titresimlerinin karakteri üzerinde, frekans özellikleri, titresimin devam süresi ve kuvvetli titresimlerle etkilenen yüzey alanı

nin büyüklüğü açılarından önemli etkiler meydana getirmektedir.

f) Fay Düzleminin Sahta yakınılığı :

Bir depremin merkez bölgelerinde, zemin titreşimleri üzerinde büyük etkiye sahip bir başka faylanma özelliği de fayın kayma alanının yer yüzeyine olan yakınlığıdır. Eğer, kaymış bir fayda fayın üst bloku yer yüzünden oldukça derinde bulunuyorsa bu halde meydana gelen zemin titreşimleri ile fayın üst blokunun yer yüzüne eristiği haldeki zemin titreşimleri şüphesiz aynı olmayacağındır. İkinci durumda, yer yüzeyi üzerindeki bir nokta, kuvvetli sismik dalgalar meydana getiren fay'a çok yakın olacaktır. Son zamanlarda oldukça küçük mağnitüdü depremlerde, fay düzleminin yer yüzeyine ulaştığı noktalarda yapılan ölçmelerde oldukça şaşırtıcı büyülükte ivme pikleri kaydedilmiştir. Örneğin, mağnitüdü 4,5 olan Bear Valley, California, 1972 depreminde yaklaşık olarak % 70 g'lik ivme pikleri ölçülmüştür. Yer sarsıntısı çok kısa sürmüştür ve ivme piklerine ait etki (pulse) çok dar olmuştur. Dolayısıyla zemin titreşimlerinin yapılar üzerindeki etkisi pek küçük olmuştur. Benzer sonuçlar 1972 Ancona İtalya, depremlerinde de elde edilmiştir. Önemle kaydetmek gereken nokta sudur; Fay düzlemine çok yakın yerlerde ivmelerin amplitüdleri, Depremin mağnitüdüinden daha fazla, faylanma olayının yüzeye yakınlığına bağlı kalmaktadır.

Bu gün faylanma mekanizması ve deprem dalgalarına ait genel özellikleri anlamakla beraber, zemin titreşimlerinin önceden tahmin edilebilmesi hakkındaki bilgilerimiz yetersiz kalmaktadır ve bu konuda daha fazla araştırmaya ihtiyaç vardır.

YAYILMA - YOLU (Travel - Path) JEOLOJİSİ :

Sismik dalgalar faydan itibaren işimsal şekilde yayılmaya başladıkları sonradan bir takım değişimlere uğrarlar. Bu değişimlerin bir kısmı sismik enerjinin faydan uzaklara doğru geometrik yayılması etkisiyle meydana gelir. Bu etki özellikle küçük mağnitüdü depremlerde ve faya yakın bölgelerde oldukça belirgindir. Bunlara ek olarak, dalgalar, odak-

tan dışa doğru yol alırlarken, çeşitli kayaçlar içersindeki enerji yutulmaları nedeniyle sönüme uğrarlar. Bu enerji kaybı faya yakın bölgelerde, geometrik sönüümdeki kadar önemli degilmiş gibi görülmektedir. Önemli olan bir başka özellikle sismik dalgalarda kayaçların rıjilikleri ve yoğunluklarının değişmesi ile meydana gelen dispersiyon olayıdır. Dispersiyon önemli bir faktör olarak görülmekte ve dolayısıyla belli bir uzaklıktaki zemin titresimi, yayılma - yolu jeolojisinin özellikle rini göstermektedir. Bu etki Şekil — 6 ve Şekil — 7 de gösterilmiştir. Bu örnekte, mağnitüdü 5,6 olan bir depremin meydana, getirdiği zemin titresimleri karakterinin, dalgalar 5 millik bir mesafe katettikten sonra nasıl değiştiği gösterilmektedir. Şekil — 6 dan görüleceği gibi, faya çok yakın bir bölgedeki zemin titresimi, faydaki yerdeğiştirme hareketinin devam süresini kuvvetle yansıtmasına rağmen, faydan 5,3 mil ötedeki zemin titresimi, faydaki yerdeğiştirme hareketinin özelliklerini yansıtmadmaktadır. Bu mesafede, zemin titresiminin karakteri muhtemelen çok heterogen karakterdeki bir yayılma - yolu jeolojisinin varlığını yansımaktadır.

Bir deprem sırasında bir alüvyon tabakası, çok çeşitli tipteki dalgalar tarafından katedilebilmekte ve bunlar çok çeşitli yayılma - yolu yönlerine sahip olabilmektedir. Maalesef, sismik dalgaların yumuşak satılık depoziteleri içerisindeki ilerleyişleri hakkında etraflı bilgilere sahip değiliz.

Bir tek ayrm 1962 Mexico city depreminden bir tek hâkim mod'la titreten yumuşak toprak tabakaları için yapılmıştır. Bu depremde, spektrum eğrileri zeminin tabii titresim periyoduna yakın değerlerde oldukça belirgin pikler göstermişlerdir. Ancak bu depremden başka depremlerde alüvyal depozitler üzerinde kaydedilen zemin hareketlerine ait spektrum eğrileri, Önemli sayılabilcek pikler vermemişlerdir. Muhtemelen böyle durumlarda zemin hareketi, titresimin bir tek modunda hâkim değildir. Pek çok küçük parçacıkların hakim titresim modlarının birleşmesi ile ortaya çıkan modlar da hakimdir.

Bazı durumlarda yüzeydeki zemin hareketi, muhtemelen derindeki jeolojik yapının özelliklerini yansıtması nedeniyle anomali gösterebilir. Örneğin, 1968 Borrego Springs, California depreminde olduğu gibi.

Bunlara ek olarak, aynı lokal jeolojik yapı üzerinde kurulmuş biribirine yakın iki istasyonda kaydedilen zemin hareketlerinin şiddetleri arasında oldukça büyük farklılıklar bulunduğu gözlenmiştir. Bu husus muhtemelen ortamda gezinmekte olan çok sayıdaki sismik dalgaların farklı şekilde yönlenmiş gezinme yollarının biribirine yakın iki noktaya ulaşırken farklı şekillerde üst üste çakışması nedeniyle meydana gelmektedir. Yayılmaya - yolu jeolojisini çok karmaşık karakterde oluşturan, zemin hareketlerinin incelenmesinde istatistiğin kullanılmasını gerektirir gibi görünmektedir. Jeolojik değişikliklerin etkisini pratik olarak tespit etmenin en iyi yolu zemin hareketlerinde istatistik kavramları kullanmak olacaktır.

Yakın istasyonlarda zemin titreşimleri üzerinde yayılma, yolu jeolojisini etkisini belirlemek için daha fazla araştırmalarla büyük ihtiyaç vardır. Simdilik, sismik dalgaların yakın istasyonlar arasında ne şekilde yol aldığılarındaki bilgilerimiz oldukça yetersiz kalmaktadır.

YÜZEYDEKİ ZEMİN TİTREŞİMLERİNİN KARAKTERİ :

Strong - motion akseleroografları esas olarak zemin ivmesinin devam süresini kaydeder. Ancak bazı durumlarda cihazın tabii frekansı çok düşük olabilir ve böyle durumlarda kayıt, cihazın özelliklerine göre düzeltilmelidir. Zemin hareketinin hızı ve yerdeğiştirmesi de kayıt üzerinden elde edilebilir ve dolayısıyla mühendislik amaçları için ihtiyaç duyulan çoğu bilgiler bu cihaz yardımıyle sağlanmış olur. Mukabele spektrumu ve Fourier amplitüd Spektrumu akseleroğramda toplanmış olan bazı bilgileri sergilemek için elverişli vasıtalardır. Mukabele spekturmumun avantajı yapılardaki titreşimleri belirtmemesidir. ve dolayısıyla söyle bir sonuç çıkmak mümkündür. Zemin titreşimlerinin ancak mukabele spektrumu üzerinde önemli bir etki yaratan özellikleri yapıların elastik titreşimleri için pratik öneme sahiptir.

Depremler sırasında kaydedilen zemin titreşimleri faydan uzaklaşıkça dispersiyon nedeniyle gittikçe söner. Yine disper-

siyon nedeniyle faydan olan uzaklık arttıkça zemin titreşimin devam süreside artar.

Titreşimin şiddeti ise faydan olan uzaklık arttıkça ve frekansı yüksek olan titreşimlerde düşük frekanslı titreşimle-re oranla daha hızlı bir şekilde sönme özelliği gösterir. Bu nedenle, uzun titreşim periyoduna sahip yüksek binalar faydan olan uzaklık arttıkça, kısa periyotlu ılıçak binalara oranla çok daha kuvvetli titreşimlerle titreşeceklerdir. Mühendislik amaçları için faya yakın bölgelerdeki hareket pratik bakımından çok önemlidir çünkü en büyük hasar buralarda olmaktadır.

Yapışal uygulamalar için en yüksek ivme darbesi ampli-tüdü kendi başına önem taşımamaktadır. Fakat ivme darbesinin etkilediği en büyük alan çok önemli olabilmektedir. Bu çeşit alanlar üzerinde ve özellikle bu alanlardaki en yüksek li-mitler ve istatistikî dağılımlar hakkında daha fazla araştırma yapılması gereklidir.

IDEAL AKSELEROGRAMLAR :

Zemin titreşimlerini meydana getiren faydaki yerdeğistir-melerin zemin hareketi kayıtlarında çok önemle belirlenmemesi için, faydan yeterli uzaklıktaki bir istasyonda, ani bir başlangıca, onu izleyen oldukça uniform bir titreşim şiddetine ve bunları takiben titreşimin dereceli bir şekilde gittikçe sönme-sine ihtiyaç vardır. Dolayısıyle bir takım düzenli fonksiyonlar (random functions) ortaya konularak yukarıdaki özellikler ifade edilebilir ve depremler sırasında zemin hareketlerinin bu çeşit fonksiyonlarla temsil edilmesi mümkün kılınabilir. Bu amaca uygun olarak genelikle, gerçek kayıtlardan elde edilen sekli ifâde eden ortalama Fourier Spektrumu ile işe başlanır. Bu spektrum başlangıç olarak verilen beyaz gürültü (White noise) $W(t)$ nin bir kısmının filtre edilmesi ile elde edilen $f(t)$ den meydana gelmektedir. Sürece, bir başlangıç, orta ve son kısımla kazandırmak için filtre edilmiş fonksiyon, amplitüd fonksiyonu ile çarpılır. $f(t) \cdot A(t) = a(t)$ ve elde edilen taklit akselerogram $a(t)$ ye daha önce tanımlanmış ortalama Fourier Spektrumu veya ortalama mukabele Spektrumu ihti-va eden bir topluluktan alınmış örnek gözüyle bakılır.

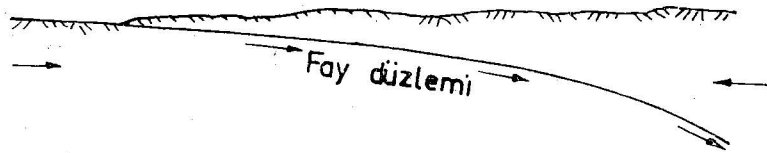
Bu metotla yaratılan deprem zemin hareketleri mühendi-

se belli bir uzaklıkta ve belli bir magnitüde sahip depremi temsil edecek idealleştirilmiş zemin titresimi modelini yapma imkanını vermektedir. Ek olarak mühendis bu şekilde özellikleri belirtmiş depremlere ait pek çok zemin titresimi modeli yaratıbmekte ve istatistikî değişimleri hesaba katarak mukabеле hesapları yapabilmektedir.

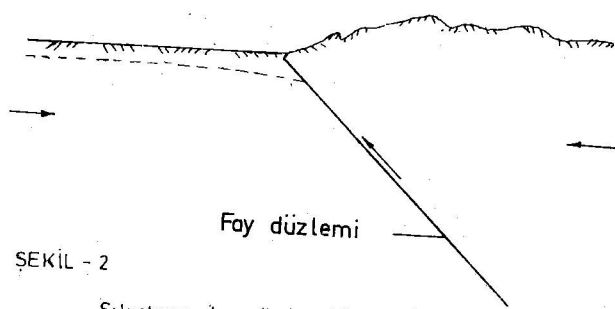
Bununla beraber, gerçek zemin hareketlerinin idealleştirilmiş olanlardan oldukça farklı olduğunu unutmamak gereklidir. Gerçek olanlar faylanma mekanizmasına ait detayları veya sismik dalgaların geçtiği yerlerdeki jeolojik yapının etkilerini yansıtabilirler. Dolayısıyle mühendisin mümkün olduğu kadar tecrübesini artırmak ve zemin titresimlerinin farklı karakteristik özelliklerini öğrenmesini sağlamak amacıyla çok çeşitli koşullar altında oluşan yıkıcı depremlere ait kayıtların tutulmasına devam edilmesi mutlaka gereklidir.

SONUÇLAR :

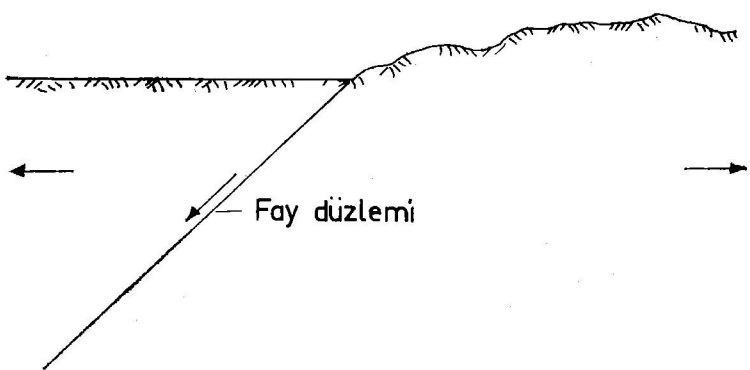
Mühendislik açısından zemin titresimlerinin karakteri hakkında bilgi toplarken bu bilgiyi depremin meydana geliş frekanrı hakkındaki bilgilerle birleştirmek büyük önem taşımaktadır. Bu amacın gerçekleşmesi için çeşitli jeolojik yapılar üzerinde çeşitli magnitüdlere sahip pek çok depreme ait zemin titresimlerinin kaydedilmesi gereklidir. Aynı zamanda kayıtlar, depreme sebep olan fayı çevreleyen ve faya değişik uzaklıklarda bulunan çok sayıda istasyondan alınmalıdır. Bu hiçbir zaman, bugün için başarılı bir şekilde deprem mühendisliği yapamıya cağıımız anlamına alınmamalıdır. Bugünkü bilgilerimiz mühendislik sorularının çoğu için yeterlidir. Ancak bütün soruları cevaplandırmak mümkün olmamaktadır ve bu cevaplanmadığımız sorular toplum emniyeti ve ekonomi için özel bir önem taşıyabilirler.



ŞEKİL - 1 Sıkıştırma kuvvetleri etkisi ile meydana gelen bir bindirme faylanması. Örnek, 27-3-1964 Alaska depreminden faylanma.



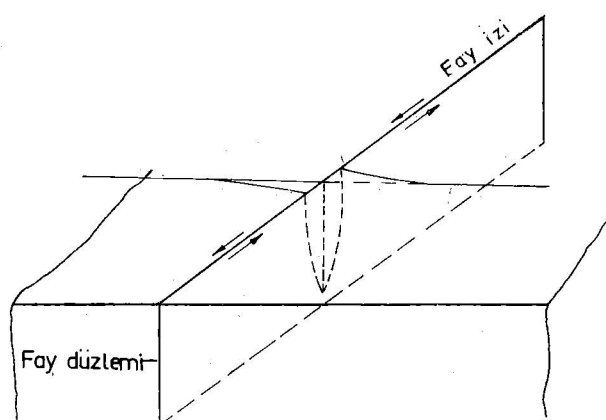
ŞEKİL - 2 Sıkıştırma kuvvetleri etkisi ile oluşan bindirme fayı. Örnek, 9 Şubat 1971 San Fernando depremi.



ŞEKİL - 3

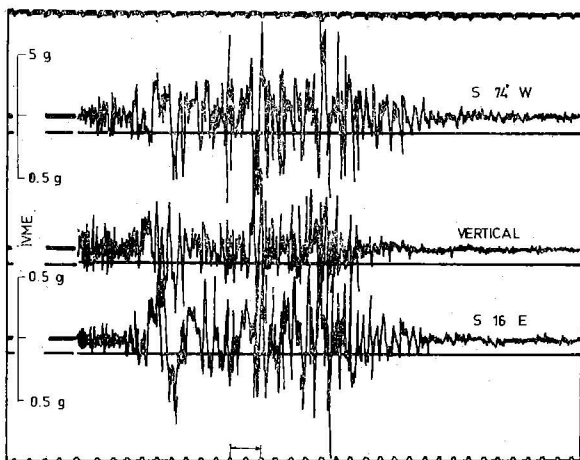
Extensional streyner etkisi ile oluşan Faylanma.

Örnek , 16 Aralık 1954 Nevada Depremi Dixie Valley piki.



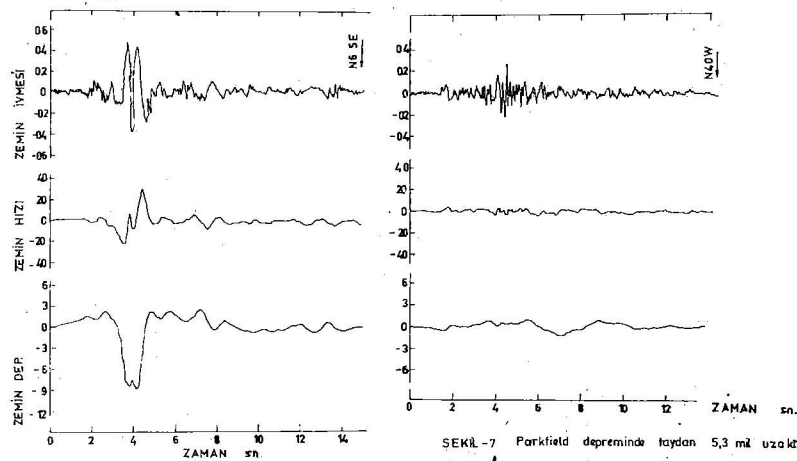
ŞEKİL - 4

Düşey bir fay düzlemi üzerinde meydana gelen doğrultu atımlı Faylanma . Örnek , 18 Nisan 1906 California , depremi San Andreas Fayı.



ŞEKİL-5

9 Şubat 1971 San Fernando depremi, Pacoima barajındaki ivme kaydı.



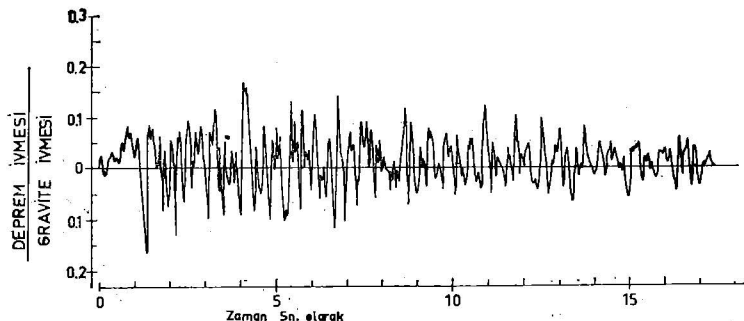
ŞEKİL-6

17 Haziran 1966 Parkfield depremi (magnitüd: 5,6)

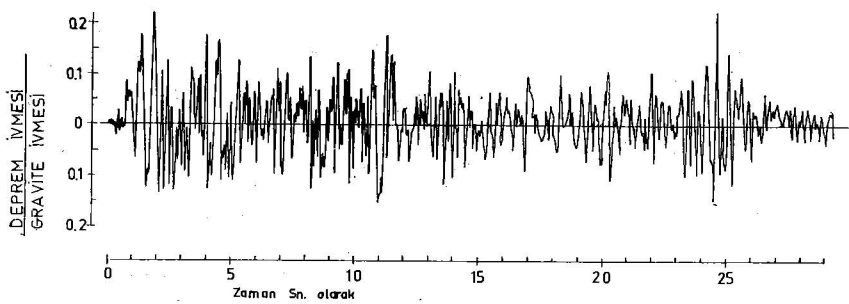
srasında doğrultu örtülü fayın yüzeydeki izinden 200 ft.

uzakta kaydedilen N. 65 E Akselerogramı.

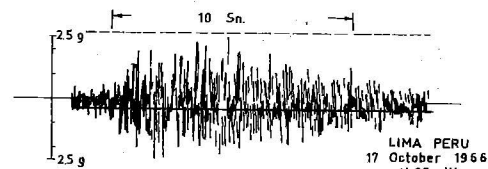
ŞEKİL-7 Parkfield depreminden faydan 5,3 mil uzakta kaydedilen N. 50 E akselerogramı, Şekil 6. ve Şekil 7 de kayıtlar fay izine dik hattar üzerinde alıcı edilmişdir.



SEKİL - 8 21 Haziran 1952' Tebahapi depreminde faydan 25 mil uzaklıktaki Tatt, California'da kaydedilen S. 52 E akselerogramu (magnitüd: 7,6)

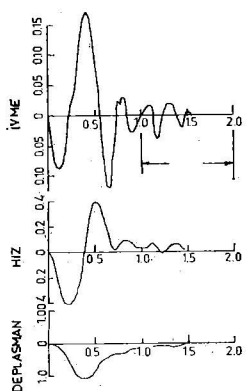


SEKİL - 9 18 Mayıs 1940 El Centro, California depreminde doğrultu alımı faydan 4 mil uzakta kaydedilen E - W Akselerogramı. (Mag. 7,1)



LIMA PERU
17 October 1966
N 82 W

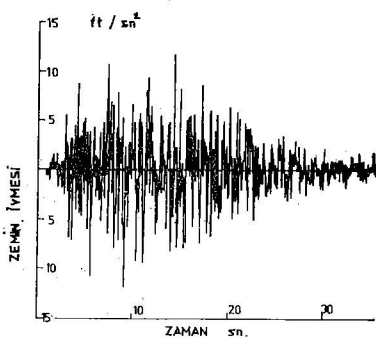
SEKİL - 10 17 Ekim 1966 Lima, Peru depremine ait N 82 W Akselerogramı (Magnitüd: 7,5)
Bu haraket muhtemelen jeolojik şartlar nedeniyle daha yüksek frekanslara sahiptir.



ŞEKİL - 11

18 Mart 1957, California Port Hueneme depremi sırasında N-S istikametinde kaydedilmiş

Strong-motion kaydı.



ŞEKİL - 12

Digital computer ve filtre edilerek hazırlanan örnek ivme kayıt diyagramı.

Mikro Bölgelendirme için Jeofizik Mühendisliği

Araştırma Teknikleri (*)

Yazan :

V. J. Murphy **

Çeviren :

Ersen BUKET ***

ÖZET :

Mikro bölgelendirme için uygun jeofizik metodları; Sismik Refraksiyon, Sismik Refleksiyon ve yerinde (in-situ) Kuyu Testi ölçülerini kapsar. Pratikte kullanma yeri ve organizasyon gibi değişik faktörlerin mevcudiyeti göz önüne alınırsa, dünya üzerinde en çok kullanılan metod, sismik refraksiyon metodudur. Özellikle P-dalga hızı ölçümü, tabaka kalınlığı ölçümü, ve ana kaya derinliği ölçümü bu metodun kapsamına girmektedir. Yerleşme bölgelerinde açılan küçük deliklerde patlayıcı madde kullanmak veya sinyalleri büyütülmüş düşük enerjili yüzey vibratörleri kullanmak suretiyle bu metod tatbik edilebilir.

S - dalga hızlarının ölçümü ise, özellikle zemin dinamiğini ilgilenen konularda, Japonya'da ve Amerika'da son yıllarda yaygın olarak kullanılan bir metottur. S - dalga hızlarının değişimi ∓ 5000 ft/Sn lik P-dalga hızı aralığında, özellikle materyel tayini için geniş ölçüde kullanılmaktadır.

En son oluşan Caracas, San Fernando ve çok sayıda tekrarlanan Matsushiro depremleri sismik metodların uygulanmasına direkt ko-reasyon örnekleri olarak gösterilebilirler.

Bir sahayı mikro bölgelendirmek için yapılması gereken işlemler şunlardır;

1 — Sahadan jeolojisine göre sismik refraksiyon hatları grit sistemi tespit edilir,

2 — S, dalga hızı değerleri, hem refraksiyon hemde kuyu testleri metotları ile yerinde ölçülür.

Elde edilen sismik veriler, dinamik analizlerde kullanılacak hale getirilmelidir, zira sismik ölçülerin alındığı strain seviyeleri, çok şiddetli depremlerden beklenen strain seviyelerinden düşük olacaktır.

* Uluslararası Mikrozon konferansı, seattle - Washington - Kasım - 1972

** Weston jeofizik Mühendisliği Şirketi.

*** Hacettepe Üniversitesi Yer Bilimleri Enstitüsü

1 — GİRİŞ :

Pek çok sayıda jeofiziksel araştırma metot ve teknikleri mevcut olduğu halde (Ref. 1 — 13) bunların mikrobölgelenmeye uygulanabilimeleri için elde edilen verilerin, mühendislerin ve jeologların ihtiyacı olan ve ayrıca onların itimat edebileceği seviyede olmaları gereklidir. Ayrıca;

- 1 — Tabaka kalınlıkları,
- 2 — Derinlik,
- 3 — Dalga hızları ve dinamik modül değerleri,
- 4 — Faylar,
- 5 — Yukarıdakileri ihtiva eden bir harita,
- 6 — Profil,

mühendis ve jeologlar tarafından kullanılmak üzere hazır bulundurulmalıdır. Sismik ölçülere referans teşkil eden bu veriler muhtelif çalışmaçilar tarafından tekrar tekrar gözden geçirilmelidir (Ref. 14 — 17).

Keza muhtelif derinliklerdeki her tabaka için, yerinde (in - situ) elastik modül değerleri elde edilmelidir.

Surası açıkça anlaşılmalıdır ki, mikrobölgelendirme çalışmaları için zeminin ve kayacın mühendislik ile ilgili tüm özelilikleri kullanılmalıdır, bu sebep ile seçilen jeofizik metotları, mühendislik açısından önemli olan parametreleri ölçen metotlar olmalıdır. Ayrıca bu metotlar zeminin ve kayacın dinamik özellikleri ile de yakından ilgili olmalıdır. Sismik metotlar sadece bu verilere ihtiyaç gösterirler. Bir zemin dinamiği makalesi incelendiğinde; içinde «dalga hızı» ve «shear modülü» deyimlerinin sık sık geçtiği görülür.

Diğer jeofiziksel metodlardan gravite metodu, manyetik metodlar, elektrik metodları, ve radyoaktivite metodu mikrobölgelendirme haricinde sadece özel bir mühendislik problemi için kullanılabilirler. Fakat bunların içinde rezistivite metodu kuru, nemli ve sulu materyelin elektriksel kondüktivite farklılarını ortaya koyduğu için yeraltı suyu çalışmalarında faydalı olmaktadır.

Jeofizik mühendisliği, mikrobölgelendirme için diğer metodlar içinde en uygun ve yaygın olanıdır. Bu metodlar nükleer enerji üretim tesislerinin kurulması için yer tayini maksadı ile yapılan mikrobölgelendirme çalışmalarında kullanılmıştır. Bu

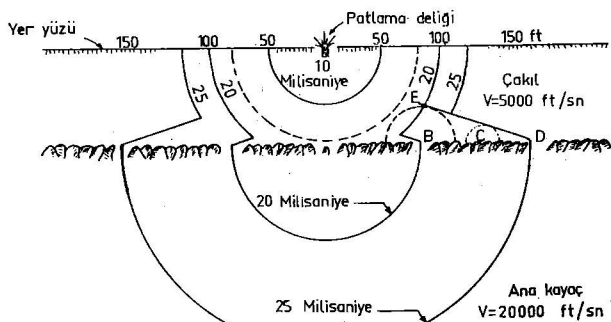
tip yerleşme merkezlerinin yer tayini için geniş sahalarda çalışma yapmak gereklidir. Şehir merkezlerinin tespiti maksadı ile yapılan mikrobölgelendirme çalışmaları da aynı özelliğe sahip çalışmalarlardır.

2 — MİKROBÖLGELENDİRME ÇALIŞMALARI İÇİN TEMEL SİSMİK ESASLAR :

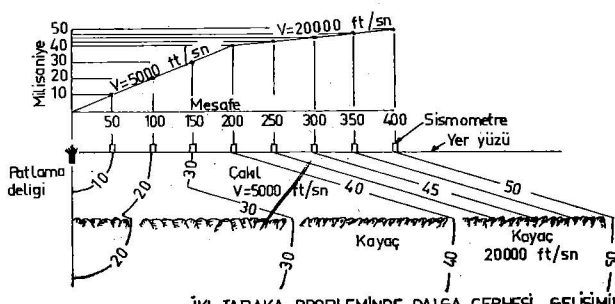
a) Metotlar ve Aletler :

Yüzey Metotları :

Mikrobölgelendirme çalışmaları için temel sismik yüzey metotları; refraksiyon ve refleksiyon teknikleridir. Refleksiyon tekniği daha az kullanılır. İsimlerinden de anlaşılacağı gibi bu teknikler, sismik dalgaların yansıması veya kırılması esasına dayanırlar. Refraksiyon tekniği, dalga hızının direkt olarak hesaplanması için çok kullanışlıdır (Şekil - 1). Jeofizik ve mühendislik dergilerinde her iki metoda ait açıklamalara ve verilere sık sık rastlanabilir. (Ref. 6, 9, 11)



ŞEKİL.1 İki tabaka probleminde dalga cephesi gelişimi

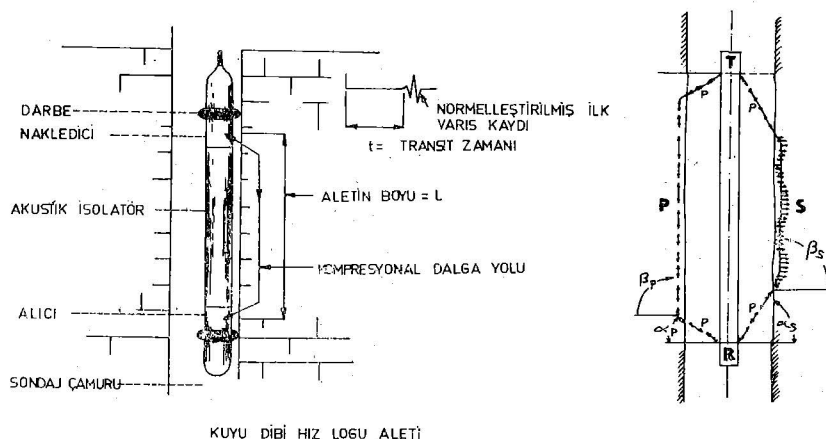


ŞEKİL.1
Linehan (Ref. 45)

İKİ TABAKA PROBLEMİNDE DALGA CEPHESİ GELİŞİMİN ÇİZİMİ

Kuyu Testi Metotları :

Petrol aramalarında ve derin kuyularda genellikle sismik hız logu metodu kullanılır (Ref. 25, 28 ve Şekil 2). Son yıllarda kuyu testi tekniği bazı adaptasyonlarla sig mühendislik problemlerine tatbik edilmektedir. (Ref. 38, 51, 53, 55).



ŞEKİL 2 Geyer (Ref)-25

Aletler ve Enerji Kaynakları :

Jeofiziksel metodlarda kullanılan aletler zaman gittikçe büyük bir hızla gelişmeler göstermektedir. Jeofizik mühendisliği ile ilgili tüm aletler önceleri yüksek maliyetli petrol arama aletleri şeklinde planlanmış ve imal edilmiştir. Sonraları bu aletlerin muhtelif değişik şekilleri planlanmış ve teknolojideki gelişmelere paralel olarak daha kullanışlı, daha portatif hale getirilmiş, ayrıca maliyetleri de önemli ölçüde düşürülmüştür.

Filtre ve otomatik seçici olarak kullanılabilen dijital kayıtlar ve manyetik kayıt aletlerinin hem kara hemde sualtı saha çalışmaları için kolaylıkla tedarik edilmesi mümkündür. Dektörler, hızla karşı hassas olup, hareket eden birer bobin şeklinde dirler. Enerji kaynakları çok çeşitlidir; Dinamit bir zamanlar bütün dünyada tercih edilen bir patlayıcı madde idi, fakat bugün muhtelif tipte enerji kaynakları kullanılmaktadır. Bunlardan birkaçı; çeşitli büyüklükteki ağırlıkların zemine düşürülmesi, çekiciler, havaya atılan silah, vibroseis

(Continental Oil Co. tarafından kullanılmaktadır), patlayıcı gazlar v.s. dir (Ref. - 18 — 30).

Hatların, Dedektörlerin ve Deliklerin Yerleştirilmesi :

Bir sahanın mikrobölgelendirilebilmesi için jeolojik şart lara uygun bir grit sistemi seçilmelidir. Bu sistem seçilirken maliyeti de dikkatle hesaplanmalıdır. Belli bir program seçildikten sonra, tipik jeolojik kayaçlar tespit edilir ve buralarдан karakteristik jeofizik verileri elde edilir.

Genellikle, jeofiziksel mikrobölgelendirme, nüfus yoğunluğu fazla olan bölgelerde yapılır (Ref. 45 a, 62, 63). Bu nedenle programın uygulanması sırasında dinamit kullanmak sakincalı olup, daha düşük enerjili titreşim kaynakları kullanılmalıdır (Ref. 21, 24, 50). Sinyal çoğaltıcıların son zamanlardaki gelişmeleri de şehir şartlarına göre uygulama olanaklarını daha da arttırmıştır.

Şehirlerde trafik girişi, inşaatlar, çeşitli ihtiyaçlar için açılan ve tekrar doldurulan çukurlar da ayrı sorunlar olarak ortaya çıkmaktadır.

b) Metotların Sınırlandırılması :

Genel Görüşler :

Her sismik metot uygulaması sadece bir fiziksel parametrenin ölçülmesini kapsar ki o da «zaman»dır. Bir dalmanın veya bir dalga grubunun olduğu yerden detektöre (jeofona) kadar gelmesi için geçen zaman, sismik metodlarda çok önemli bir rol oynar. Zaman milisaniye cinsinden, mesafe ise 10 - 20 veya birkaç yüz ft. cinsinden ölçülür. Her hız ölçümlünde doğruluk derecesi yüzde birkaç mertebesinde olmalıdır. Kuyu logu ölçülerinde, alıcı ile kaynak arasında geçen zaman farkı mikrosaniye cinsinden ifade edilmelidir. (Ref. 25). Bu duruma göre kısa mesafe aralığı her zaman kısa zaman aralığına tekabül etmez. Kaynağa karşı tek alıcı mevcut ise aralığı tam ve doğru olarak tespit etme imkanı mevcut olmayabilir. Fakat birkaç alıcı mevcut ise, doğru netice alma olanağı daha fazladır. Tek alıcı ile çalışıldığında dalga tipinin tespiti, tek yönlü enerji kaynağı kullanmak sureti ile mümkündür.

Detektörler arasındaki mesafe biliniyorsa, hız değerleri direkt dalga yolu veya kırılmış dalga yolu teknikleri ile tayin edilebilir. Keza bu görüşe göre mesafe dikkate alınmaksızın, bir dalganın her kayıt noktasına aynı fazda yayılımını temin etmek için bir ilksel enerji oluşumu yeterlidir.

Sismik metot uygulamasında zaman ölçümü tek parametreyi teşkil ettiginden sismik çalışmalar ve inşaat mühendisliği projelerine uygulanan diğer jeofizik metotları ile ilgili problemlerin bir kısmını izah etmek güç olacaktır. (Ref. 33)

Değerlendirme faktörünün de önemli olduğunu unutmak gereklidir. Son zamanlarda sismik refraksiyon ve derin refleksiyon verilerinin değerlendirilmesi elektronik komputerler vasıtası ile yapılmaktadır (Ref. 34).

Dalgaların doğal şekillerinden istifade edilerek, ileride sismik veri kayıtlarının subjektif değerlendirmelerine de ihtiyaç hasıl olacaktır. (Özellikle shear dalgalarının ayrimı ve ölçümü ile ilgili olarak.)

Teorik Sınırlamalar :

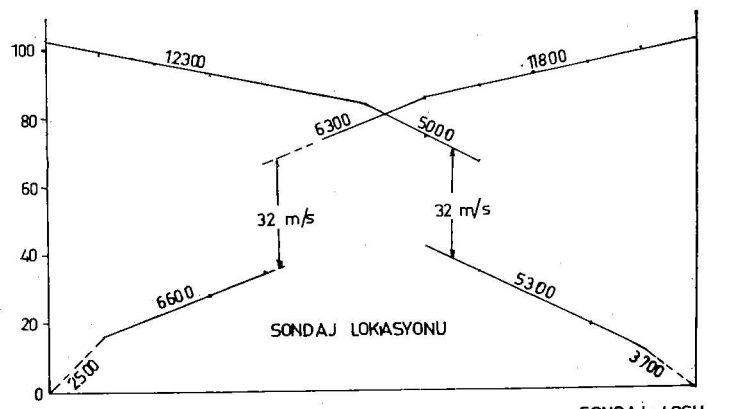
Sismik refraksiyon ve kuyu testi uygulamalarında tabaka kalınlığı değerinin, hız değerine oranı bazı tabakalar için elde edilemez. Ayrıca, sadece belli bir derinliğe kadar bu değer elde edilebilir (Ref. 31, 32, 35). Hız terslenmesi (inversion) de her zaman karşılaşılan bir diğer güçlüğündür. Ref. 31, (Şekil 3).

Sismik refleksiyon uygulamasında ise, pek çok ikincil yansımış enerjisi ve sağlam sinyallerin biribirini tutmaması nedeni ile sağlam derinliklerden elde edilen bilgiler kullanıssızdır.

Sismik özellikler arasında da bir zatlık bulunmazsa, mütterellerin mühendislik açısından biribirlerinden ayrimı güçlesir.

Pratik Sınırlamalar :

Jeofonların yerleri ve hat uzunlukları sahanın şartlarına göre uygun olmalıdır. Jeofonları çok kısa aralıklarla yerlesitmek veya hatları uzun tutmak sureti ile saha şartlarına uygun bir yerleşme sağlanmalıdır. Tek kanallı veya 12, 24, 48



SONDAJ LOKASYONU

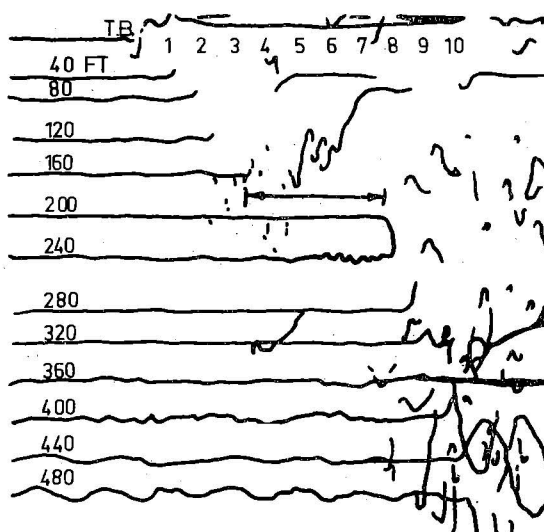
SONDAJ LOGU

0 50 100

DÜŞÜK HIZ TABAKASININ
ALTINDAKI TAHMİNİ HIZ
(KUM VE ÇAKIL)
3000 ft/sn

ANAKAYAÇ ÜSTÜNDEKİ MALZEMEDE
HIZ TERSLENMESİ

METERYAL	KALINLIK
BATAKLIK (TURBA)	1
ÇAKILLI KIL	6
HAREKETLİ KUM	6
ÇAKIL	3
KUM - ÇAKIL	52
ÇAKILLI KIL	58
SEYL	



ŞEKİL .3

kanallı sismograf sistemleri için jeofonların sayılarının ve yerlerinin tespiti de önemlidir. Belli uzunlukta bir profil için belli sayıda jeofona ihtiyaç vardır.

Enerji kaynakları da fazla tahrip edici seviyede olmamalıdır. Nüfusun yoğun olduğu yerleşme merkezlerinde büyük enerjili patlayıcılar yerine kontrol edilebilen vibratörler, düşen ağırlıklar çekiçler veya bunlara benzer patlayıcı olmayan kaynaklar tercih edilmelidir. Bu tip düşük enerji kaynakları için verileri çoğaltan aletlere de ihtiyaç vardır.

Sismik verileri değerlendiren kimsenin bu konuda bilgili ve tecrübeli olması gereklidir. Bu şahıs, değerlendirilmiş ve yorumlanmış verileri jeolog ve mühendislere doğru olarak aktarabilmelidir.

Hız değerlerinden faydalananlarak materyel tayini yapıldığında şu ayrim ortaya çıkar; P -- dalgaları için 10 000 ft/sn den büyük, S -- dalgaları için de 4000 ft/Sn den büyük hızlar veren materyel «kayaç» olarak sınıflandırılır. Düşük hız değeri elde edildiğinde, materyeli isimlendirmek için kuyu testi verilerine ihtiyaç vardır. 5000 ft/Sn P -- dalga hızı değerine sahip bir materyel, yumuşak kil ile iri taneli çakıl arasında bir zemine tekabül eder.

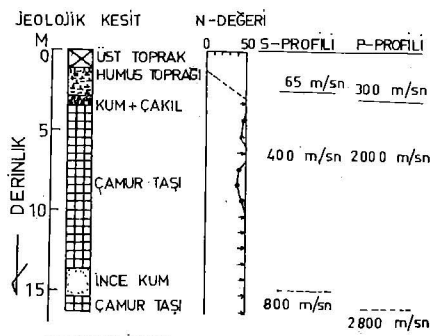
c) Korelasyon için gereken şartlar :

Sondajlar ve Test Kuyuları :

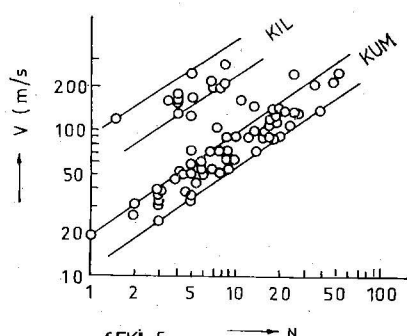
Kuyu testleri sismik verilerin korelasyonu ve kontrolu için uygun metotlardır. Fakat kalibrasyon için bir standart teşkil edemezler. Çok zaman, elde edilen jeofizik verileri, kuyu testi verilerini tutmaz. Böyle bir hal vukuunda daha detaylı araştırmalarla farkın nedeni ve neden ileri geldiğini saptamak gereklidir (Ref. 36).

UYGULAMALAR :

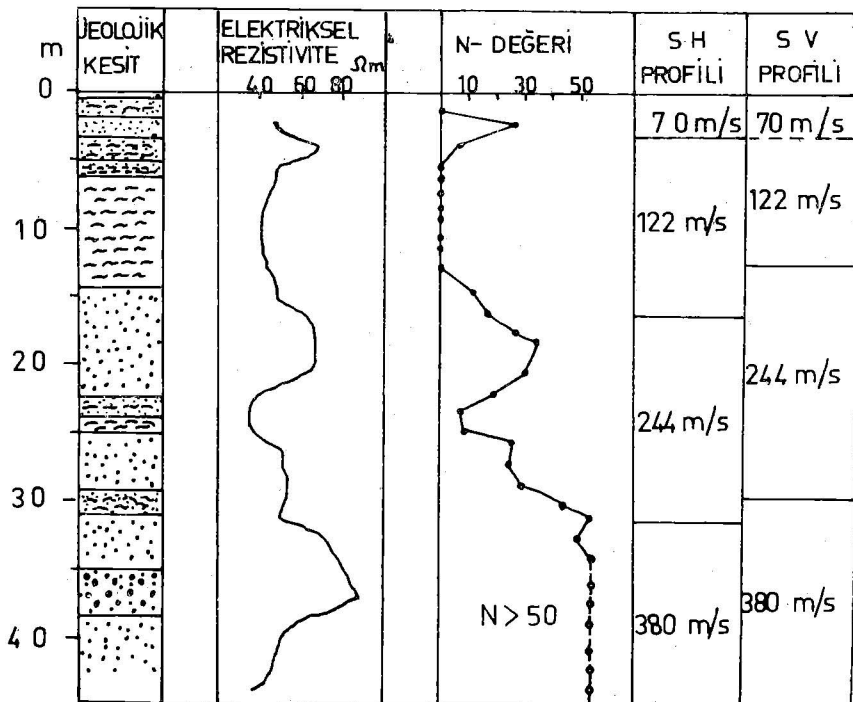
Mikrobölgelendirme ile ilgilenen bir jeofizikçinin, sismik çalışmaları sırasında dikkat etmesi gereken hususlara aşağıda deñinlmistir (Ref. 37 — 59).



SEKİL.4



SEKİL.5
STANDART PENETRASYON TESTİNDE
N-DEĞERİ VE SHEAR DALGA HIZI



S DALGALARI İÇİN YERALTı YAPISI
SEKİL.6

Bunlardan en önemli olanları ilk ikisidir. Numunelere ait veriler Şekil 4, 5 ve 6 da gösterilmiştir.

a) Tabaka kalınlıkları ve ana kayaca kadar olan derinlik:

Bu parametrelerin tayini için normal refraksiyon metodu tabbik edilir. Hız değerlerinin tespit edilmesi için aralarında yeterli derecede zıtlık olmalıdır. Ayrıca tabakalar yeterli kalınlığa sahip olmalıdır. Bunlar metodun kapsamına giren ana prensiplerdir. Hız ve tabaka kalınlıkları arasında 2 ye 1 oran, tercih edilir, fakat tabakalanma düzgün ise az zıtlıkta olan kayaçlar içinde ölçme olanağı mevcuttur (Ref. 45 — 45a).

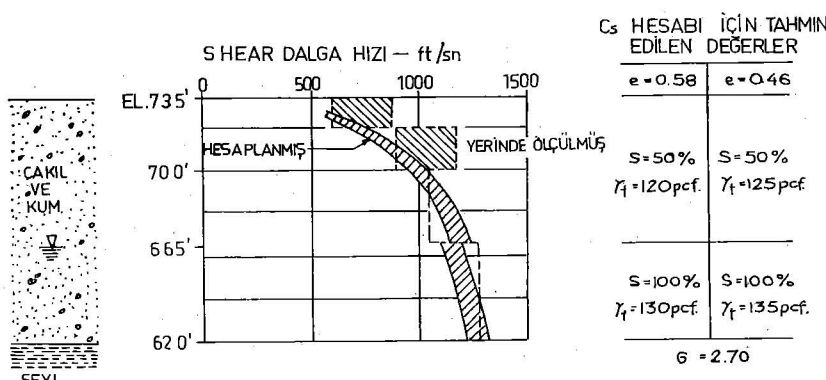
Mikrobölgelendirme sırasında sismik çalışma için ilk kade sahanın her tarafında kayacın derinliğini tespit etmektir. Eğer yeterli sayıda veri elde edilirse, profillerden istifade edilerek ana kayaç kontur haritaları hazırlanır. Keza düşük hız anomalileri, bütün detayları ile tespit edilmelidir. (Şekil 3).

b) Hız Değerleri — P ve S — dalgaları :

Ana kayaca kadar olan derinlik ve tabaka kalınlıkları ölçüürken P — dalga hızlarında tayin edilmelidir. Bazı hallerde S - dalga hızlarında aynı zamanda ölçülür. Mamafih, bütün hız değerleri genel olarak uzun dalga yollarından elde edilen ortalaması verilere tekabül ederler. Eğer özellikle ana kayaç 100 ft. (30 m.) den daha derinde ise ve üzerinde birkaç toprak tabakası varsa, yukarıda izah edilen durum ile karşılaşılır. Bu takdirde jeofonlar 400 ft (120 m.) den daha büyük aralıklarla yerleştirilir ve bu mesafelere göre hız ortalamaları alınır.

Jeofonların kısa mesafelerle dağılımı ile \mp 50 ft (\mp 15 m.) derinliğe kadar sıg veriler tam ve doğru olarak elde edilebilirler. Burada zemin üstüne yerleştirilen ve istenilen yöne enerji yayan kaynaklarla bu yöneki enerjiyi kaydedebilen jeofonlar kullanılır. Eğer dinamik analizler için \mp 50 ft den daha fazla derinliklerden önemli veriler elde edilirse, yerinde (in-situ) ölçü almak üzere kuyu testleri yapmak gereklidir. Veriler, kuyu üstü, kuyu dibi ve kuyu yanısı çalışmaları ile elde

edilirler. Kuyu yani tekniği, diğerlerine oranla her zaman tercih edilir (Ref. 47, 51) Şekil 7.8. Fakat kuyu sayısının fazla olması nedeni ile mikrobölgelendirme çalışmalarının daha geniş bir alana uygulanması ekonomik açıdan kısıtlanır. Son zamanlarda yapılan yaynlarda zemin değerlerine ait verilere geniş çapta rastlamak mümkündür. Aşağıda en son yaynlardan alınan birkaç korelasyon değeri verilmiştir (Ref. 48)



ŞEKİL 7.
NEHIR TERAS BİRİKİNTİLERİNDE SHEAR DALGA HIZI

Korelasyon Tablosu :

48 No. lu Referansa bakınız.

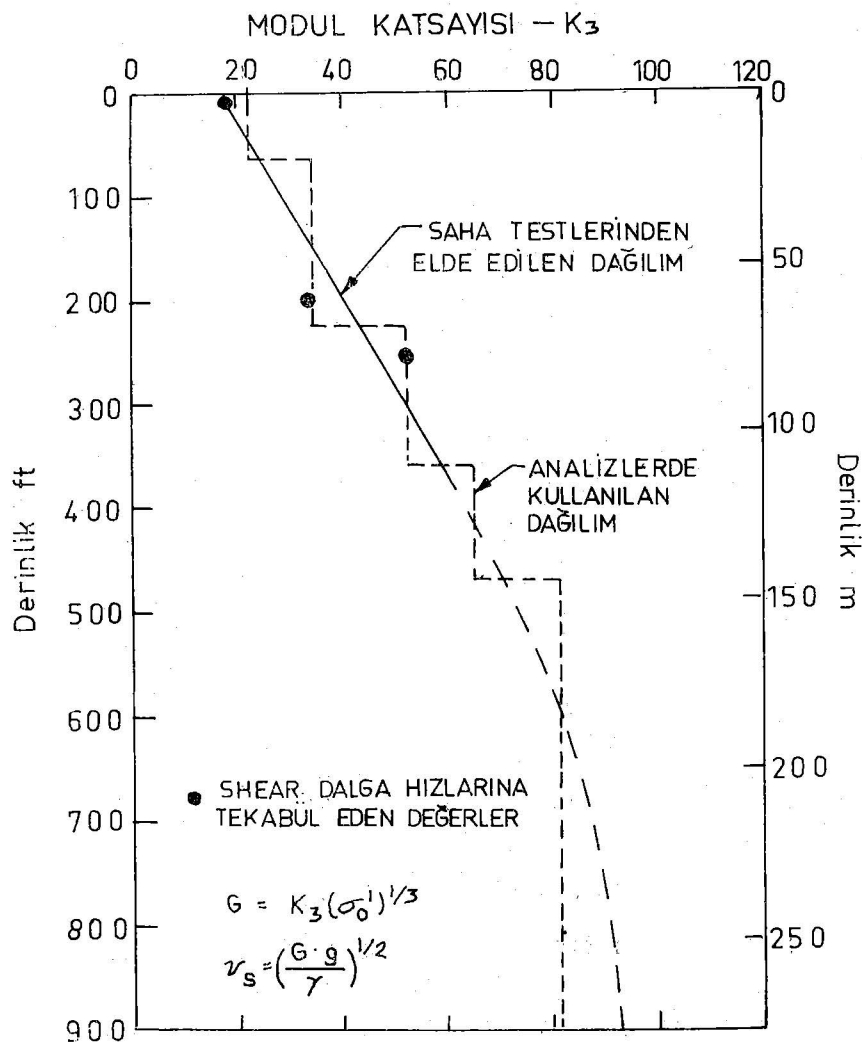
Yumuşak Zemin $V_s < 600 \text{ m/Sn}$ veya (2000 ft/sn)

Sağlam Zemin $V_s \geq 600 \text{ m/Sn}$ veya (2000 ft/sn)

Kaya $V_s > 1800 \text{ m/Sn}$ veya (6000 ft/sn)

Böyle bir sınıflama, bir veriler dizisini değerlendirirken çok faydalı olmaktadır. Örneğin, Tokyo için şu değerler bulunmuştur. (Ref. 38).

Materyel	V_s	V_p
Yüzey toprağı ve humus	80 m/Sn	300 m/Sn
Çamurtaşısı (Ince kum tabakalı)	420m/Sn	2000 m/Sn



SHEAR MODÜLÜNÜN DERİNLİKLE DEĞİŞİMİ
ŞEKİL 8

Çamurtaşı «kayaç» tan ziyade «toprak» olarak mütalaa edilmelidir.

c) Modül Değerleri (E ve G) ve Dinamik Sabitler :

Zemin dinamiği ile ilgili her yayında, sismik hız değerleri modülleri mevcuttur. Dinamik Sabitler de mühendislerin değerlendirdiği hareketin özel moduna göre tayin edilir.

$$E = V_p^2 d \frac{(1-2\sigma)(1+\sigma)}{(1-\sigma)}$$

$$G = V_s^2 d$$

$$\sigma = \frac{\frac{1}{2} - \left(\frac{V_s}{V_p} \right)^2}{1 - \left(\frac{V_s}{V_p} \right)^2}$$

V_p = "P" Dalga hızı

V_s = "S" Dalga hızı

E = Young modülü

G = Shear modülü

d = Yoğunluk

σ = Poisson oranı

d) Su Tablosu :

Sismik ölçütler özellikle su tablosının değerlendirilmesinde çok faydalı olmaktadır. (Ref. 56 - 59). Doymuş ortama tekabül eden hız değerleri arasında çok az bir tutarsızlık olmasına rağmen genellikle ∓ 5000 ft/Sn. lik P — dalga hızı % 100 doygunluk oranına tekabül etmektedir. Bu sonuç yeraltı suyu ile ilişkili pek çok sayıda saha çalışmalarından elde edilmiştir. Eğer bir su tablosu, böyle bir hız değerine tekabül etmezse ($\mp % 10$ limit içinde), bu duruma mutlaka bir izah tarzi aramak gereklidir. Su içinde çok küçük miktarlarda dahi organik madde veya erimiş halde gaz bulunması halinde hız değerleri önemli ölçüde

de düşer. Bu durum sadece zeminde değil, su — hava karışımında da müshahede edilmiştir (Ref. 60).

Tesbit edilen yeraltı suyu seviyesinin üstünde kalan seviyelerde elde edilen 5000 ft/Sn lik P—dalga hızı değeri, tünele suyunu aittir.

e) Fay Tespiti :

Yeraltının derinliklerinde fay tespiti, 40 yıldan beri petrol aramaları için sismik refleksiyon çalışmalarına ve haritalama için derin jeolojik yapılara konu olmuştur (Ref. 61 - 66). Petrol aramalarında dinamit kullanılarak tatbik edilen refleksiyon metotları, artık sık sualtı çalışmalarında kullanılan yüksek frekanslı enerji kaynaklarını ihtiva eden metotlara dönüştürmektedir. (Ref. 23, 30).

Karada, sık fay ve tabaka tespiti için refleksiyon metodu kısıtlı olarak uygulanabilmektedir ve bu konuda pek az referans mevcuttur. Ref. 1 den Ref. 13 e kadar bütün referanslarda bahsi geçen jeofizik mecmuaları ve kitapları Ref. 46'dan bahsederler.

Son zamanlarda yazar, Kalifornia'da bulunan sık fayları tespit etmek için refraksiyon metodu kullanmıştır. Su tablası içinde bulunan dikey fay atımları ve düşük hızda sahip yüzey tabakaları Calaveras fayının haritada ki izdüşümü ile tamamen çakışmıştır. Keza, San Andreas fayında da görülen iki özellik, fayın haritada ki izdüşümü ile çakışmaktadır. Bunlar, fay zonunda bulunan kayacın derinliklerinde rastlanan ani değişimeler (8000 ft/Sn) ve dalga yayılmasında görülen ani enerji değişimeleridir.

f) Sıkışmış Dolgular :

Özellikle büyük yerleşme merkezleri olan şehirlerde mikrobölgelendirme çalışmaları daha ziyade sıkışmış dolgular ve şehrin çeşitli bölgelerine rastgele serpiştirilmiş gevşek dolgular üzerinde yapılmalıdır. Fakat bu konuda hiçbir referans verilmemiştir. Yazar son iki sene içinde şehirlerde yapılan muhtelif dolgu çalışmalarını yakından izleyerek, dolgular üzerinde konu ile ilgili çalışmalar yapmak fırsatını elde etmiştir.

Bunlardan iki tanesi baraj dolgusu, iki tanesi de yapı temeli dolgusu çalışmalarıdır. Dolgu maddesi, bol miktarda siltten ve bir miktar kum ve kayaç parçacıklarından müteşekkildir. S - dalga hızı değerleri nadiren beklenen seviyede olmakta (650 — 950 ft/Sn), çoğunlukla da 800 — 850 ft/Sn arasında değişmektedir. Herhangi bir çimento maddesi ilave edilmediği taktirde sıkışmış dolgular için S — dalga hızı değerinde en son limiti yaklaşık olarak 1200 ft/Sn. dir.

g) Heyelanlar :

Heyelanlar konusu mikrobölgeleme çalışmalarının gelişimi sırasında en son olarak ele alınan bir konudur. Bu nedenle periyodik mecmualarda ve yayınlanmış jeofiziksel çalışma raporlarında heyelanlara gerektigince degenilmemiştir. Yazar yer değiştiren, kayan materyellerin P—dalga hızlarının tayini konusunda çok tecrübeli olmasına rağmen, hızdan itibaren kayan materyelin cinsini tayine muvaffak olamamıştır. Mafih, jeolojik haritaların yardımı ile ve refraksiyon kullanarak, heyelanları sınırlamak ve kayan materyelin temelini tespit etmek olağlığı mevcuttur. Böyle bir bir tayin, kayma sırasında oluşan şartları gözlemek ve korelasyon yapmak ile mümkün olabilmektedir. Aktif heyelanlarda dalga hızı 1000 ile 3000 ft/Sn arasında değişir, eski heyelanlarda ve aktif heyelanların tabanında ise dalga hızı + 6000 ft/sn dir.

4 — ÖRNEKLER :

Son zamanlarda, geniş çapta zararlara yol açan şiddetli depremlerin lokal olarak değerlendirilmeleri sismik ölçülerle yapılmıştır. Mikrobölgeleme programları için de aynı tarzda çalışmalar gerekmektedir. (Ref. 62, 68).

a) Caracas :

Temmuz 1967 de oluşan Caracas depremi, bu konuda çalışmalarla ilginc tecrübeler kazandırmıştır. Merkezi şehirden 70 km. uzakta olan, şehrin mühim bir kısmında ağır hasar yapan, Caracas vadisinde de orta hasara yol açan depremin magnitü-

dü 6,3 tür. Hasar gören sahada ana kayaca kadar olan derinliği tespit etmek için sismik refraksiyon profilleri uygulanmıştır. Vadi de, kayaca kadar olan derinliğin konturlanması için daha önce mevcut bulunan su kuyuları verilerinden de istifade edilmiştir. Deprem sahasının ağır hasar görmüş kesiminde S—dalga hızları 70 m. derinliğe kadar kuyu yanı metodu ile tespit edilmiştir. Diğer kesimlerde yüzeysel refraksiyon metotları kullanılmıştır.

Elde edilen tüm veriler deprem komisyonlarında, zemin dinamiği ve zemin mekaniği eksperleri tarafından değerlendirilmiştir. (Ref. 67, 68 Şekil 8, 9, 10).

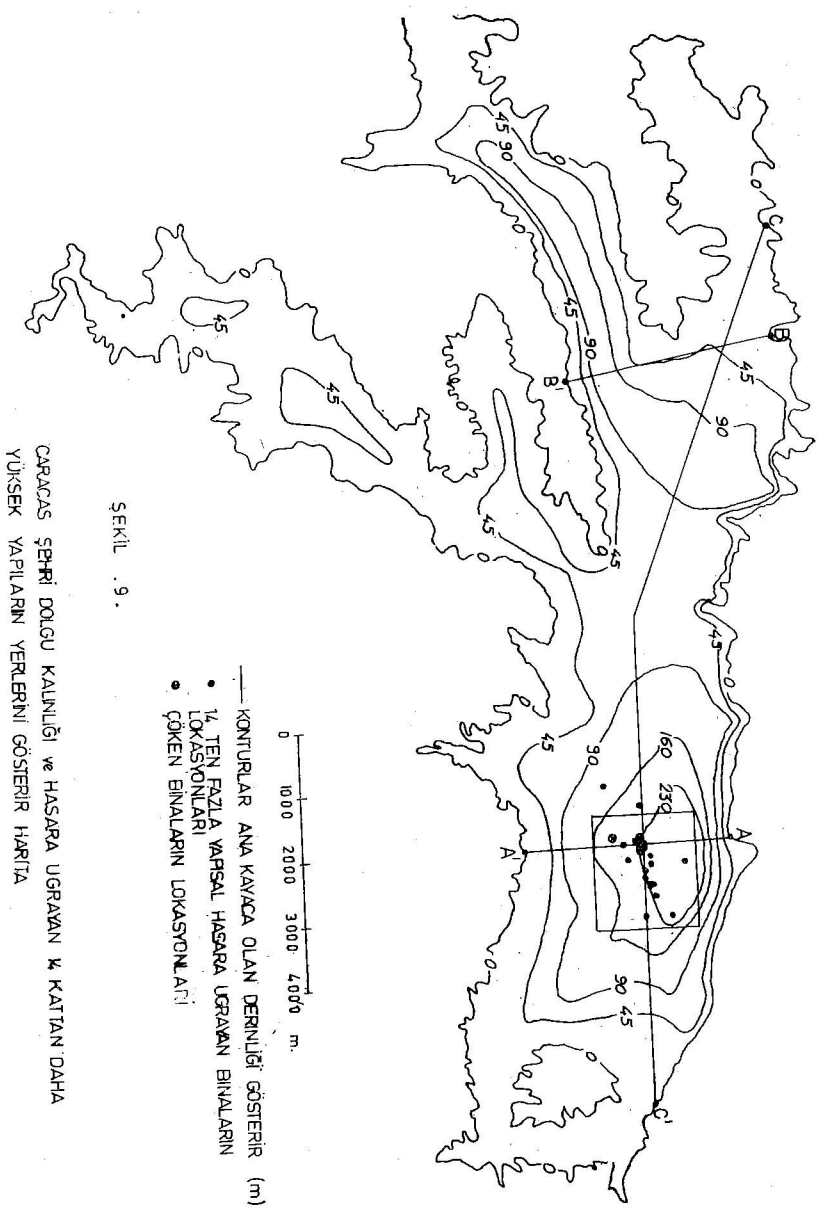
b) San Fernando :

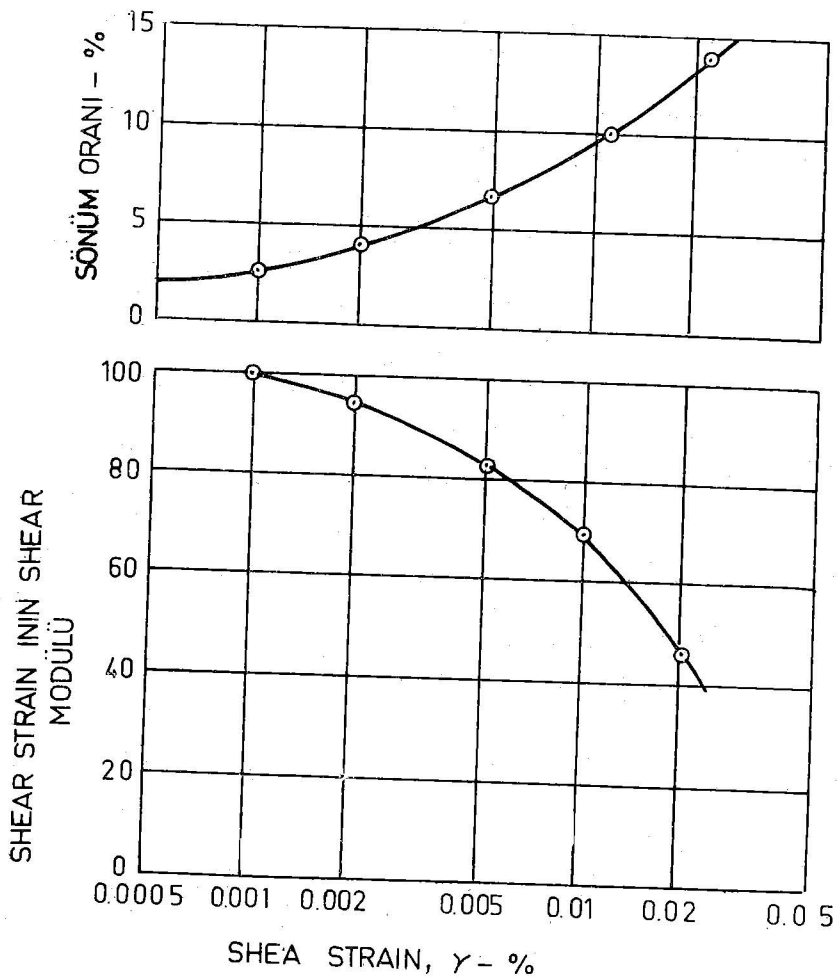
San Fernando depremi 1971 yılının Şubat ayında büyük hasarlara yol açmıştır. Deprem sahasında birçok sismik refraksiyon ölçüleri alınarak P ve S—dalga hızı değerleri saptanmıştır. Ölçülerin mühim bir kısmı yönlü enerji kaynaklarından istifade edilerek alınmıştır. Bu metot tatbik edilirken, ağır ve kalm bir tahta ile çökic darbesi kullanılmıştır. (Ref. 64). Saadece 60 ft derinliğe kadar ölçü alınabilmemesine rağmen, San Fernando bölgesinin tümünde muhtelif lokasyonlarda oluşan yeni şartları değerlendirmek için uygun bir mukayese imkanı elde edilmiştir. Tipik verileri kapsayan kesit Şekil 11 de gösterilmiştir.

c) Matsushiro :

Son zamanlarda meydana gelen Matsushiro depreminin en çok etkilediği sahada, biribirini kesen iki profil hattı boyunca yoğun sismik refraksiyon ölçüleri alınmıştır. (Ref. 62). Jeolojik yapı ile hiposantr arasındaki münasebeti tespit etmek için çok sayıda jeofon yerleştirme düzeni ve patlatma kuyusu - Jeofon mesafeleri ayarlaması uygulanmış ve hem sig, hem de derin profiller elde edilmiştir. Profil uzunlukları 60 - 150 km. arasında değişmektedir. Bir profil kesiti Şekil 12 de gösterilmiştir.

Matsushiro'da yürütülen çalışmalar dünyada ilk kez yapılan aktif episantır çalışmalarıdır. Elde edilen sonuçlar arasın-

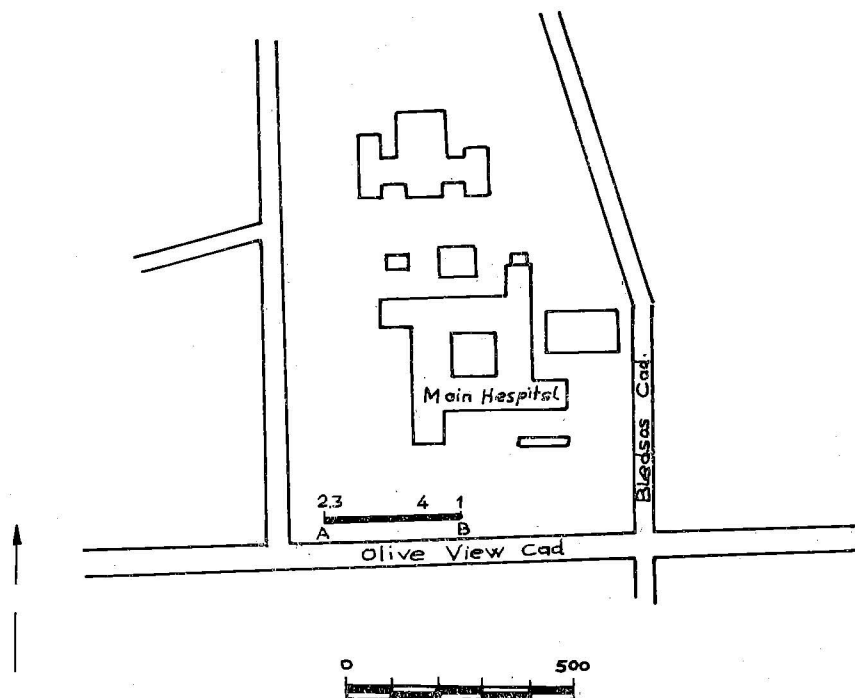




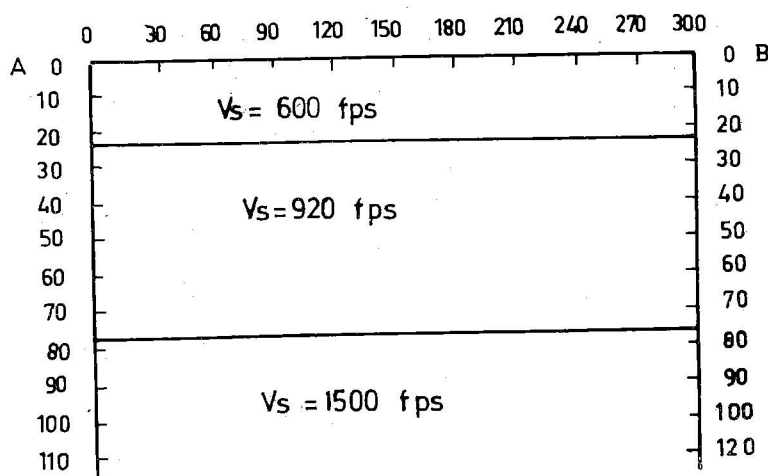
SHEAR MODÜLLERİNİN VE SÖNÜM ORANLARININ
STRAIN İLE DEĞİŞİMİ

ŞEKİL .10

YER : OLIVE VIEW HASTANESİ, SYLMAR

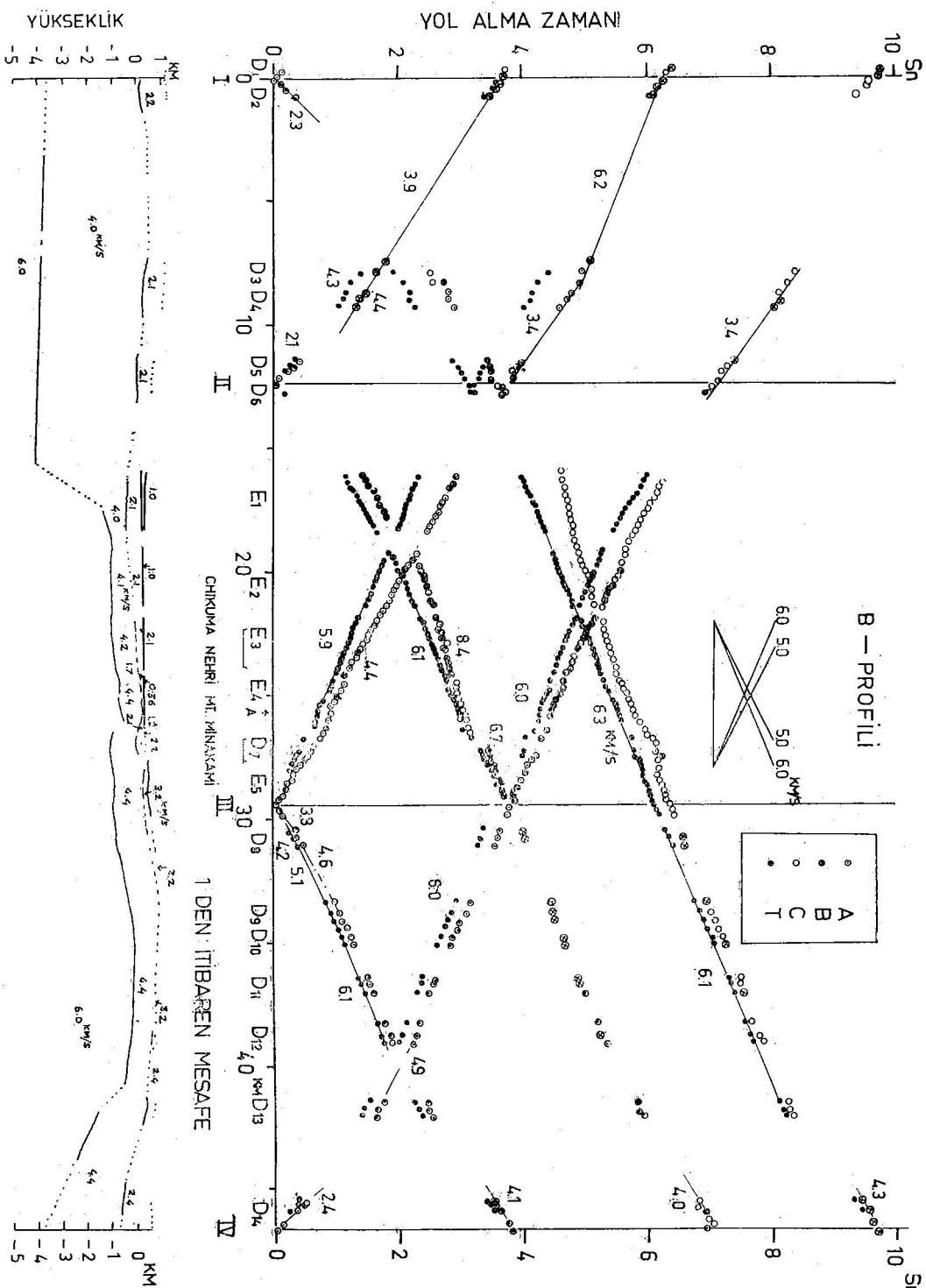


KESİT



TARIH MAYIS-25-1971

SEKİL . 11



B PROFİLİNDE YOL ALMA ZAMANI EĞRİLERİ VE YERALTı YAPISI
ŞEKİL.12

da en önemlisi, depremin en fazla tahrip ettiği yer 6 km/sn lik hız kuşağıdır, bir diğer önemli sonuca göre de hiposantr bölgesi, yükseltinin orta kuşağına (Ref. 62.) tekabül etmektedir.

Dış tesirlerden uzak kalmak için çalışmalar gece yarısı yürütülmüştür. 19 saha çalışma grubundan 14 ü çalışmaları sırasında manyetik kaydedici kullanmışlardır.

d) Boston :

Boston depremi ile ilgili en son deprem mühendisliği analizleri Prof. R. V. Whitman, Prof. J. Christian ve yazar tara- fundan Massachusetts Teknoloji Enstitüsü Kampusunda yapılmıştır. Saha çalışmaları için seçilen bölgede «Boston mavi kılı» olarak adlandırılan kalın bir kil tabakası mevcuttur. Yaklaşık olarak 90 ft derinlikte kuyu yani tekniği ile elde edilen S—dalga hızı verileri 900 ft/sn civarındadır. N değeri ise (S. P. T.) yaklaşık olarak 15 — 20, laboratuvara tayin edilen S—dalga hızı değeri ise 908 ft/sn dir. Kilden elde edilen diğer değerler 800 ile 900 ft/sn arasında değişmektedir.

Kaydedilen saha verilerinin kalitesi kuyu teçhizatı ile kuyu deliği arasındaki kavramanın durumuna göre değişir.

e) Nükleer Güç Üretkenlerinin Yerleri :

Nükleer güç üretme merkezlerinin yerleri için yapılan tüm saha araştırma programları bir çeşit mikrobölgelendirme çalışmasıdır. Amerikan Atom Enerjisi Komisyonunca son olarak yayınlanan programlara göre (Ref. 70). saha jeolojisi, jeofiziksel saha ölçüleri, ve zemin dinamiği analiz çalışmaları mikrobölgelendirme uygulaması için şart koşulmaktadır. Eğer bu çalışmalarдан elde edilen veriler tüm ilgililerin istifadesine sunulursa (Ref. 69 da olduğu gibi), referanslardan müteşekkil hazır bir kütüphane elde edilmiş olacaktır.

5 — STRAIN SEVİYESİ :

Mühendislik sismik metodlarına karşı yapılan en önemli tenkitlerden biri de metodların uygulandığı strain seviyeleridir. Gerçektende şiddetli bir depremden önce, deprem sırasında veya depremden sonra meydana gelen şartlara tekabül

eden muhtemel modül değerleri arasında ki farklar böyle bir tenkidin haklı olabileceğini ortaya koymaktadır. Son zamanlarda bu konu ile ilgili yoğun çalışmalar yapılmaktadır. (Ref. 54, Şekil 10), dolayısıyle ortaya çıkan her yeni cevap cetveler ve kurallar halinde hazırlanmaktadır.

6 — MİKROBÖLGELENDİRME KURALLARI :

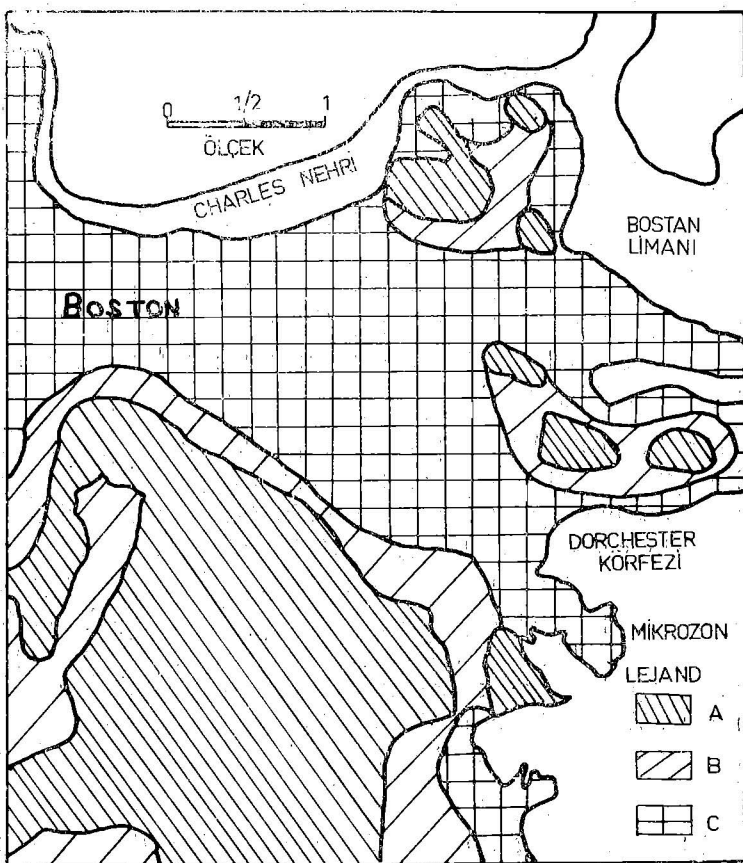
Yeraltı şartları değişken olan bir sahayı mikrobölgeleştirmek için, jeolojik haritalama, jeofiziksel (sismik) ölçü alma ve zemin analizi çalışmalarını kapsayan integre bir program hazırlamak gereklidir.

Baz kontrolü için yapılan jeolojik haritalamayı takiben (Şekil 13) P ve S—dalga hızlarını tayin etmek, tabaka kalınlıklarını hesaplamak ve ana kayaca kadar olan derinliği saptamak için sismik refraksiyon hatları teşkil edilmelidir. Bu hatların konumları, eldeki bütçe imkanları nisbetinde, yakın grit esasına göre veya numune alma limiti esasına göre tespit edilmelidir. Her iki hâlde de hat, lokasyonları bâlinen bir jeolojik yapı üzerinde olmalıdır. Bundan sonra ilksel ve kaba bir mikrobölgeleştirmeye haritasının hazırlanabilmesi için sürekli sismik profillere ve ana kayaç kontur haritalarına ihtiyaç vardır.

İlksel mikrobölgeleştirmeye haritasında yer alan bulguları kontrol etmek için test kuyuları ve laboratuarda incelenmek üzere alınan numuneler gereklidir.

Ana kayaç üzerinde kalan kısmın kalın olduğu yerlerde (50 ft : 15 m den kalın) ve tabakalanmanın çok değişken olduğu yerlerde yapılan mikrobölgeleştirmeye çalışmalarında S—dalga hızını tespit etmek için, kuyu üstü, kuyu dibi veya tercihan kuyu yanı programı uygulanmalıdır. Sonradan refraksiyon metotları ile yüzeysel S—dalga hızı değerinin tespiti, bir kontrol noktası niteliğinde olan her test kuyusu lokasyonundan itibaren yatay olarak daha geniş bir alana tattık edilebilir.

S—dalga hızı değerlerine tekabül eden modül değerleri de strain seviye farklarına göre ayarlanmalıdır.



BOSTONUN MİKROZON HARİTASI

ZEMİN TİPİ	MİKROZON	S
KAYAÇ, BUZUL MADDESİ VEYA DİĞER SERT VE KALIN KOHESİF TOPRAK	A	1.0
KUM, KILLİ KUM, KIL VE KUMLU TOPRAK, DOLGU VEYA SILT TABAKASI (.10 ft den daha kalın)	B	1.3
DERİN SILT VEYA DOLGU (.10 ft den daha kalın) VEYA İRİ PARÇALI TOPRAK	C	1.5

SEKİL.13

7 — SONUÇ :

Mikrobölgelendirme çalışmaları için yapılan jeofiziksel araştırmalar su özellikleri ile tercih edilmektedirler :

1 — Veri toplama işlemi daha uygun aletler kullanılarak yapılmalıdır. (Örneğin; büyük yerlesme merkezleri olan şehirlerde kullanılan ve patlayıcı niteliği olmayan enerji kaynakları, manyetik kayıt yapan aletler.)

2 — Verilerin değerlendirilmeleri elektronik hesaplayıcılar tarafından yapılmaktadır.

3 — Kuru ve doymuş tabakalara uygulanan yerinde (in-situ) dalga hızı tespiti mümkündür.

4 — Strain seviyelerine yapılan ve analizler için değerlendirilen çok düşük olan ölçülerin düzeltilmesi mümkündür.

5 — Sismik araştırmalarla ilgili tecrübe kayıtları ve geçmişte oluşmuş örneklerle hasarın şiddet derecesinin tespiti, ayrıca lokal jeolojik yapılar arasındaki farklıların ortaya çıkarılması da mümkündür.

R E F E R A N S L A R :

- 1 — Andrianova, Z. S., et. al., «Seismic Love Waves,» Translated by F. M. C. Goodspeed, Consultants Bureau, New York, 1967, 91 pp.
- 2 — Arstey, N. A., «Seismic Prospecting Instruments — Vol. 1 — Singal Characteristics and Instrument Specifications, «Geopublication Associates, Berlin — Stuttgart, 1970, 156 pp.
- 3 — Berzon, I. S. (Editor), «Seismic Wave Propagation in Real Media», (Translated from Russian journal by G.V. Keller) Available from Consultants Bureau, New York — London, 1969, 208 pp.
- 4 — Cerveny, V. and R. Ravindra, «Theory of Seismic Head Waves», University of Toronto Press, 1971, 312 pp.
- 5 — Dobrin, M.B., «Introduction to Geophysical Prospecting», 2 nd Edition, McGraw-Hill Book Company, 1960, 446 pp.
- 6 — Polshkov, M.K. (Editor), «Exploration Geophysics», (English translation of the Soviet Serial Publication «Prikladnaya Geofisika» — Translation Editor: G.V. Keller) Available form Consultants Bureau, New York, (1st English Edition is Vol. 47, 1968)

- 7 — Grant, F.S. and G.F. West, «Interpretation Theory in Applied Geophysics», McGraw-Hill Book Company, 1965, 538 pp.
- 8 — Griffiths, D.H. and R.F. King, «Applied Geophysics for Engineers and Geologists», Pergamon Press, 1965, 223 pp.
- 9 — Geophysical Prospecting, Published Quarterly by the European Association of Exploration Geophysicists, Vol. 20, 1972
- 10 — Geophysics, Published bi-monthly by the Society of Exploration Geophysicists, Vol. 37, 1972.
- 11 — Musgrave, A.W., «Seismic Refraction Prospecting», Society of Exploration Geophysicists, 1967, 604 pp.
- 12 — Nomokolyou, V.P. and D.K. Ganguli, «Theory of Seismic Prospecting Instruments», (2nd Edition Revised) Gordon and Breach, New York, London, Paris, 1967, 142 pp.
- 13 — White, J.E., «Seismic Waves (Radiation, Transmission and Attenuation)», McGraw-Hill Book Company, 1965, 302 pp.
- 14 — «CENTO Conference on Earthquake Hazard Minimization», Ankara, Turkey, July 1968, 204 pp. (especial reference to paper by R.E. Wallace, «Geologic Factors in Earthquake Damage»).
- 15 — Housner, G.W. (Chairman), «Earthquake Engineering Research», Report to National Science Foundation by Comission on Earthquake Engineering Research, Publication of National Academy of Sciences, Washington, 1969, 313 pp. (Chapter 4, «Soil Mechanics and Earth Structure», p. 138)
- 16 — «Prediction of Earthquake Progress to date and Plans for further Development», by Earthquake Prediction Research Group, E.R.I., University of Tokyo, January 1967, 21 pp.
- 17 — Whitman, R.V., Proceedings of the Symposium on Soil-Structure Interaction, Tuscon, Arizona, September 1964 (Discussin on p. 600)
- 18 — Ballard, R.F. and R.E. Leach, «Development of a Vibropacker System for Inducing Polarized Shear Waves and Compressive Waves at Depths», Miscellaneous Paper S-69-30, July 1969, U.S. Army Engineers Water. Ex. Stat. CE, Vicksburg, Mississippi.
- 19 — Carlson, R.C., et al., «High-Resolution Seismic Uphole Surveys at the Lawrence Radiation Laboratory», Geophysics, Vol. 33, February 1968, pp. 78-87.
- 20 — Casagrande, D.R., «Vibro/Seismic Survey and Crater Disturbance Zone Delineation Pre-Gondola/Fort Peck Montana», «Miscellaneous Paper S-69-6, February 1969, U.S. Army Engineers Water. Ex Stat. CE, Vicksburg, Mississippi.
- 21 — Cherry, J. and K. Waters, «Shear Wave Recording Using Continuous Signal Method, Part 1 - Early Development», Geophysics, Vol. 33, April 1968 pp. 229-239.

- 22 — Dunster, D.E. and D.E. Miller, «A Research Study to Determine the Occurrence and Structural Competency of Deep Rock Formations by the Use of Surface Vibrators,» Contract Report S-68-2, December 1968, U.S. Army Engineers Water. Ex. Stat. CE, Vicksburg, Mississippi.
- 23 — Edgerton, H. and G. Hayward, «The Boomer Sonar Source for Seismic Profiling,» Journal of Geophysical Research, Vol. 69, 1964, pp. 3033-3042
- 24 — Erickson, E., et al., «Shear Wave Recording Using Continuous Signal Method, Part 11-Later Experimentation,» Geophysics, Vol. 33 April 1968, pp. 240-254
- 25 — Geyer, R.L. and J. Myung, «The 3-D Velocity Log; A Tool for insitu Determination of the Elastic Moduli of Rock,» Twelfth Annual Symposium on rock Mechanics, University of Missouri. Rolla, Missouri. November 1970.
- 26 — Giles, B., «Pneumatic Acoustic Energy Source», Geophysical Prospecting, Vol. 16, March 1968, pp. 21-53
- 27 — Gurbuz, B.M., «Singal Enhancement of Vibrating Source Data», Geophysical Prospecting, Vol. 20, No. 2, June 1969, pp. 421-437.
- 28 — Guyod, H. and L.E. Shaine, «Geophysical Well Logging — Vol. 1», Publication of Hubert Guyod, Houston, Texas, 1969, 256 pp.
- 29 — Maxwell, A.A. and F.B. Fry, «A Procedure for Determining Elastic Moduli of in-situ Soils by Dynamic Techniques, «Proceedings of the International Symposium on Wave Propagation and Dynamic Properties of Earth Materials», University of New Mexico Press, August 1967.
- 30 — Smith, V., «Recent Underwater Surveys using Low-Frequency Sound to Locate Shallow Bedrock», Bulletin of the Geological Society of America, Vol. 69, 1958, pp. 69-98.
- 31 — Domzalski, W., «Some Problems of Shallow Refraction Investigations Geophysical Prospecting, Vol. 4, No. 2, pp. 140-166.
- 32 — Green, R., «The Hidden Layer Problem,» Geophysical Prospecting, Vol. 10, 1962, pp. 166-170
- 33 — Golder, H.O. and L. Soderman «Merits and Mistakes of Geophysics in Civil Engineering, »2 nd. American Conference on Soil Mechanics and Foundation Engineering.
- 34 — a. Scott, J.H., et al, «Computer Analysis of Seismic Refraction data», United States Bureau of Mines, Report of Investigations 7595, 1972
- 34 — b. Proceedings of the International Symposia on Geophysical Theory and Computers
- 2nd Symposium, Rehovoth, Israel, 1965 (Publication for Royal Astronomical Society by Blackwell Scientific Publications, Oxford)
- 5th Symposium, Tokyo and Kyoto, 1968 (Published in Journal of Physics of the Earth, Geophysical Institute, University of Tokyo, August 1968.

- 35 — Soske, J.L., «The Blind Zone Problem in Engineering Geophysics», *Geophysics*, Vol. 24, 1959, pp. 359-365.
- 36 — Swiger, W.F., et al., «Subsurface Investigation for Desing and Construction of Foundations of Buildings: 11, «Journal of Soil Mechanics and Foundations Division, A.S.C.E., Vol. 98, No. 6, june 1972.
- 37 — Allam, A., «An Investigation into the Motion of Microtremors through Experimental Studies of Seismic waves», *Bulletin of the International Institute of Seismology and Earthquake Engineering*, Vol. 7, 1970, pp. 1-59
- 38 — Duke, C.M., «Techniques for Field Measurement of Shear Wave velocity in Soils», 4th W.C.E.E., Santiago, Chile, 1969, A-5, pp. 39-54.
- 39 — Geyer, R. and S. Marther, «SH Waves from Explosive Sources», *Geophysics*, Vol. 34, December 1969, p. 893.
- 40 — Kisslinger, C., et al., «SH Motions from Explosions in Soil», *Journal of Geophysical Research*, Vol. 66, pp. 3487-3498.
- 41 — Kawasumi, H., et al., «S-Wave Velocities of Subsoil Layers in Tokyo, 2», *Bulletin of the E.R.I., Japan*, Vol. 44, 1966, pp. 731-747
- 41 — a. Shima, E., et al., «S-Wave Velocities of Subsoil Layers in Tokyo, 2», *Bulletin of the E.R.I., Japan*, Vol. 46, 1968, pp. 759-772.
- 42 — Kuboteva, A. and Y. Ohta, «On Seismic Waves Generated by Small Explosives», 1 and 11, Special Contributions, *Geophysical Institute, Kyoto University* (Part 1 — 1966, No. 6, and Part 11 — 1967, No. 7)
- 43 — Kurzeme, M., «In-situ Investigation Using SH-Waves», *A.S.C.E. Journal of Soil Mechanics and Foundation Division*, February 1971, pp. 341 - 356
- 44 — Lastrico, R.M., et al., «Effects of Site and Propagation Path on Recorded Strong Earthquake Motions», *Bulletin of the Seismological Society of America*, Vol 62, 1972, pp. 933-954.
- 45 — Linehan, D., «Seismology Applied to Shallow Zone Research», *A.S.T.M. Symposium on Surface and Subsurface Reconnaissance*, 1951, STP 122.
- 45 — a. Linehan, D. and V.J. Murphy, «Engineering Seismology Applications in Metropolitan Areas», *Geophysics*, Vol. 27, No. 2, April 1962.
- 46 — Meidav T., «Shear Wave Velocity Determination in Shallow Seismic Studies», *Geophysics*, Vol. 32 December 1967, pp. 1041 - 1046.
- 46 — a. Meidav T., «Shear Wave Velocity Determination in Shallow Seismic Studies», *Geophysics*, Vol. 32, December 1967, pp. 1041-1046.
- 47 — Murphy, V., «Use of Cross-hole Techniques for in-situ Velocity and Moduli Determination», *Research Brief — Soil Dynamics Special Session*, 6th International Conference on Soil Mechanics and Foundation Engineering, Mexico City, 1969.

- 48 — Newmark, N.M. and E. Rosenblueth, «Fundamentals of Earthquake Engineering», Prentice Hall, 1971, 640 pp. (p. 422)
- 49 — Ohta, Y. and E. Shima, «Experimental Study on Generation and Propagation of S-Waves: 11-Preliminary Experiments on Generation of SV-Waves», Bulletin of the E.R.I., Japan, Vol. 45, 1967, pp. 33-42
- 49 — a. Ohta, Y., «Experimental Study on Generation and Propagation of S-Waves: 111 — Generation of SV-Waves by Means of a Modified Explosion Source», Bulletin of the E.R.I., Japan, Vol. 45, 1967, pp. 727-738.
- 49 — b. Shima, E. and Y. Ohta, «Experimental Study on Generation and Propagation of S-Waves: I — Designing of SH-Wave Generator and 1st Field Tests», Bulletin of the E.R.I., Japan, Vol. 45, 1967, pp. 19-31.
- 50 — Ohsaki, Y., «The Effects of Local Soil Conditions Upon Earthquake Damage», Soil Dynamics Specialty Conference, 7th International Conference on Soil Mechanics on Foundation Engineering, Mexico, 1969, p. 52.
- 51 — Stokoe, K.H. and Woods, R.D., «In-situ Shear Wave Velocity by Cross hole Method», Journal of Soil Mechanics and Foundation Division, A.S.C.E., Vol. 98, No. 5, May 1972
- 52 — Whitcomb, J.H. «Shear-Wave Detection in Near-Surface Seismic Refraction Studies», Geophysics, Vol. 31, Octoler 1966, pp. 981-983.
- 53 — Aisiks, E.G. and I.W. Tarshansky, «Soil Studies for Seismic Design of San Francisco Transbay Tube», A.S.T.M. — STP 450, 1969, pp. 138-166.
- 54 — Seed, H.B. and I.M. Idress, «Soil Moduli and Damping Factors for Dynamic Response Analysis», University of California at Berkeley Report EERC 70-10, December 1970.
- 55 — Swain, R.J., «Recent Techniques for Determination of In-situ Elastic Properties and Measurement of Motion Amplification in Layered Media», Geophysics, Vol. 27, April 1962, pp. 237-241.
- 56 — Berson, I.S., et al., «Wave Refraction by Aquiferous Sands, I and II», Bulletin (Izvestiza) Geophysics Series, Academy of Sciences, U.S.S.R., 1959, pp. 17-29 and 115-118 (Translations by the American Geophysical Union — P. Byerly, Chairman)
- 57 — Biot, M.A., «Theory of Propagation of Elastic Waves in a Fluid — Saturated Porous Solid — I, Low-frequency Range — II, High-frequency Range», Journal of the Acoustical Society of America, Vol. 28, 1956, pp. 168-191.
- 58 — Brutsaert, W. and J. Luthin, «The Velocity of Sound in Soils Near the Surface as a Function of the Moisture Content», Journal of Geophysical Research, Vol. 69, 1964, pp. 643-652.

- 59 — Duguid, J., «Refraction Determination of Water Table Depth and Alluvium Thickness», *Geophysics*, Vol. 33, June 1968, pp. 481-488.
- 60 — Gibson, F.W., «Measurement of the Effect of Air Bubbles on the Speed of Sound in Water», *Journal of the Acoustical Society of America*, Vol. 48, November 1970, pp. 1195-1197.
- 61 — Pakiser, L.C., «Geological and Geophysical Studies of California - Nevada Fault Zones», Proceedings of the 2nd United States-Japan Conference on Research Related to Earthquake Prediction Problem, June 1966, pp. 45-46, Sponsored by the National Science Foundation and the Japan Society for Promotion of Science.
- 62 — Ansano, S., et al., «Explosion Seismic Studies of the Matsus-hiro Earthquake Swarm Area», Geological Survey of Japan, Special Report No. 5, 1969.
- 63 — Arsovski, M., et al., «Seismological and Geological Investigations of the Skopje Valley and Urban Area», Proceedings of the International seminar on Earthquake Engineering, Skopje, 1964, pp. 87-90.
- 64 — Duke, C.M., et al., «Subsurface Site Conditions and Geology in the San Fernando Earthquake Area», U.C.L.A., Eng. 7206, December 1971.
- 65 — Leslie, S.K. and J.B. Biggs, «Earthquake Code Evolution and the Effect of Seismic Design on the Cost of Buildings», M.I.T. Structural Publication No. 341, R72-20, 1972.
- 66 — Rummerfeld, B., et al., «Seismic Survey in the Region of Recent Earthquake Activity near Denver, Colorado», *Geophysics*, Vol. 33, December 1968, pp. 915-925.
- 67 — a. Seed, H., et al., «Relationships Between Soil Conditions and Building Damage in the Caracas Earthquake of July 29, 1967», University of California, Berkeley, Report No. EERC 70-2, February 1970.
- 67 — b. Seed, H., et al., «Soil Conditions and Building Damage in the 1967 Caracas Earthquake», *Journal of Soil Mechanics and Foundation Division, A.S.C.E.*, August 1972.
- 68 — Whitman, R.V., «Effect of Soil Conditions on Damage to Structures, Caracas Earthquake of 20 July 1967», Report to Presidential Commission for Study of the Caracas Earthquake, 1969.
- 69 — Whitman, R.V., Evaluation of Soil Properties for Site Evaluation and Dynamic Analysis of Nuclear Plants», in *seismic Design for Nuclear Power Plants*, Edited by R. Hansen, M.I.T. Press, 1970, 489 pp.
- 70 — U.S. Atomic Energy Commission, Appendix A, «Seismic and Geologic Siting Criteria for Nuclear Power Plants», proposed Amendments to Regulations 10CFR, Part 100.

Japonya'nın Bazı Bölgelerinde Gözlenen Deprem Zararları ve Zemin Altı Şartları (*)

Hazırlayan :

Tokyo Üniversitesi Deprem
Araştırma Enstitüsü Zemin
Altı Araştırmaları Grubu

Çeviren

Mehmet Emin Özel (**)

Geçmiş depremlerden, deprem hasarı miktarlarının zemin-altı şartlarına göre değiştiği tesbit edilmişti. Son zamanlarda Japonya'da, sismik hasarları çeşitli bakımlardan incelemek üzere birçok araştırmalar yapılmaktadır. Bu arada, (a) Sismik hasarın jeolojik yapıya olan bağlılığını açığa çıkarmak amacıyla, sarsıntı alanının jeolojik incelemesi yapılmakta, (b) Çeşitli zemin şartlarında inşa edilen yapıların depreme mukabelesi ile ilgili olarak da, sismik dalgaların karakteristikleri üzerindeki çalışmalara devam edilmektedir. Dalga karakteristikleri, sun'ı zemin tabakalarından yüksek derecede etkileyenler. Bu nedenle, sismik hasarların incelenmesinde zeminin sismik (veya dinamik) karakterini bilmek gerekmektedir.

Tokyo Üniversitesi Deprem Araştırmaları Enstitüsü, Zemin-altı Araştırmaları Grubunca Tokyo, Osaka, Yokohama, Kawasaki - Nagoya, Ichinomiya, Sakata şehirlerinde ve Tottori yönetim bölgesinde ayrıntılı araştırmalar yürütülmüş ve bu çalışmaların sonuçları birçok yererde yayımlanmıştır.

Bu tebliğde, Araştırma Grubu tarafından yapılan en son çalışmalar hakkında bilgi verilecek ve daha çok da, 1944 Tonankai depreminde zarar gören ahşap yapılarda tesbit edilen sismik hasarların dağılımı üzerinde durulacaktır. Ayrıca, Osaka'nın şehirsel alanı için, Araştırma Grubu tarafından yapılan sismik bölgeler haritası hakkında da bilgi verilecektir.

(*) Makalenin orijinali Proc. II nd World Conference an Earth. Eng. Vol. 1 Sayfa 311 de yayımlanmıştır.

(**) Orta Doğu Teknik Üniversitesi.

(A) Totomi bölgesindeki ahşap meskenlerde sismik hasar yüzdelerinin dağılımı ile zeminaltı şartları arasındaki ilişki.

Yukarda belirtilen 7 Aralık 1944 tarihli depremin merkezi, Japonya'nın Büyük Okyanus kıyılarındaki Kumanonada olarak tespit edilmiştir. Hasar genellikle Shizuako, Aichi ve Miye yönetim bölgeleri sınırları içinde görülmüştür.

Bu çalışma, Prof. H. Kawasumi ve diğer Araştırma Grubu üyeleri yardımı ile, S. Ooba tarafından yürütülmüş ve elde edilen sonuçlar daha önce yayınlanmıştır (1). Aşağıdaki paragraflarda, bu çalışmanın sonuçları kısaca açıklanacaktır.

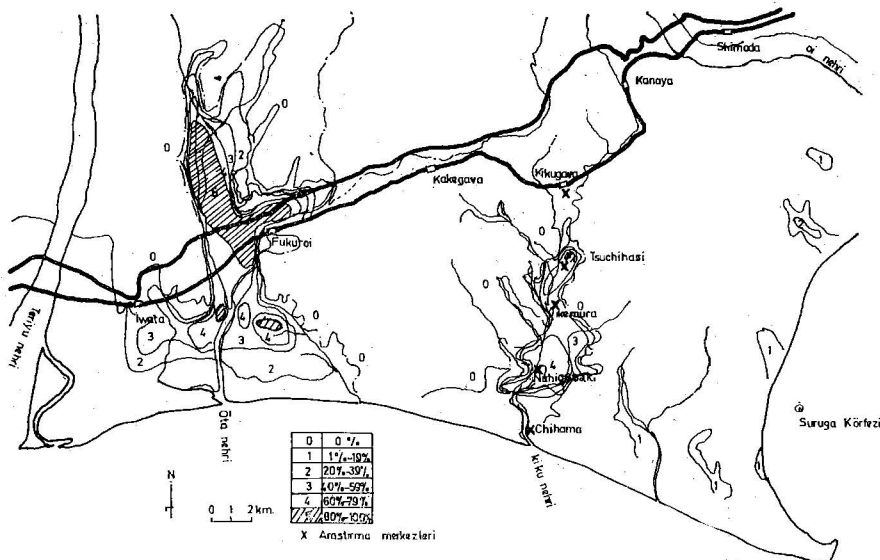
Uygun olması bakımından, Koaza köyü ve Ku kasabası, herbirine 20 — 30 veya 60 — 70 ev düşmek üzere birkaç alt-bölgeye ayrılmıştır. Her bölgedeki zeminsel jeolojik şartlar, yaklaşak olarak tek—düze bir durum arz ediyordu. Bu durum-daki alt bölgeler, bir şehir (Hamamatsu) ve ona ait 116 kasaba ve köye ait 1150 altının % 98'ini teşkil ediyordu.

Sarsıntıının şiddeti aynı tür yapılar üzerindeki dinamik etki farklarından bulunabilir. Bölge nüfus yoğunluğu oldukça yüksek olduğundan, meskenler, en yaygın ve yapısal bakımından da pek farklı olmayan yapılar olarak göze çarpmaktadır. Bu nedenle, hasar gören evlerin yüzdesi, depremin şiddetinin bir ölçüsü olarak alınabilir. Eğer, bu bölge yukarıda belirtilen şartlar altında, gerektiği şekilde incelenirse, yersarsıntıının bilinen zemin altı şartlarında gösterdiği şiddetin ortalamama değeri hakkında bilgi elde edilebilecektir.

Tamamen yıkılmış evlerle kısmen hasar görmüş evlerin tarifleri hakkında ortaya çıkabilecek belirsizlikleri önlemek için, bu çalışmada, yalnız tamamen yıkılmış evler referans alınacaktır.

Episantr'a en yakın olmamasına rağmen, Totomi'deki hasar en yüksek olmuştu. Merkezî Meteoroloji Gözlemevi (Central Meteorological Observatory) tarafından hesaplanan uzaklık 150 ile 200 km. arasında idi. Bütün deprem bölgesindeki hasar gören evlerin sayısının 26130 olduğu ve bunun 1/3 üne yakın kısmı olan 5183 hasar görmüş evin Totomi'de olduğu rapor edilmiştir.

Tamamen çökmüş evlerin yüzdeleri Şekil 1'de verilmektedir. % 20, 40, 60 ve 80'lik izosismal eğriler de şekilde çizilmiştir. Yine şekilde gözlendiği üzere, hasar oranının % 100'e kadar yükseldiği bölgelere Ootagawa ve Kikukawa nehirleri vadilerinde rastlanmaktadır. Tenryu ve Ooi nehir yataklarında ise durum oldukça farklıdır. Şiddet dağılımlarından, deprem şiddeti ile epsisantr'a olan uzaklık arasında doğrudan doğruya bir bağıntı elde edemeyiz. Ayrıca, sismik merkezden, bu tip çok özel bir enerji akışı da beklenemez. Bu nedenle, sismik hasar dağılımı ile ilgili olan daha başka sebepler aramalıyız. Jeolojik oluşum şekilleri ile dağılım eğrileri arasında yakın bir benzerlik görülmüyor. Buna bakarak, Şekil 1'de gösterilen dağılımin, oralardaki zemin altı şartlarının bir göstergesi olduğunu söyleyebiliriz.



Şekil 1 — Totomi yönetim bölgesinde ahşap konutlardaki hasarın dağılımı.

Bu görüşlerden hareketle, söz konusu alan aşağıda gösterilen şekilde 10 parçaya ayrılmıştır.

- 1 — Ootagawa Havzası (C_o , G_o),
- 2 — Kikugawa Havzası (C_k),
- 3 — Makinohara Platosu ayağındaki alüvyonlu alan (C_m)

- 4 — Hamana Gölü yakınındaki alüvyonlu alan (C_h , S_h),
- 5 — Tenryu Ovası (G_i),
- 6 — Ooigawa Ağzı (G_i),
- 7 — Ogasa Dağı etrafındaki çakılı bölge (G),
- 8 — Kıyıdaki kum tepecikleri ile dolu alan (S_c),
- 9 — Sellerin oluşturduğu plato bölgesi (Diluvial Plateau) (D),
- 10 — Kayalık temelli bölge (R),

C, S, G ve R sembollerini, sıra ile, balçık, kum, çakıl ve kaya temellerini; o, k, m, h, t, i ve g alt— indisleri ise, yukarıda bahsedilen bölgelerin isimlerini göstermektedir.

Balçıklı bataklık yığınlarının uzandığı nehir boyundaki alcak bölgelerde önemli ölçüde yüksek bir hasar tesbit edildiği halde, sellerin oluşturduğu plato bölgesinin çakılı alanlarında veya daha yüksekçe olan çakıl yataklarında hasarın oldukça düşük olduğu (Tenryu ve Ooigawa bölgelerinde olduğu gibi) göze çarpmıştır.

Hasar, sahildeki kum tepecikleri civarında orta derecede ve kayalık bölgede ise ihmäl edilebilir derecededir.

Mesken olarak kullanılan ahşap yapılardaki hasarın çeşitli jeolojik oluşum bölgelerindeki ortalama yüzdesi şöyledir.

C (balçıklı)	icin % 26,1
G (çakılı)	icin % 1,4
S (kumlu)	icin % 3,5
D+R	icin % 0,2

A') Totomi bölgesi zeminaltı şartlarının daha ayrıntılı incelenmesi :

Totomi bölgesindeki sismik hasar üzerine Zemin altı Arastırma Grubu tarafından daha ayrıntılı çalışmalar yürütülmüş, bu sırada, sismik araştırma (seismic prospecting), delmeyle elde edilen örneklerin jeolojik incelenmeleri, zemin örneklerinin mekanik analizi vs. gibi çeşitli metodlar uygulanmıştır. Bu çalışmaların en yoğun yürütüldüğü alanlar Kikukawa ve Ootagawa bölgeleri olmustur.

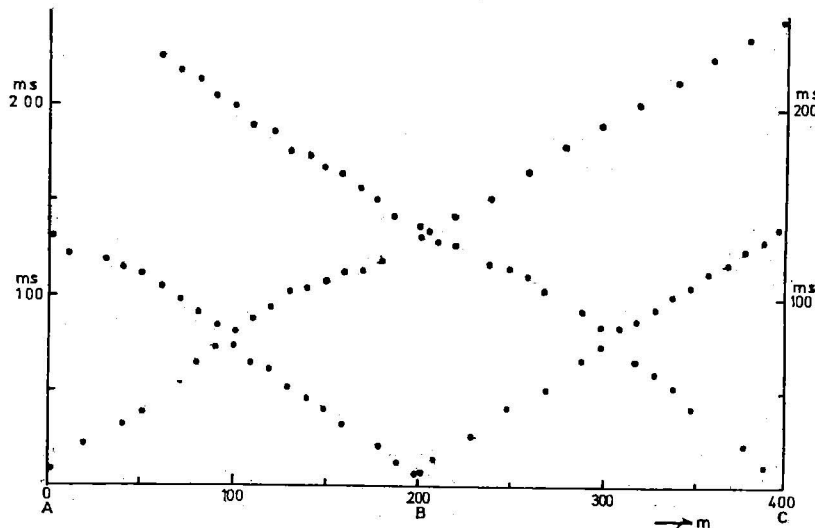
Arazinin sınıflandırılması için bu alanların muhtelif yerlerinde yapılan mikrotremor gözlemlerinin sonuçlarından

faydalanilmıştır. Fakat, bu konudaki sonuçları açıklamak için vakit erkendir.

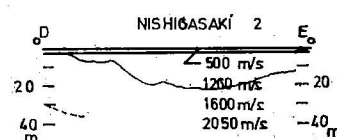
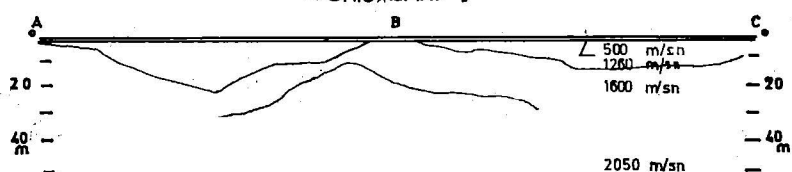
Sismik araştırma metodu 5 köyde yürüttülmüştür. Bunlardan Nishigasaki ve Tsuchihaski'de hasar oranı % 80, Ikemura'da % 40 — 60, Chihama'da % 2 ve Kikukawa'da yaklaşık olarak sıfır idi.

Böylelikle, bu yerlerdeki yeraltı oluşum' u Şekil 2'de gösterildiği üzere, açığa çıkarılmıştır.

NISHIGASAKI I

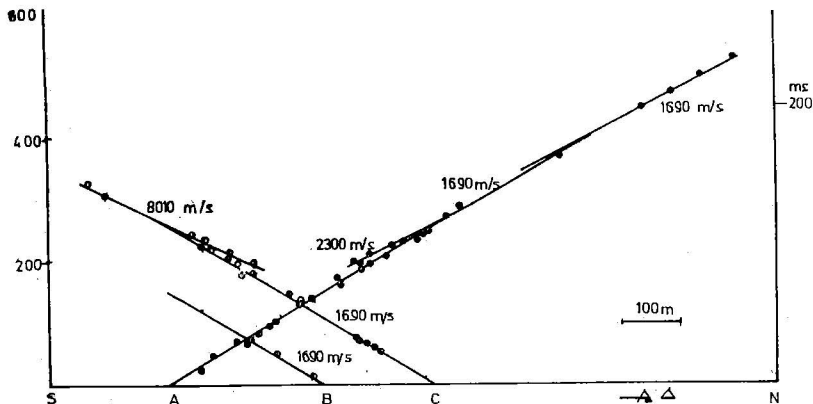


NISHIGASAKI I

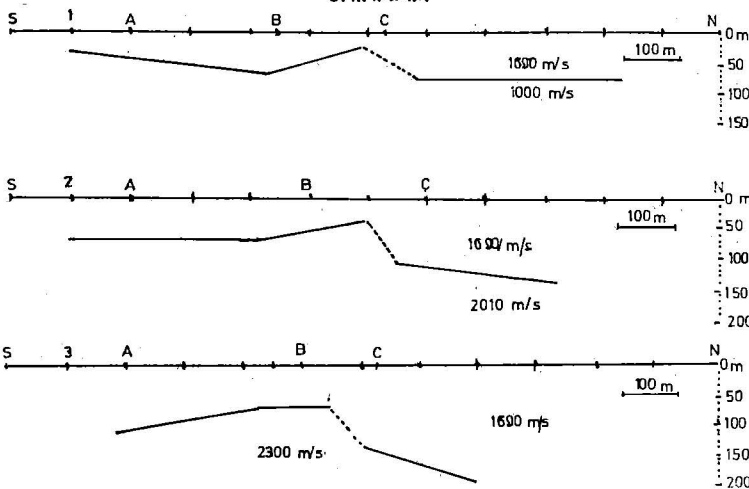


Şekil 2 — (1). Sismik metodlar ile elde edilen varış-zamani eğrileri ve kesitler.

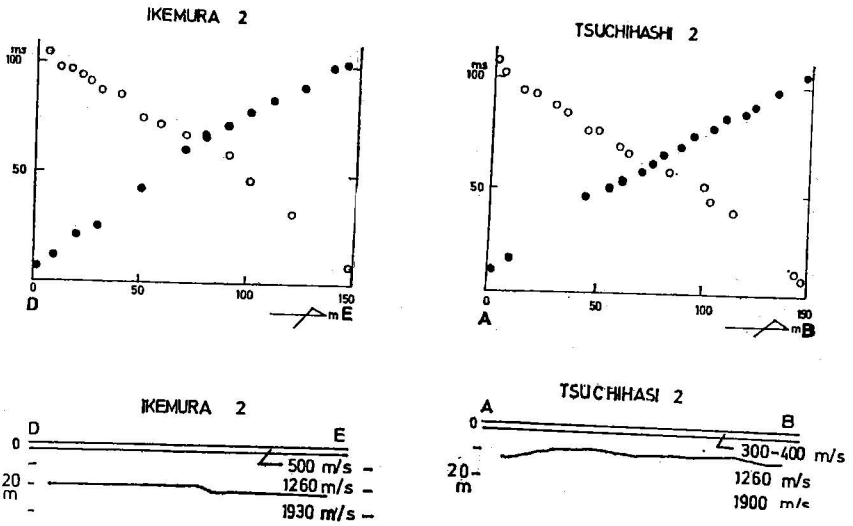
CHIHAMA



CHIHAMA

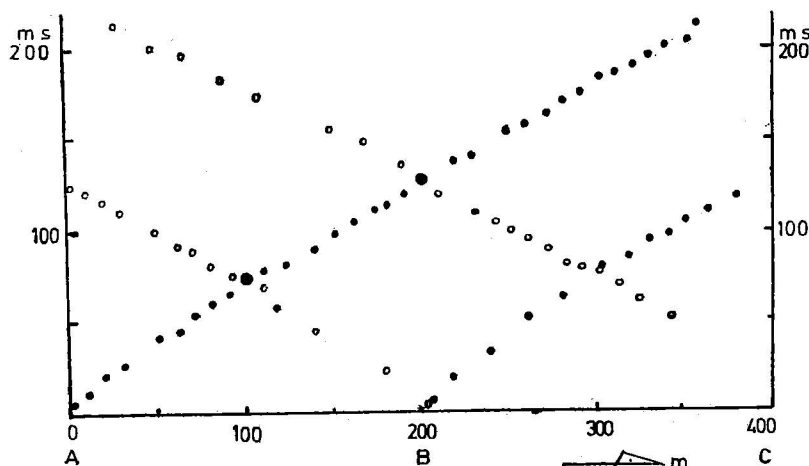


Şekil 2 — (2). Sismik metodlar ile elde edilen varış-zamani eğrileri ve kesitler.

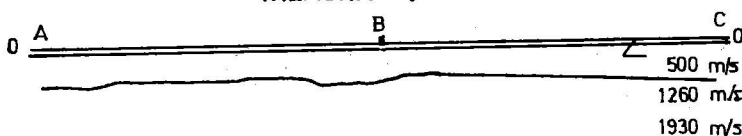


Şekil 2 — (3). Sismik metodlar ile elde edilen varış-zamanı eğrileri ve kesitler.

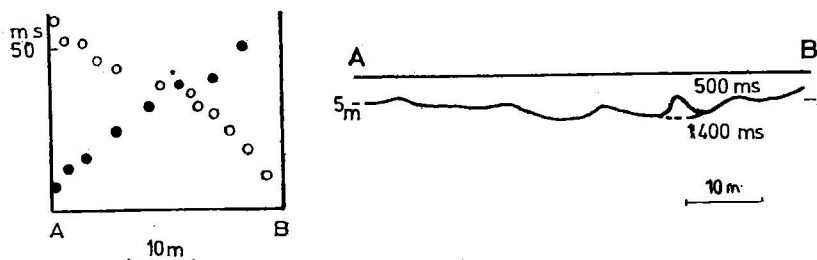
IKEMURA I



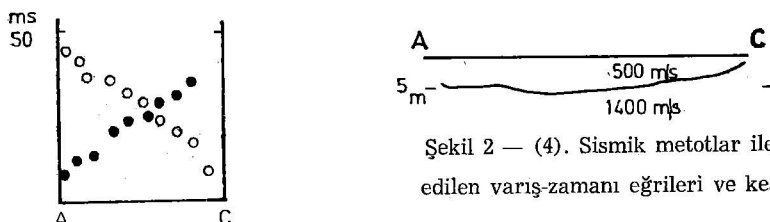
IKEMURA I



KIKUGAWA I

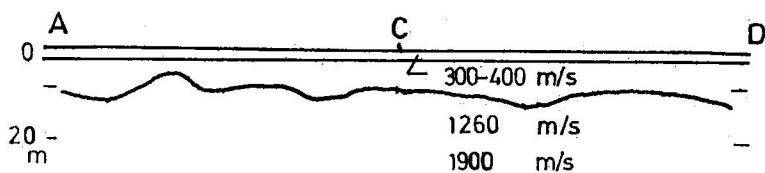
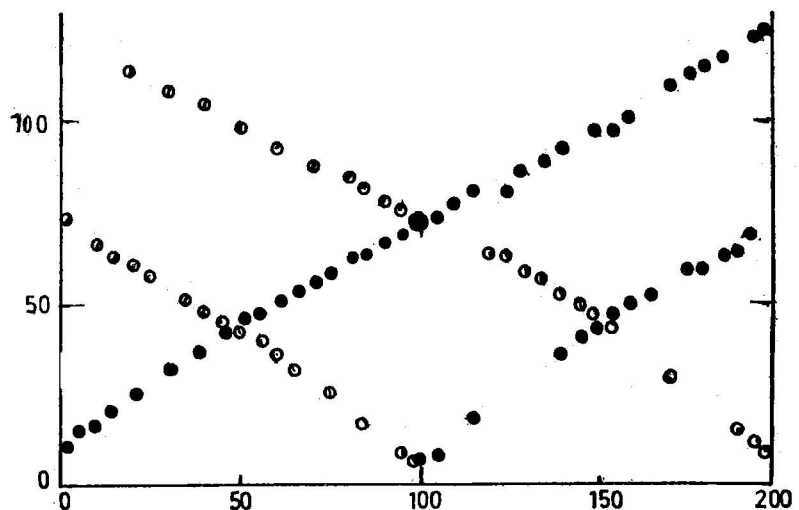


KIKUGAWA 2



Şekil 2 — (4). Sismik metodlar ile elde edilen varyasyon-zamanı eğrileri ve kesitler.

TSUCHIHASHI 1



Şekil 2 — (5). Sismik metodlar ile elde edilen varış-zamanı eğrileri ve kesitler

Genelikle, yüzey tabakası hızı 500 m/sn, ikinci tabaka hızı 1200 — 1400 m/sn ve üçüncü tabaka hızı 1900 — 2050 m/sn olarak tesbit edilmiştir.

Yüzeye yakın yerler hiç bir zaman basit bir oluşum göstermemektedirler. Ayrıca, 2. ve 3. tabakalar arasındaki sınırlar da düzgün değildir. Sismik araştırma yapılan yerlerde bu kabil gözlemlerde bulunulmuştur.

Meselâ, Nishigasaki'de vadinin gidişine uyan ve derinliği 2 — 25 m. arasında olan 1260 m/sn'lik bir ikinci tabaka görülmüştür. Nishigasaki gibi yerlerde, hasar daha yakından incelendiğinde oranın çok daha değişik olduğu görülmüştür. Hasarın büyüklüğü tabakanın kalınlığına bağlı görünümektedir.

1923 depreminde görüldüğü üzere, Yokohama'daki ahşap yapılar üzerindeki hasarın oranı, alüvyon tabakasının kalınlığı arttıkça yükselmektedir. Alüvyon kalınlığının 30 m ve daha fazla olduğu yerlerde çok yüksek bir hasar oranı vardır. Tomi bölgelerinde de aynı durum gözlenmiştir.

Chihama köyünde, yeraltı oluşumlarında bir süreksizlik saptanmıştır. Ikemura, Tsuchihashi ve Kikukawa gibi diğer yerlerde ise, tabakaların kalınlıklarındaki değişimler daha küçüktür.

Kikukawa ve diğer bölgelerdeki zemin toprak yapısı aşağıdaki noktalar bakımından dikkatli bir şekilde incelenmiştir :

- 1 — Delgiler vasıtısı ile, zemin toprağının dikey dağılımı,
- 2 — Su içeriği,
- 3 — Eleklerle yapılan mekanik analizler.

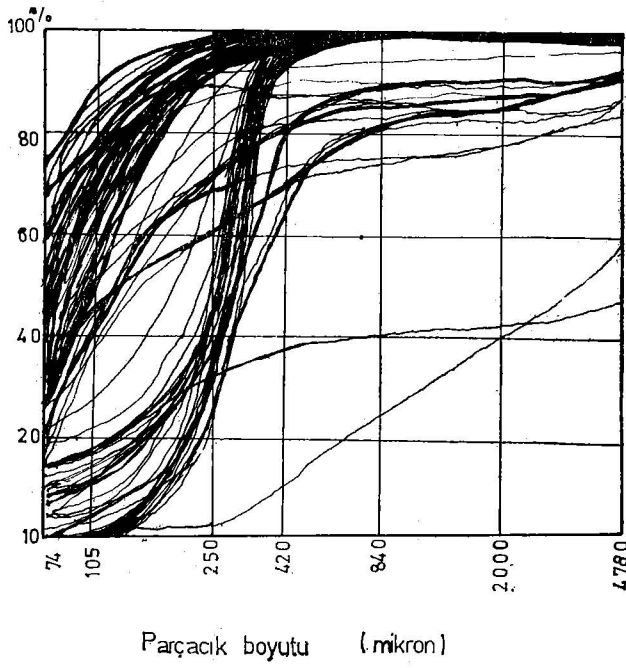
Bunlar arasında, mekanik analizler için büyük emek sarfilderek 35 yerden 84 örnek zemin toprağı ve maksimumun bulunduğu alandan (Nishigasaki) 9 örnek zemin toprağı alınarak incelenmiştir.

Kendinden hareketli; 4, 9, 20, 35, 60, 140 ve 200 gözlü, göz genişlikleri sıra ile 4, 760; 2, 000; 0, 840; 0, 250; 0, 105 ve 0,074 mm olan elekler kullanılmıştır.

Örneklerden elde edilen yiğılma eğrileri Şekil 3'te verilmektedir. Şekil'deki eğriler, yaklaşık olarak iki sınıfa ayrılabilir ki, birinci sınıfta parçacık boyutu 250 mikron civarında,

diğerinde 100 mikron civarındadır. Birinci grup daha ziyade kumlu bir zemine, diğer ise milli bir zemine işaret etmektedir.

Kapsaca söylenebilir ki milli zeminlerde hasar oranı oldukça yüksek, kumlu kısımlarda ise düşük olmuştur.



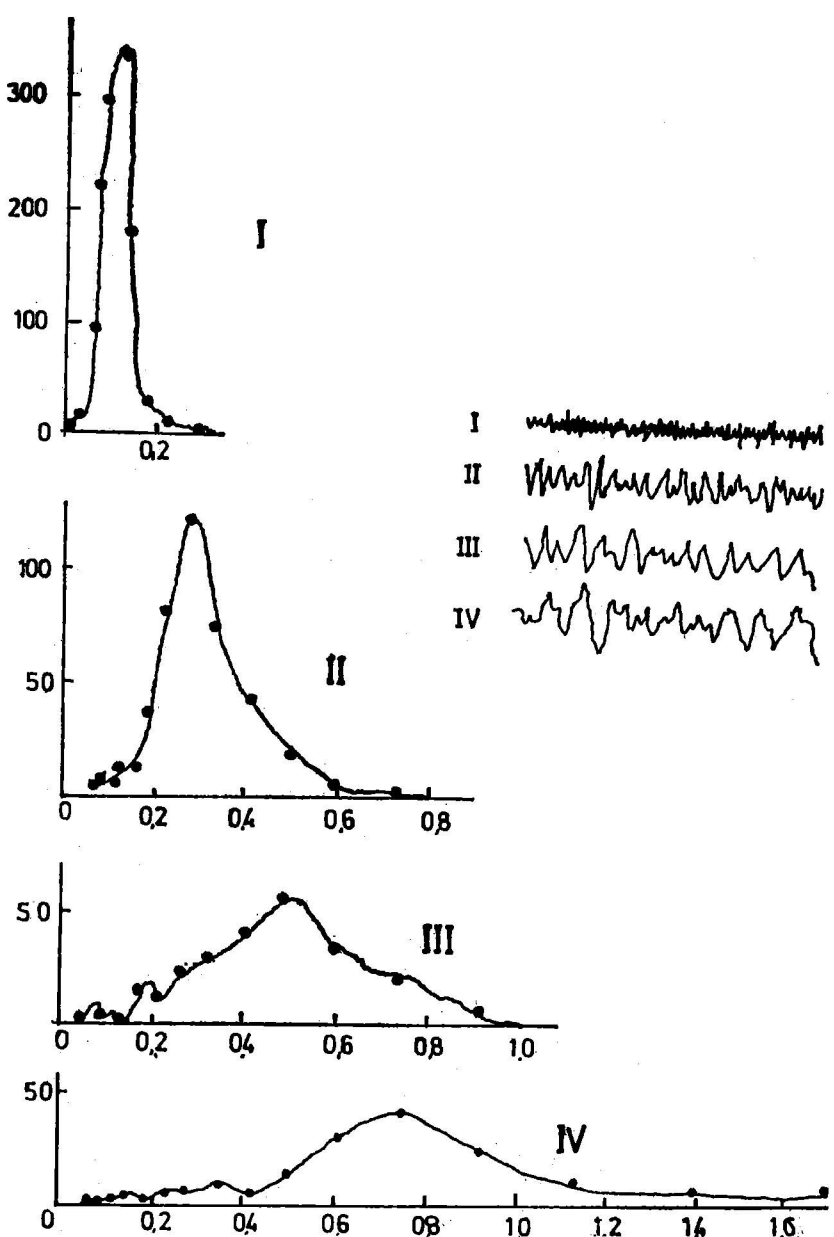
Şekil 3 — Yigilma egrileri.

B) Osaka şehri civarındaki yerlerin sınıflandırılması :

Aynı yıllar için mikro-tremor metodu uygulaması ile yerin cinsi hakkında karar verebilmek için çalışmalar yapılmıştır. Tipik kayıtlar ve mikro-tremor'ların frekans eğrileri Şekil 4'te görülmektedir.

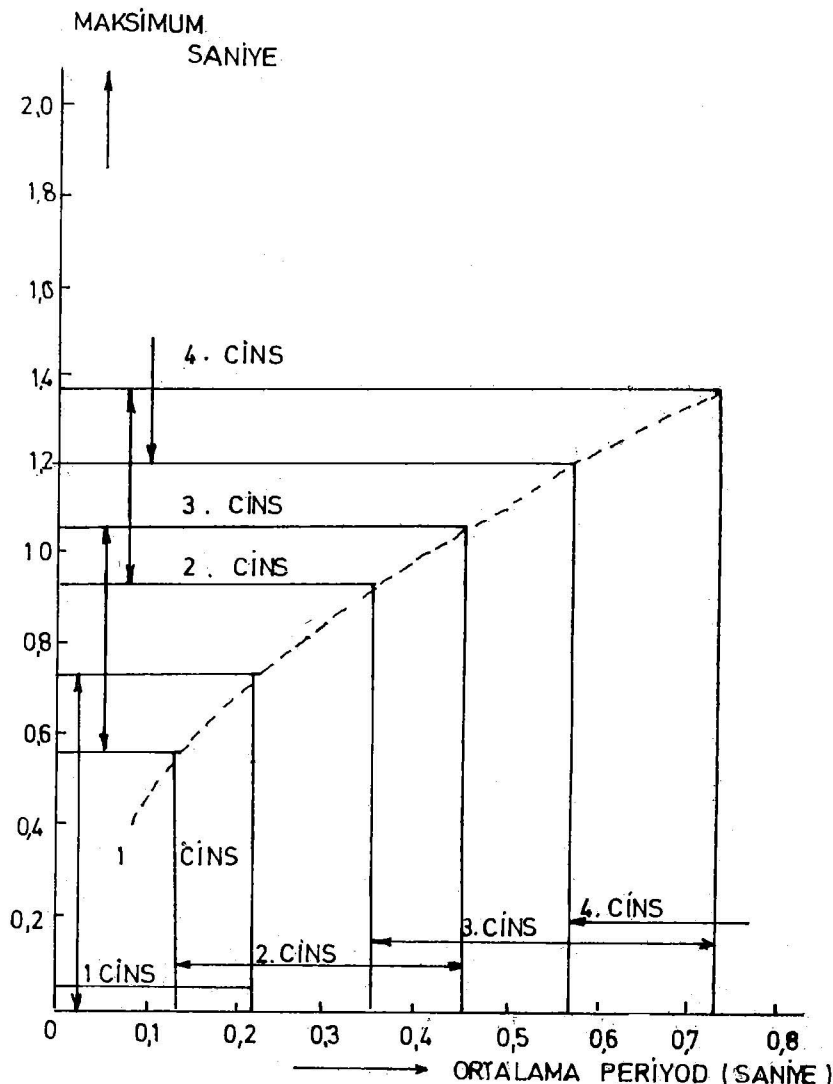
Aşağıdaki paragraflarda, mikro-tremor gözlemlerinden elde edilen, çeşitli yerlere ait örneklerin sınıflandırılması metodu hakkında açıklamalar yapılacaktır.

Mikro-tremorun hakim periyot, ortalama periyot ve maksimum periyot değerlerinin ne zaman ölçülseler değişimeyeceği bilinmemektedir. Burada maksimum periyodun fiziksel anlamı henüz tam açıklığa kavuşmuş değilse de yer sınıflandırmasında bu periyodu kullanmak uygun olmaktadır.



Sekil 4 — Tipik mikro-tremor kayıtları ve frekans eğrileri.

Zeminlerin sınıflandırılmasında Şekil 5 tek bir diyagram kullanılması uygun olmaktadır. Burada, maksimum periyodun değeri çeşitli noktalarda tayin edilen ortalama periyoda karşı çizilmiştir. Şekil, ordinat ve absise paralel sınır çizgileri ile 4 ayrı kısma ayrılmıştır. Eğer bir nokta 2. kısma düşerse

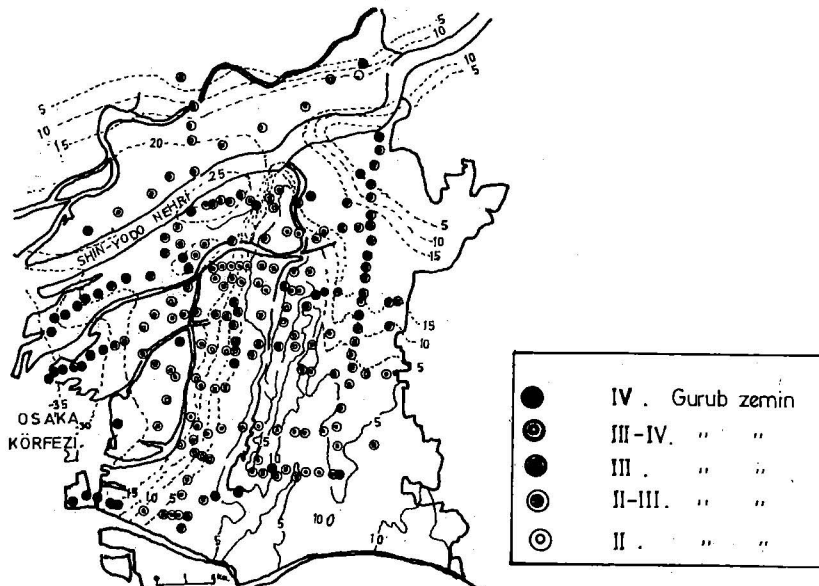


Şekil 5 — Zeminlerin sınıflandırılmasında kullanılan diyagram. (K. Kanai'den).

yorsa, bu nokta tarafından temsil edilen zemin 2. cins olarak sınıflandırılacaktır. Bir nokta 2. ve 3. kısım arasına düşüyorsa, bu noktaya ait olan zemin cinsi 2 — 3 olacaktır.

Mikrotremorların, Osaka şehrinde, gözlenmesi ve sonuçlarının alınması Zemin—altı Araştırma Gurubu tarafından yürüttülmüştür.

Bu noktalar için, simdiye kadar yapılan zemin sınıflandırmalarının sonuçları Şekil 6 da vermektedir.



OSAKA Şehri için değerlendirilmiş zemin cinsleri

Şekil 6 — Osaka'da yapılan zemin sınıflama çalışmalarının sonuçları.

Bu şekilde görüleceği üzere, zemin cinsi genellikle 3 ten yukarıdır, yani genellikle yumuşaktır.

Bu Şeklin yaklaşık olarak merkez bölgelerinde 2 — 3 cinsi bir kısım görülmektedir. Osaka'nın bu bölgesinde yer kabuğu yoresel olarak serttir. Bu bölge, Oogimachi, Saka-suzi ve Tanimachi ve Abeno yakınındadır.

Osaka'nın Osaka kalesinden Tennoji'ye doğru uzanan yukarı kısımlarının iyi ve sert bir zemine sahip olduğu görülmüştür. Bu bölgedeki zemin genellikle 3 veya 3 - 4 cinsi olarak bulunmuştur.

4. cins olarak isimlendirilen çok yumuşak zemin bölgeleri Osaka körfezi ve diğer benzer yerlerde gözlenmiştir. Buralar bir zamanlar balık ve bataklık idi.

Tam çizgiler yerin yüksekliğini, kesikli çizgiler çakıl (Gravel) tabakasının derinliğini gösterirki bu tabakalar çok serttir ve birçok binanın temelleri bu tabaka üzerindedir.

Temelin iyi olduğu yerlerde bu çakıl tabakasının derinliği azdır. Cinsi 2 — 3 olan yerlerde kalınlık yaklaşık olarak 5 m. 4. cins olan yerlerde ise 25 m'den fazladır.

Temel kısımlarının yumuşak ve kötü olarak sınıflandırıldığı yerlerde kullanılan standartlar hakkında şu yayından faydalabilir: (Japon) İmar Bakanlığı, Notification No. 1074, Temmuz 1952;

1 — Yumuşak delta yığılımlarından, üst—zemin (top--soil), çamur, veya benzeri oluşumlardan meydana gelen aluvyonlar (kalınlığı 30 m veya fazla)

2 — Bataklık, dibi çamurlu deniz kıyıları gibi bölgelerin ıslahı ile elde edilen alanlar. Buralarda, ıslah edilen kısımların kalınlığı 3 m. veya fazladır ve ıslah işlemlerinin üzerinden 30 yıldan az bir süre geçmiştir.

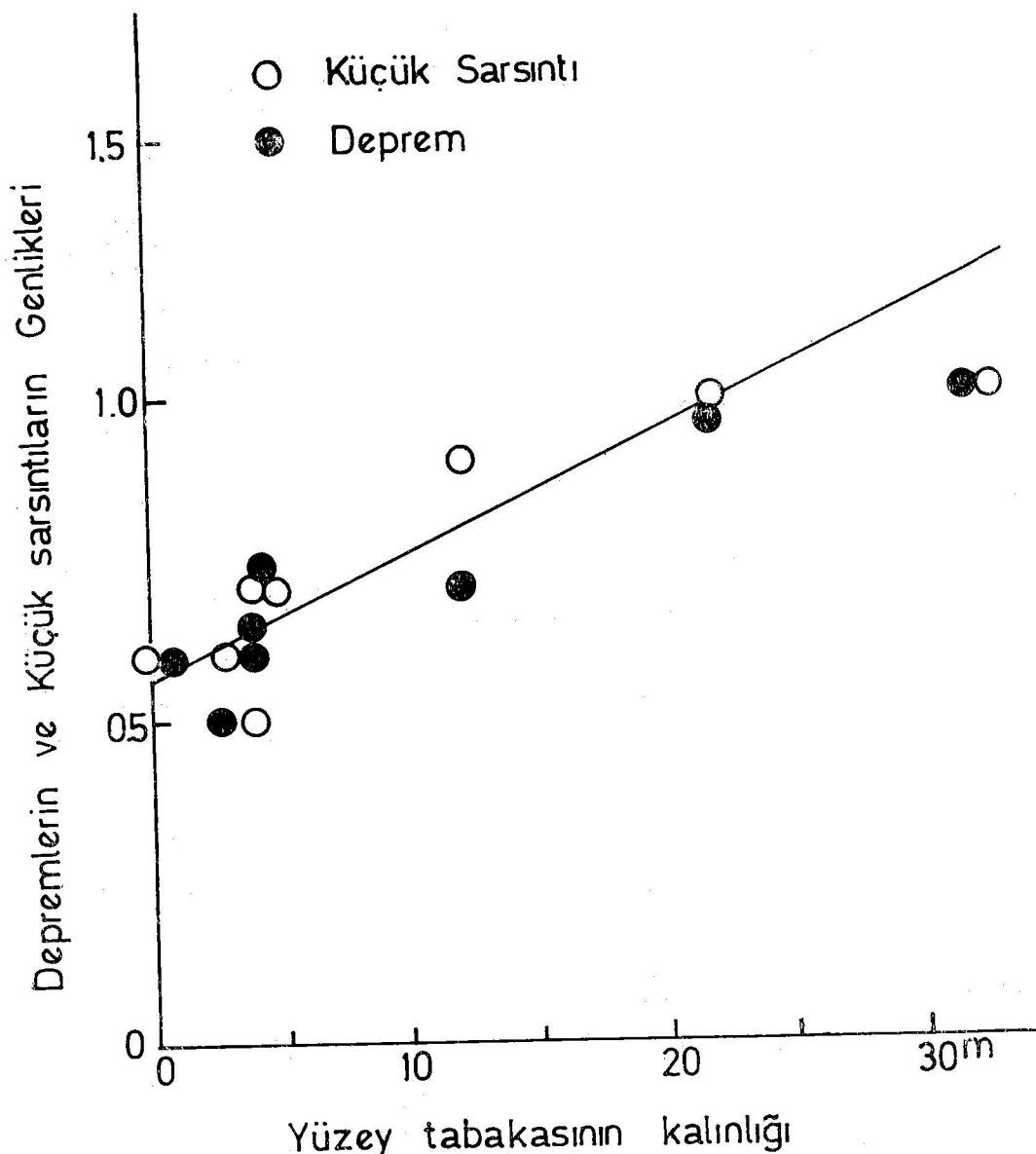
Kötü ve yumuşak zeminler üzerine yapılmış olan ahşap yapılar üzerindeki yatay sismik kuvvet çizim katsayıısı 0,3' ten az olmayacağındır. (Yapı Standartları Kanunu, Madde 88, Kasım 1950).

Depremlerle küçük sarsıntıların mukayeseli incelenmesi (Osaka'da) :

Osaka'nın çeşitli yerlerinde, depremlerle küçük sarsıntılar (microseisms) arasında mukayeseli gözlemler yapılmıştır.

Küçük sarsıntı deyimi ile, periyotları genellikle mikrotremorların periyotlarından daha uzun olan titresimsel yer hareketleri kastedilmektedir. Periyodun değeri, birkaç saniye mertebedindedir.

Gözlemlerin sonuçları Şekil 7'de verilmektedir.



Şekil 7 — Osaka'da çeşitli istasyonlardaki zemin toprağı kalınlıkları ile depremlerin ve küçük sarsıntıların genlikleri arasındaki bağıntı (Kowan istasyonundaki değerler birim olarak alınmıştır.)

Genliklerin oranı yatay zemin tabakalarının kalınlığı arttıkça artmaktadır. Aynı eğilimin depremler ve küçük sarsıntılar içinde görülmesi ilgiyi çekmektedir. Bu nedenle zeminlerin sınıflandırılmasında mikrotremorlar kadar, küçük sarsıntıların da gözlenmesi faydalı olmaktadır.

K A Y N A K L A R :

- 1) S. Ooba : Study of relation between the subsoil conditions and the distribution of the damage percentage of wooden dwelling houses in the province of Totomi in the case of the Tonankai earthquake of December 7th, 1944, Bull, Earthq. Res. Inst. No. 1, Cilt 35, 1957.

Deprem Araştırma Enstitüsü Bülteni

Yayın Koşulları

- 1.** Bültene gönderilecek telif ve tercüme yazılarının :
 - a)** Depremle doğrudan doğruya, ya da dolaylı yoldan ilgili olması
 - b)** Bilimsel ve teknik bir değer taşıması
 - c)** Yurt içinde daha önce başka bir yerde yayınlanmamış olması
 - d)** Daktilo ile ve kağıdın yalnız bir yüzüne en az nüsha olarak yazılmış bulunması
 - e)** Şekillerinin aydinger kağıdına çini mürekkebi ile çizilmiş olması
 - f)** Fotoğrafların net ve klişe alınmasına müsait bulunması gerekmektedir.
- 2.** Telif araştırma yazılarının baş tarafına araştımanın genel çerçevesini belirten en çok 200 kelimeli İngilizce, Fransızca ya da Almanca bir özet konulmalıdır.
- 3.** İmar ve İskân Bakanlığı mensubu elemanlar tarafından hazırlanan ve telif ya da tercüme ücreti ödenerek yayınlanacak olan yazıların, mesai saatleri dışında hazırlanmış olduğu yazar, derleyen, ya da çevirenin bağlı bulunduğu birim amiri tarafından (genel müdürlüklerde daire başkanı, müstakil birimlerde birim amiri) verilecek bir belge ile belgelendirilmesi zorunludur. Bu belge ile birlikte verilmeyen yazılar için ücret ödenmez.
- 4.** Telif ve tercüme ücretleri ancak yazı bültende yayınlanındıktan sonra tahakkuka bağlanır.
- 5.** Bültende yayınlanacak yazıların 300 kelimeli beher standart sahifesi için teliflerde 40, tercümelerde 30 TL. ücret ödenir.

6. Yazılarda bulunan şekiller için, gerekli olan asgari alan içinde bulunabilecek kelime sayısına göre ücret takdir edilir.
7. Telif ve tercüme ücretlerinden doğacak vergi yükümlülüğü tamamen yazı sahiplerine aittir.
8. Yazların bültende yayınlanması Deprem Araştırma Enstitüsü bünyesinde teşekkür eden Uzmanlar Kurulu'nun kararı ile olur.
9. Seçmeyi yapacak Uzmanlar Kurulu 5. maddede sözü edilen asgari alanları hesaplamaya ,yazı sahiplerine gerek siz uzatmaların kısaltılmasını teklif etmeye verilecek ücrette esas teşkil edecek kelime sayısını tesbit etmeye ve yazların yayın sırasını tayine yetkilidir.
10. Kurulca incelenen yazların bültende yayınlanıp yayınlanmayacağı yazı sahiplerine yazı ile duyurulur.
11. Yayınlanmıyacak yazılar bu duyurmadan sonra en geç bir ay içinde sahipleri tarafından geri alınabilir. Bu süre içinde alınmayan yazların korunmasından Enstitü sorumlu değildir.
12. Diğer kuruluşlar ve Bakanlık mensupları tarafından bilgi haber tanıtma v.b. gibi nedenlerle gönderilecek not ve açıklamalar ya da bu nitelikteki yazılar için ücret ödenmez.
13. Enstitü mensupları Enstitüce kendilerine verilen görevlere ait çalışmalarından ötürü herhangi bir telif ya da tercüme ücreti talep edemezler.